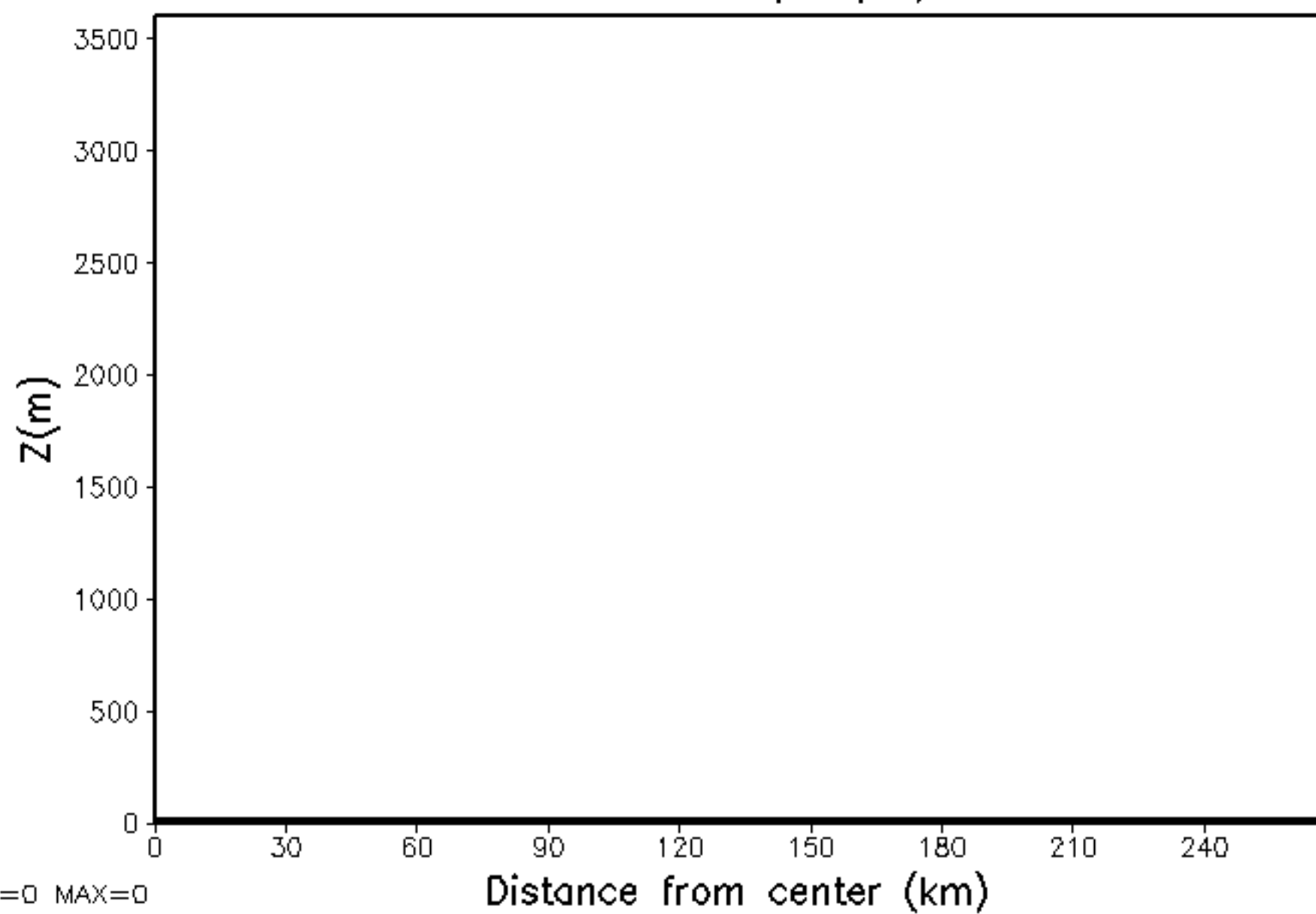
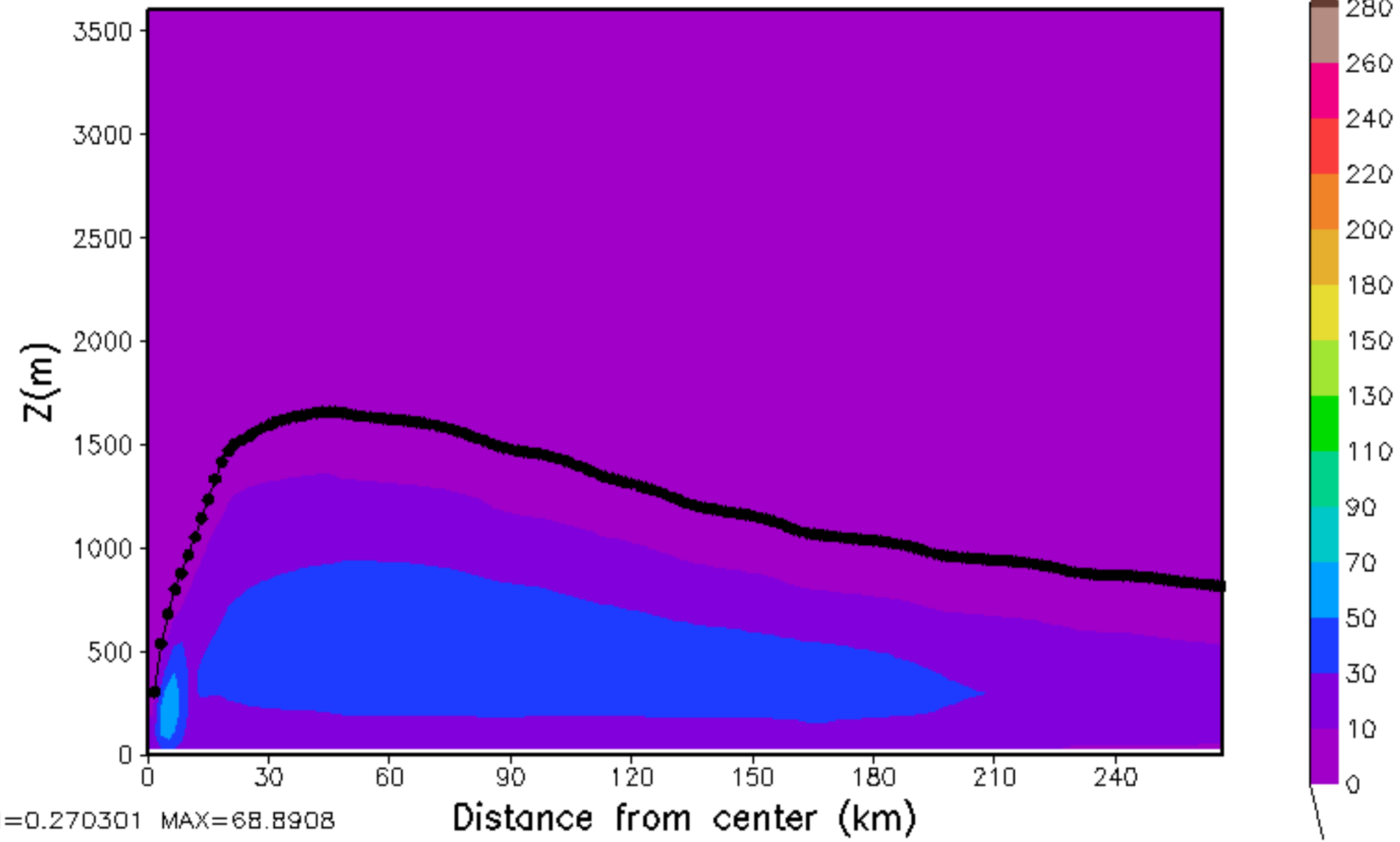


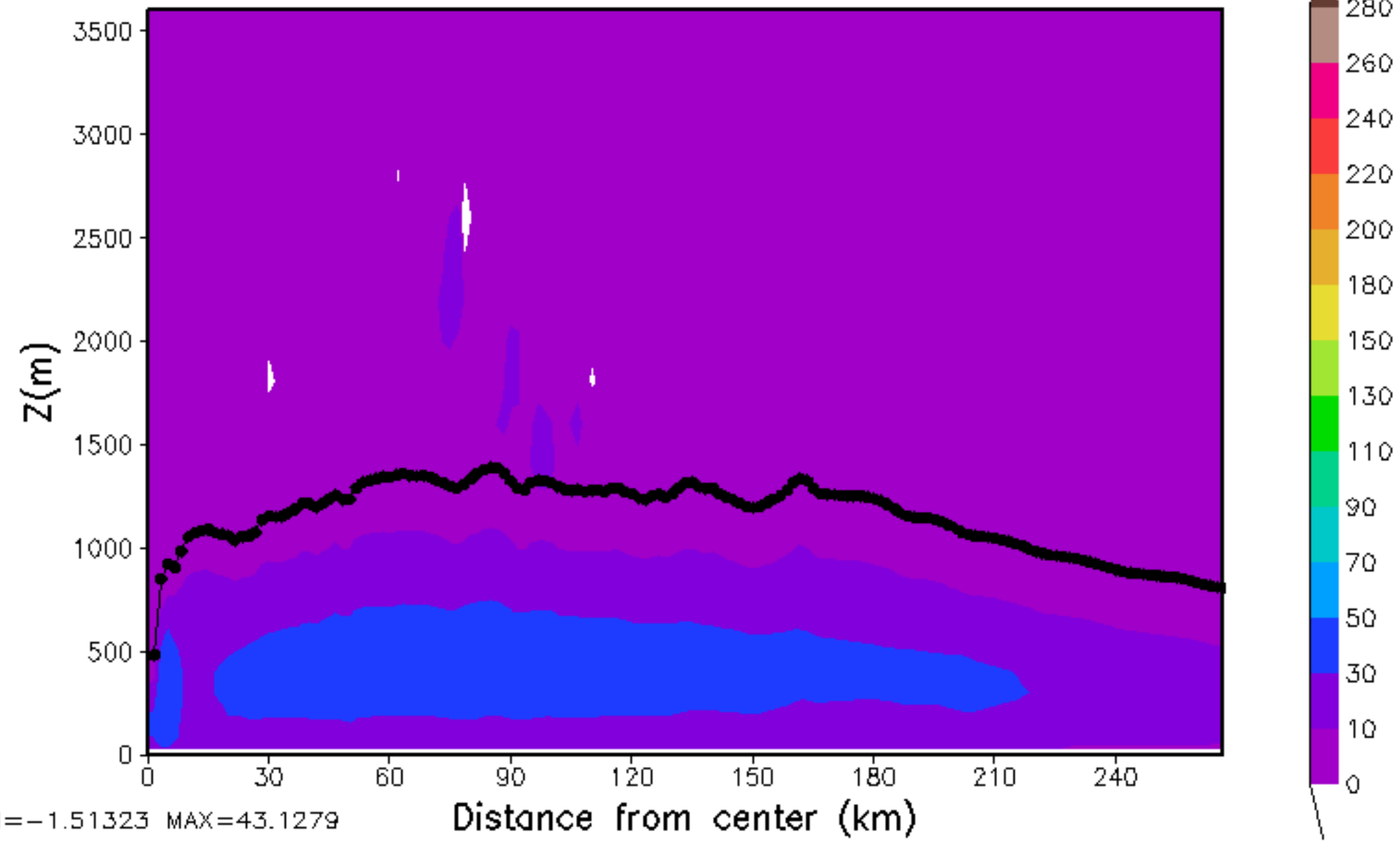
diffusion coefficient $K_h(m^2/s)$, HR000MM00



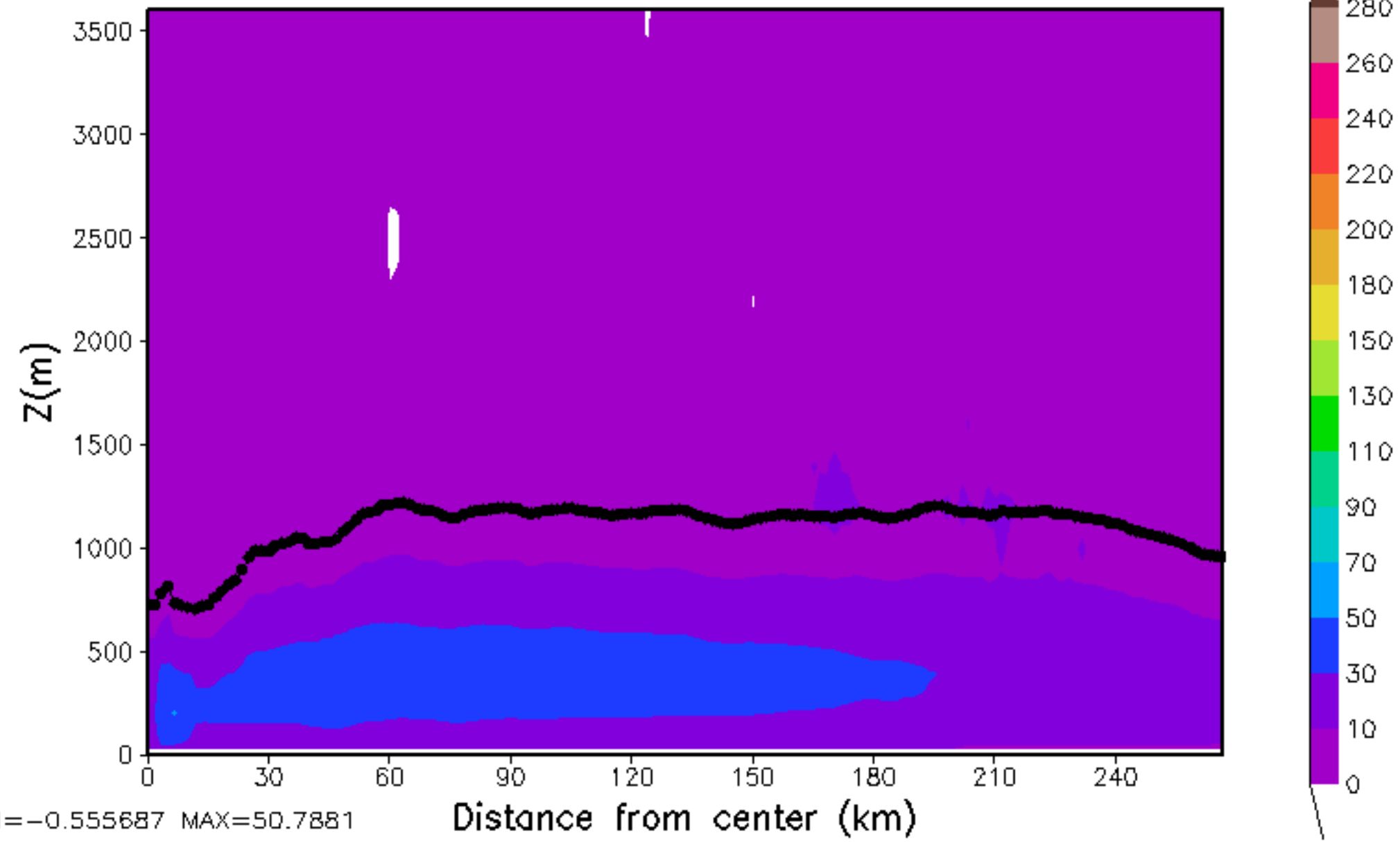
diffusion coefficient $K_h(m^2/s)$, HR003MM00



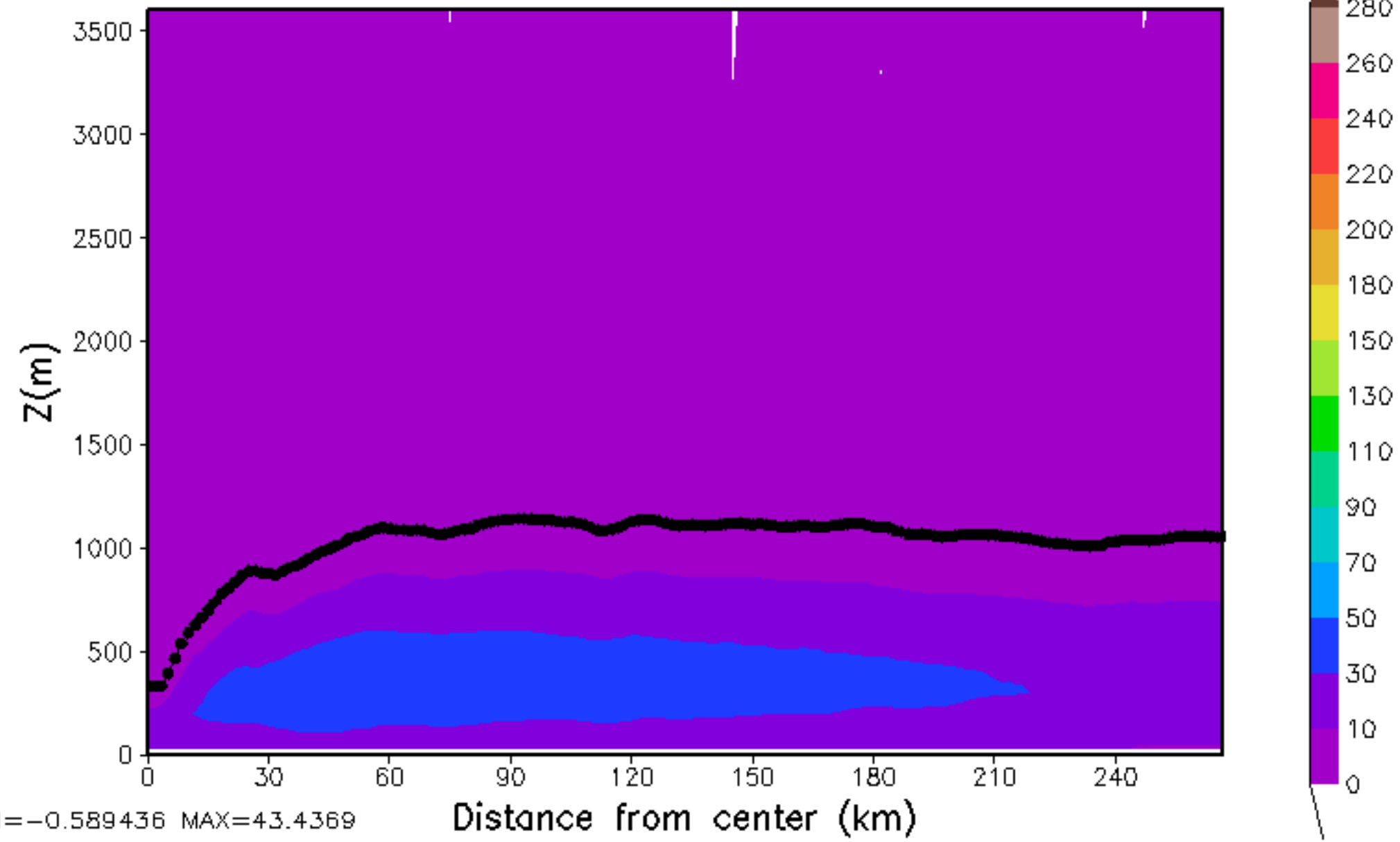
diffusion coefficient $K_h(m^2/s)$, HR006MM00



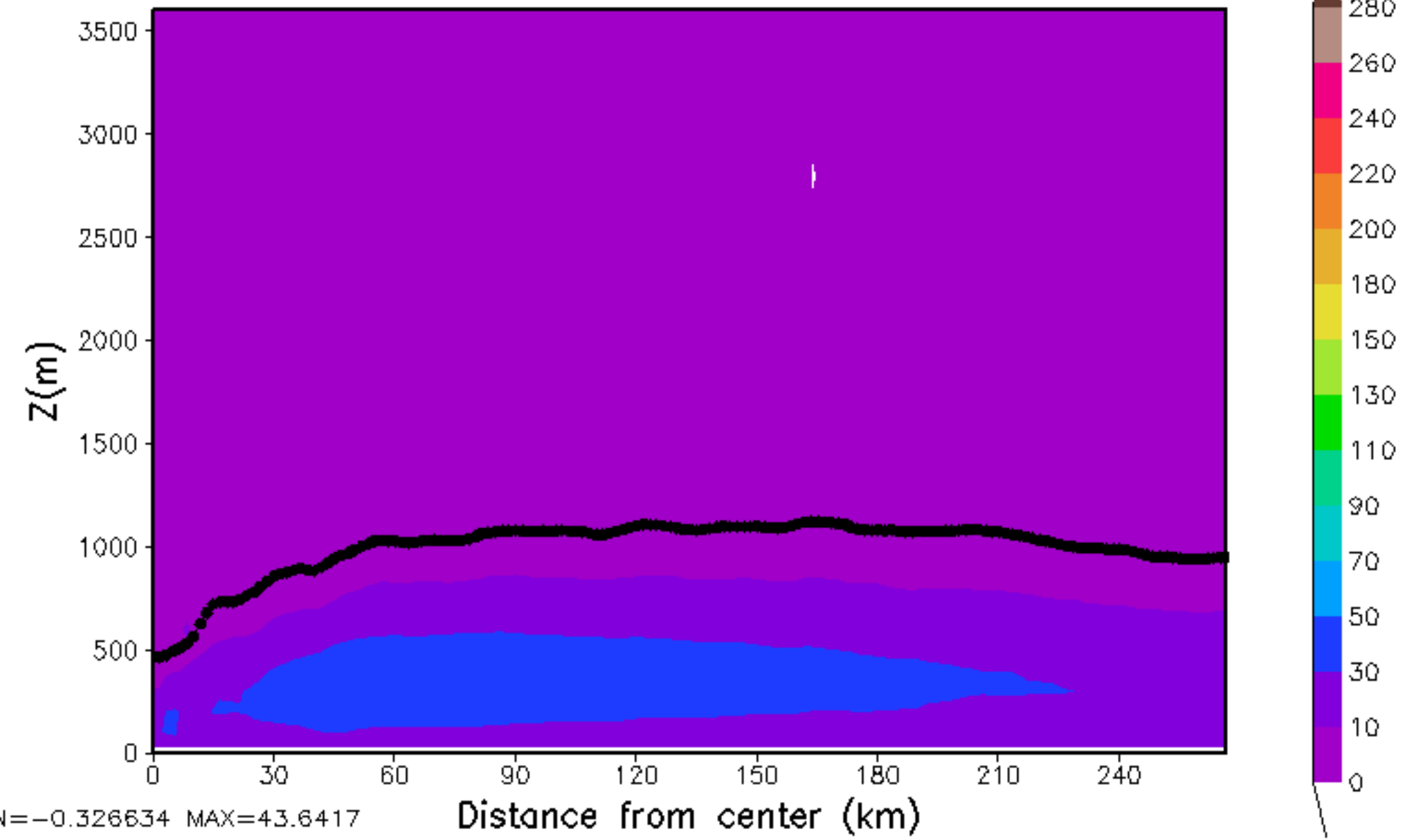
diffusion coefficient $K_h(m^2/s)$, HR009MM00



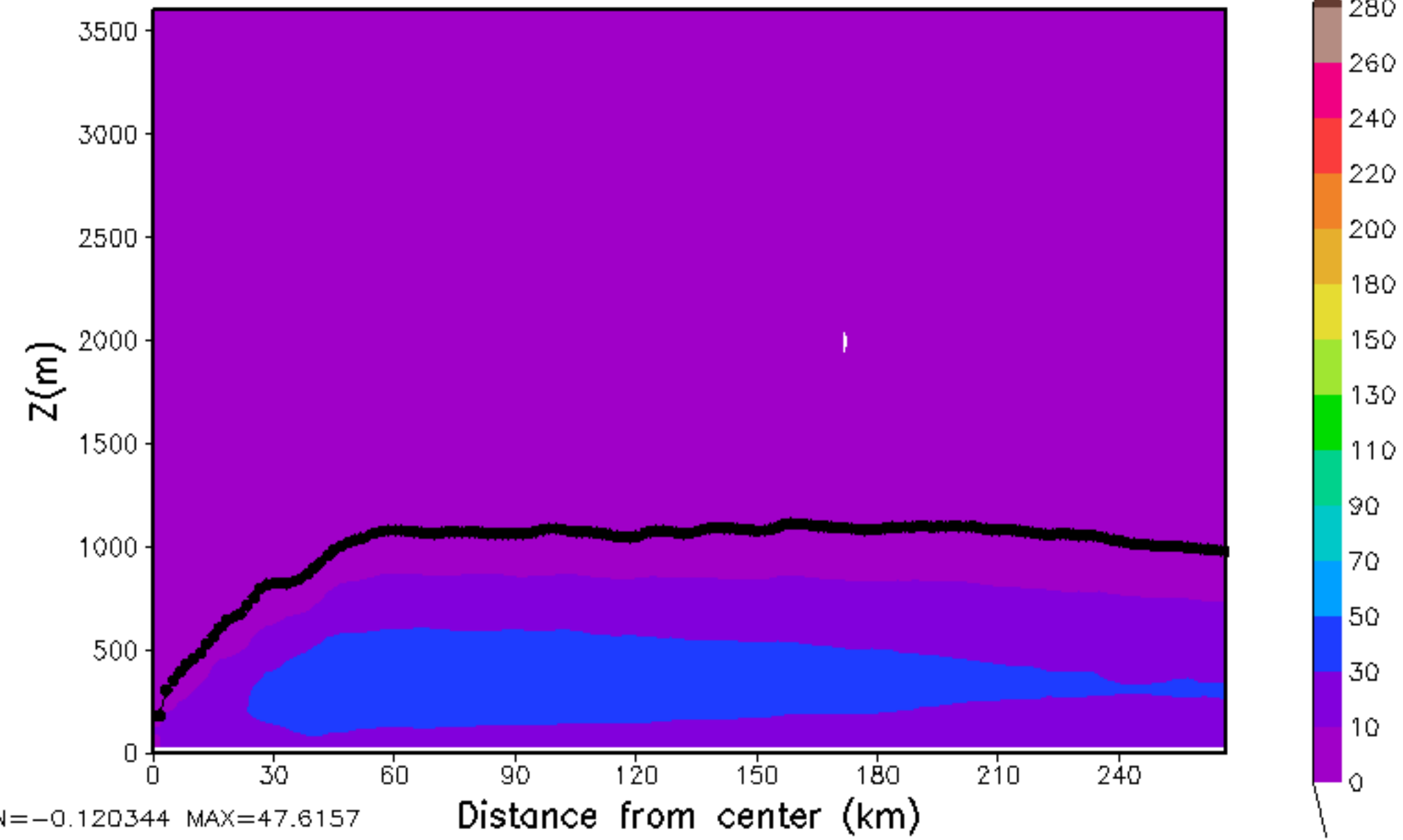
diffusion coefficient $K_h(m^2/s)$, HR012MM00



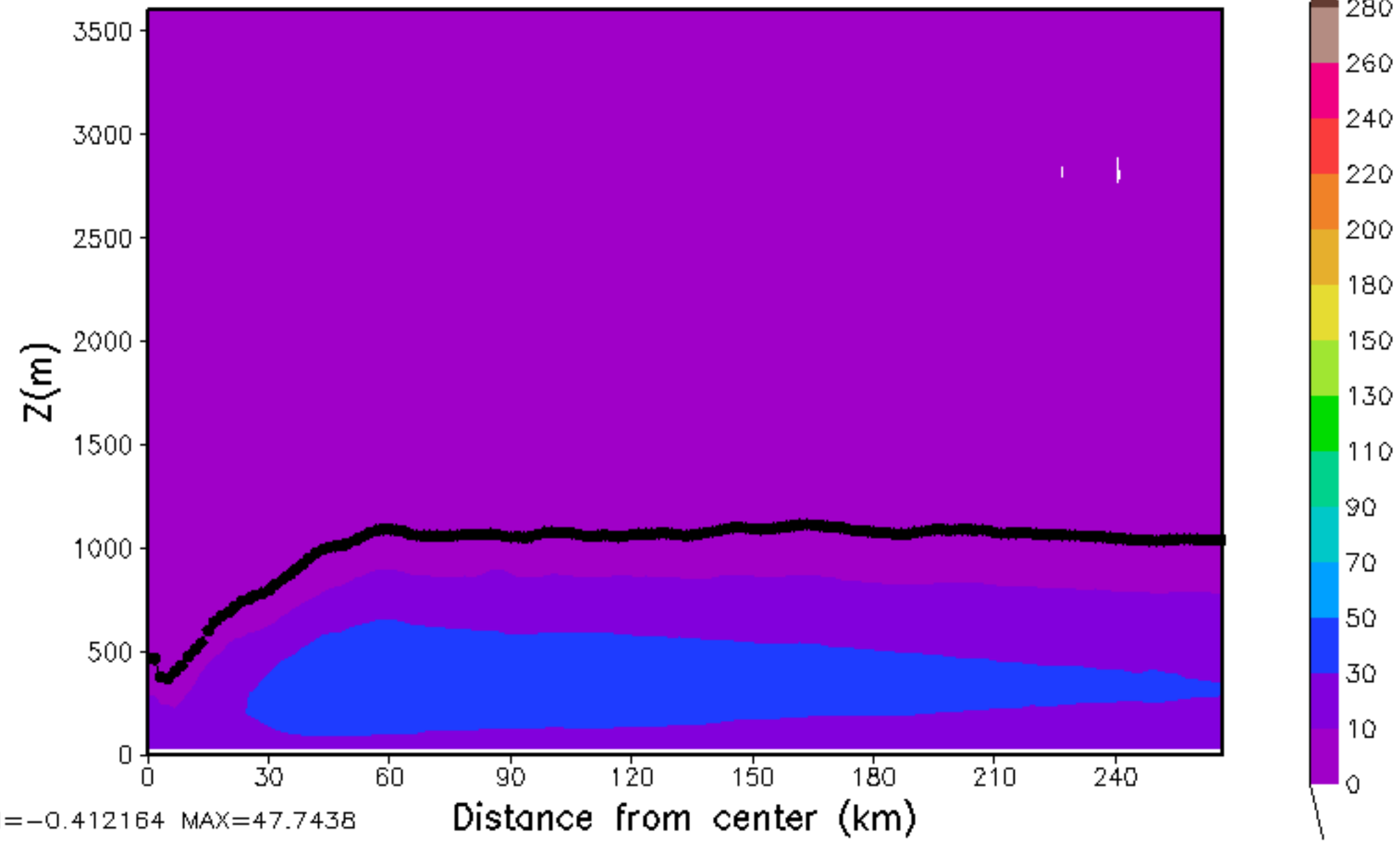
diffusion coefficient $K_h(m^2/s)$, HR015MM00



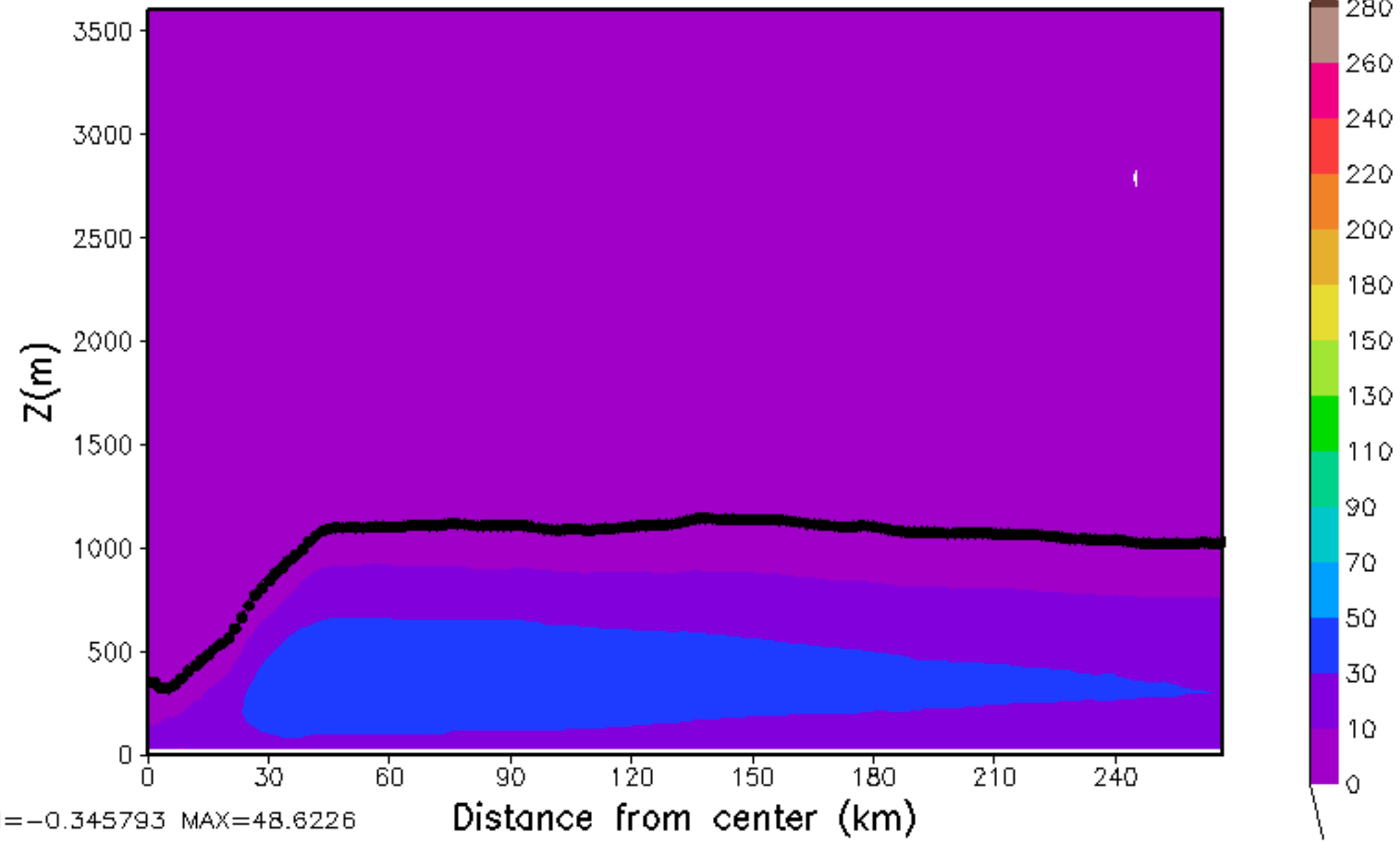
diffusion coefficient $K_h(m^2/s)$, HR018MM00



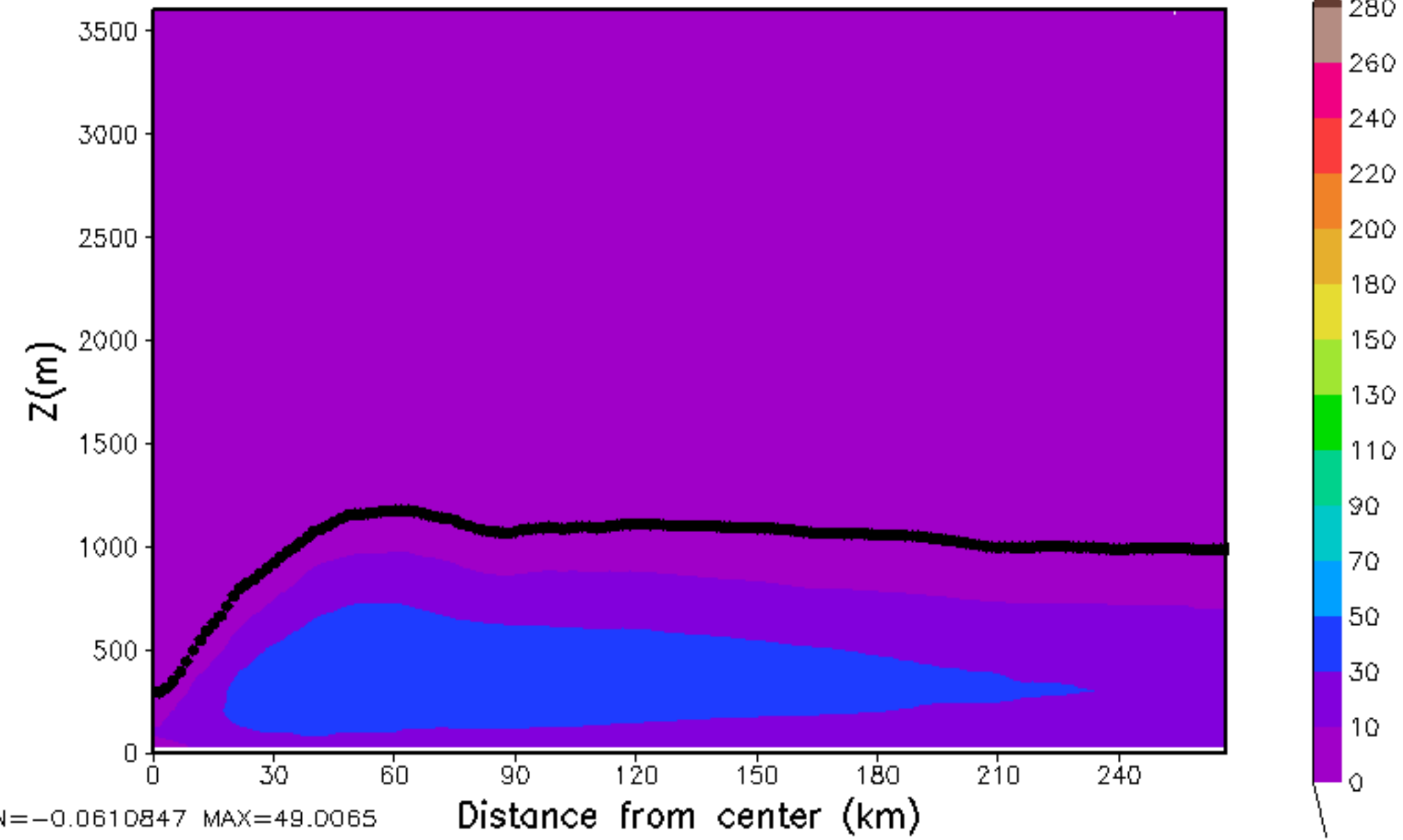
diffusion coefficient $K_h(m^2/s)$, HR021MM00



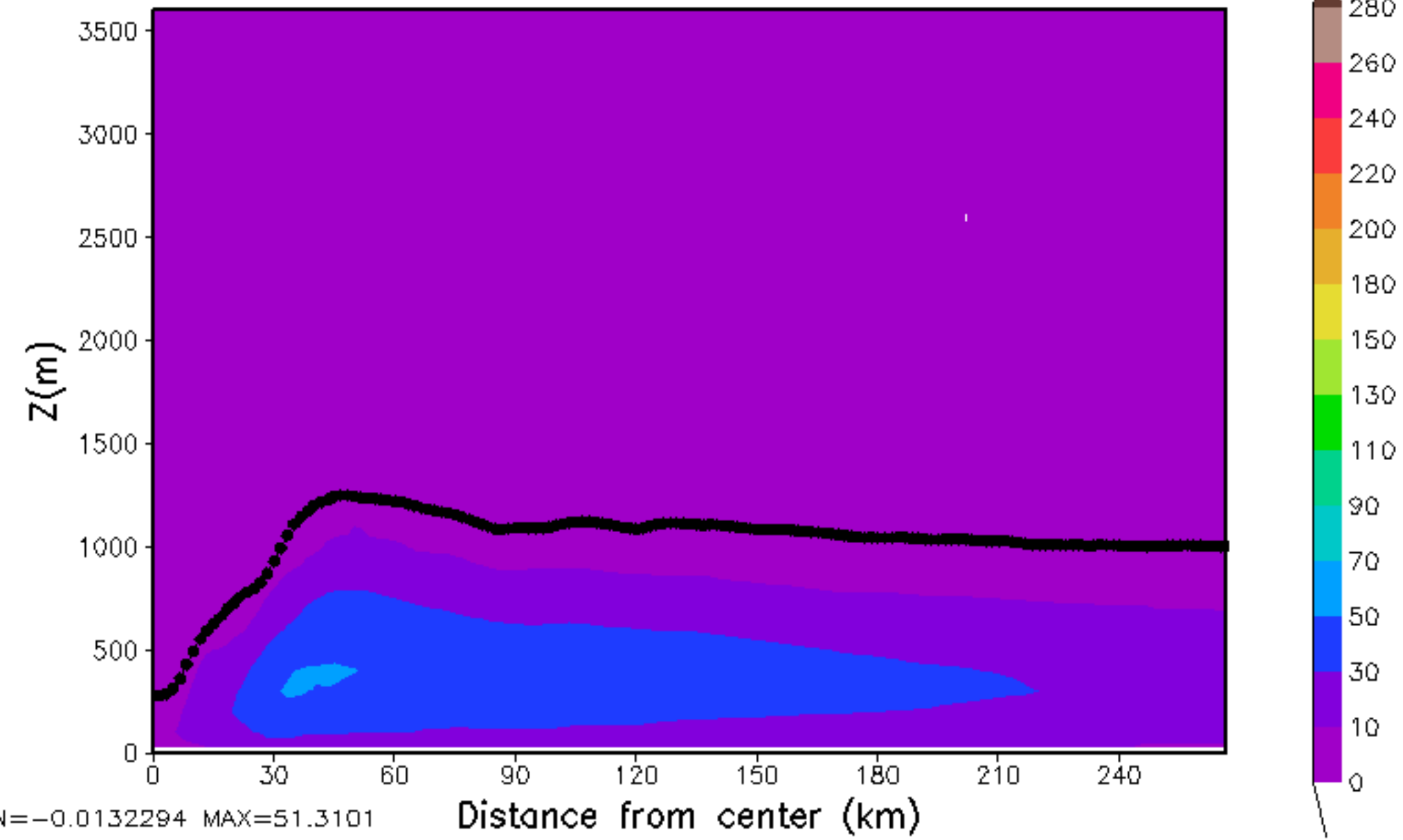
diffusion coefficient $K_h(m^2/s)$, HR024MM00



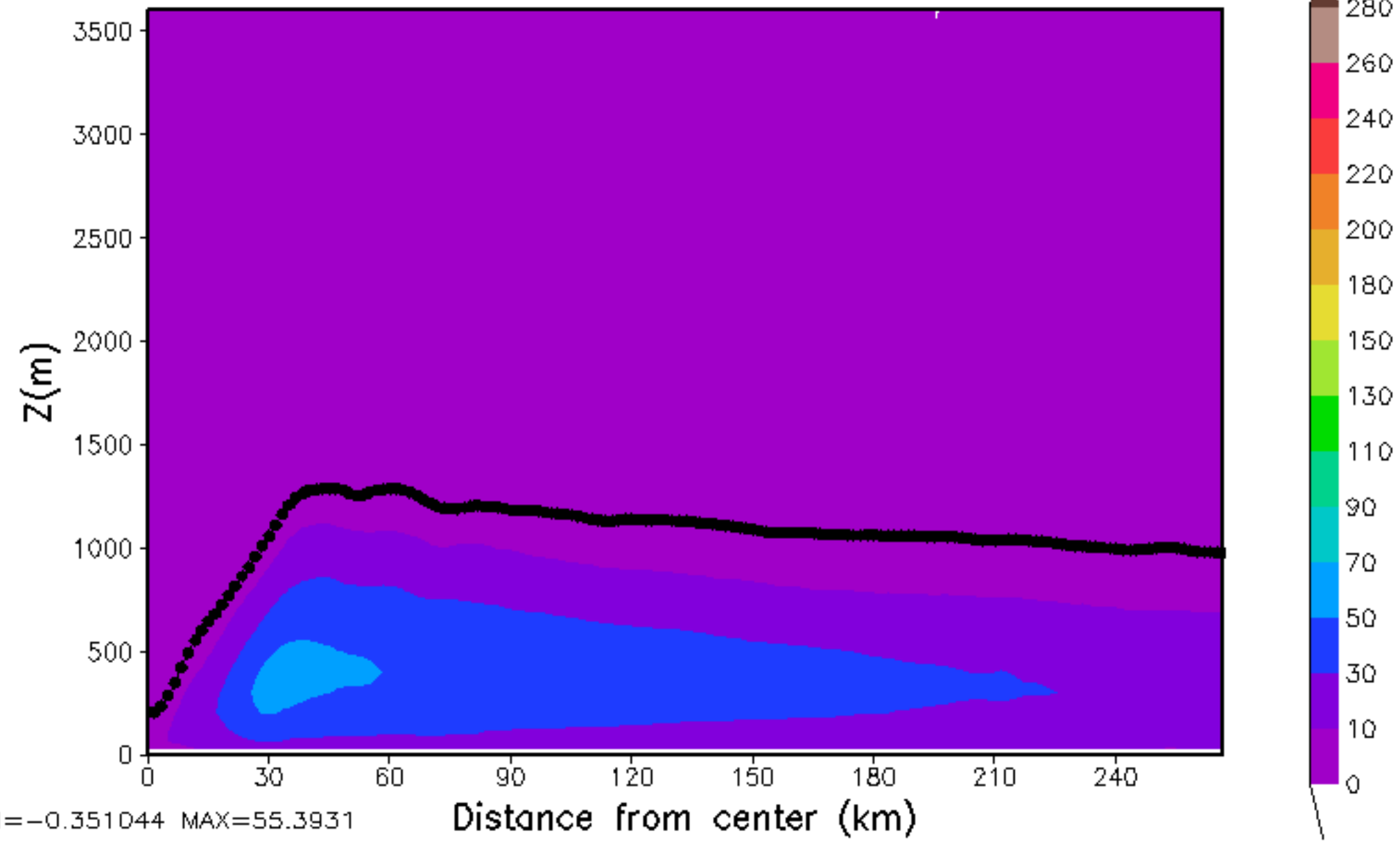
diffusion coefficient $K_h(m^2/s)$, HR027MM00



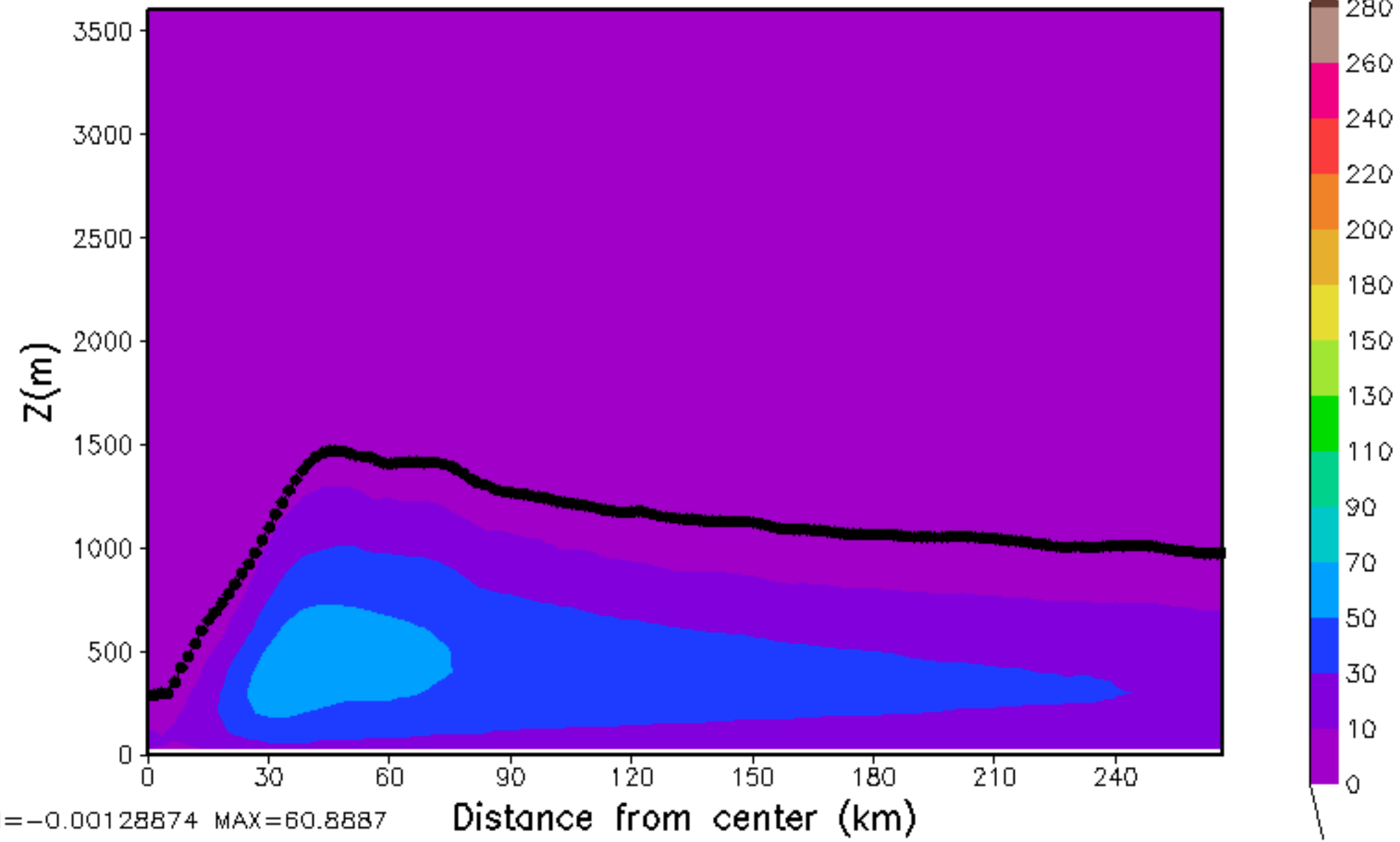
diffusion coefficient $K_h(m^2/s)$, HR030MM00



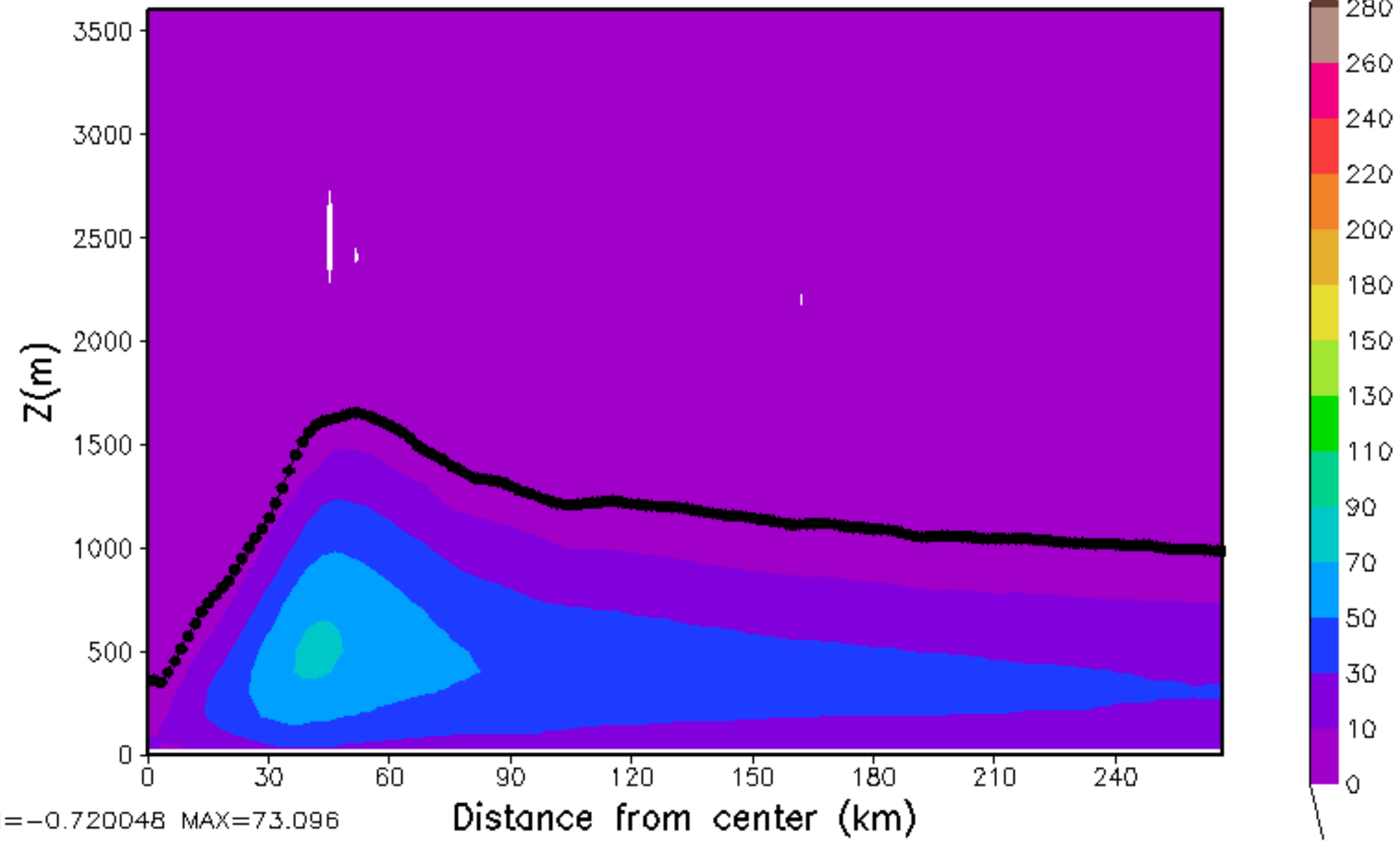
diffusion coefficient $K_h(m^2/s)$, HR033MM00



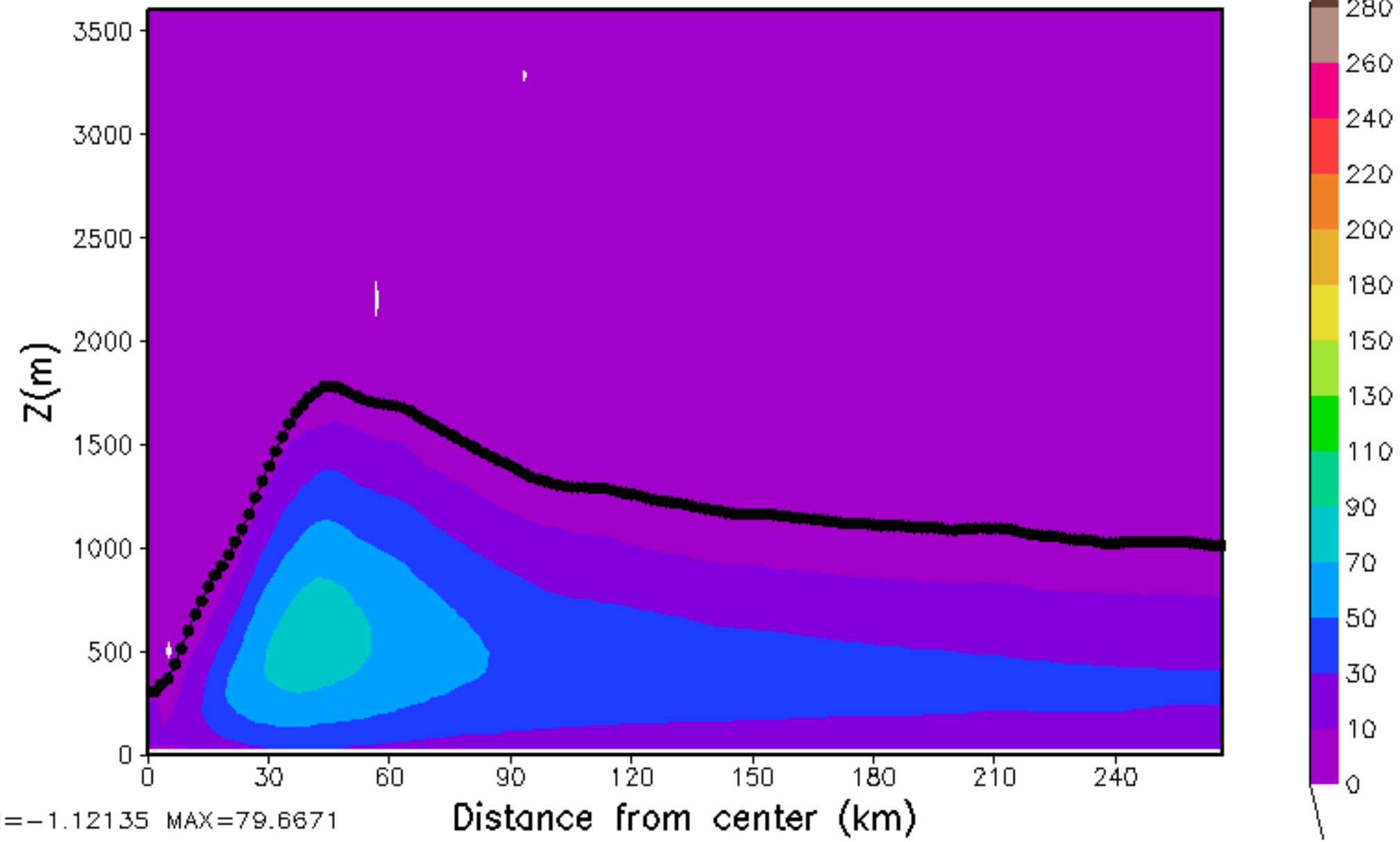
diffusion coefficient $K_h(m^2/s)$, HR036MM00



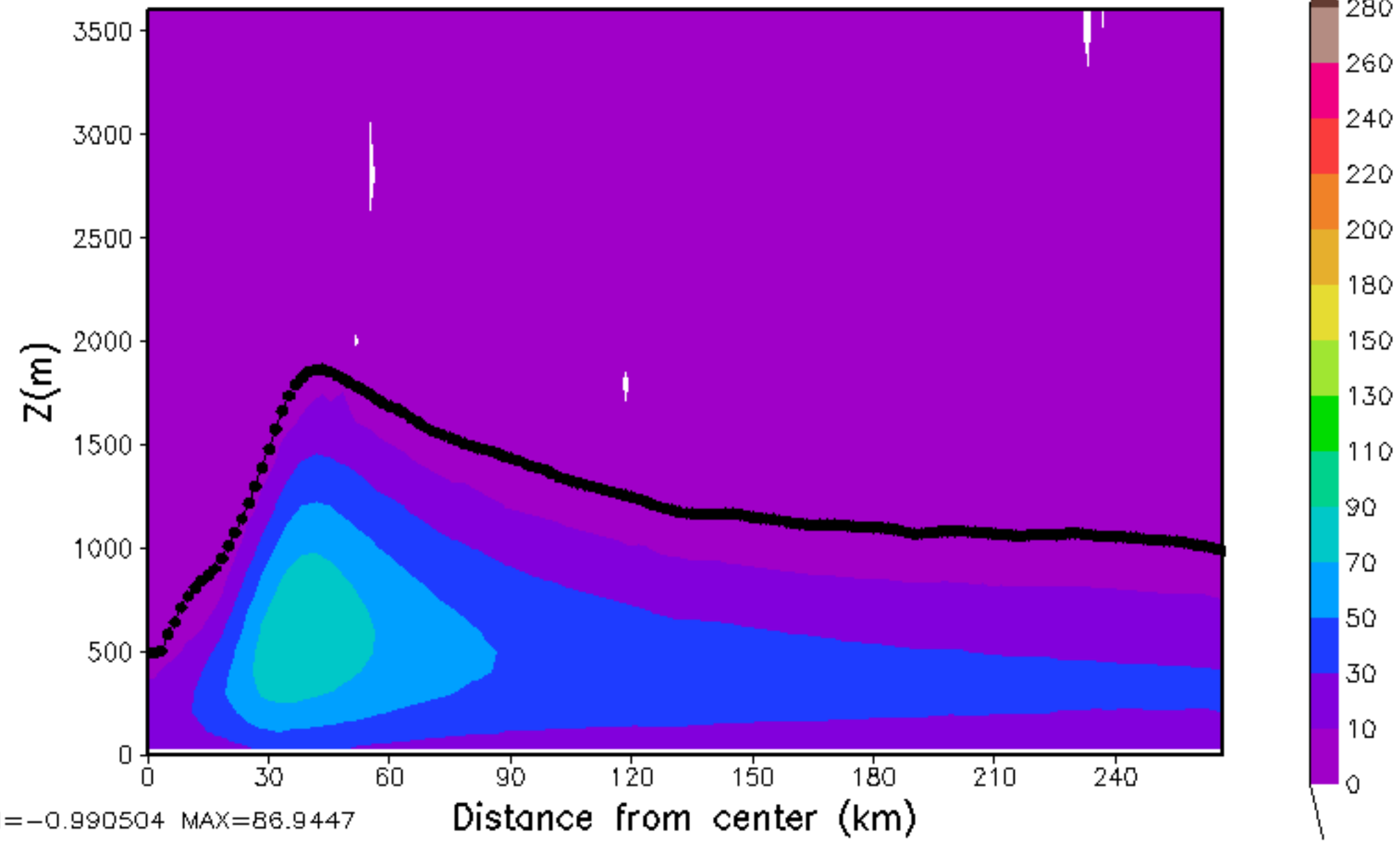
diffusion coefficient $K_h(m^2/s)$, HR039MM00



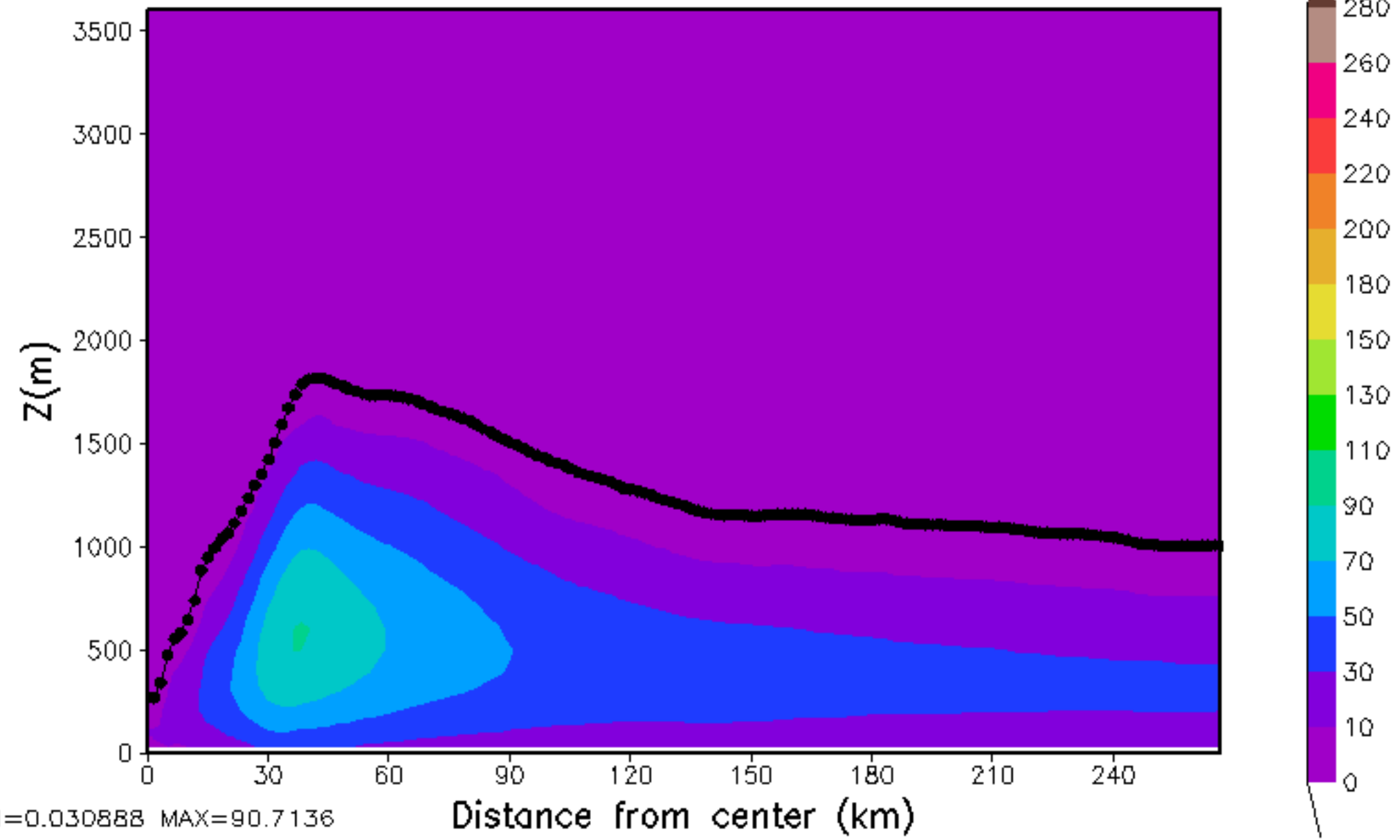
diffusion coefficient $K_h(m^2/s)$, HR042MM00



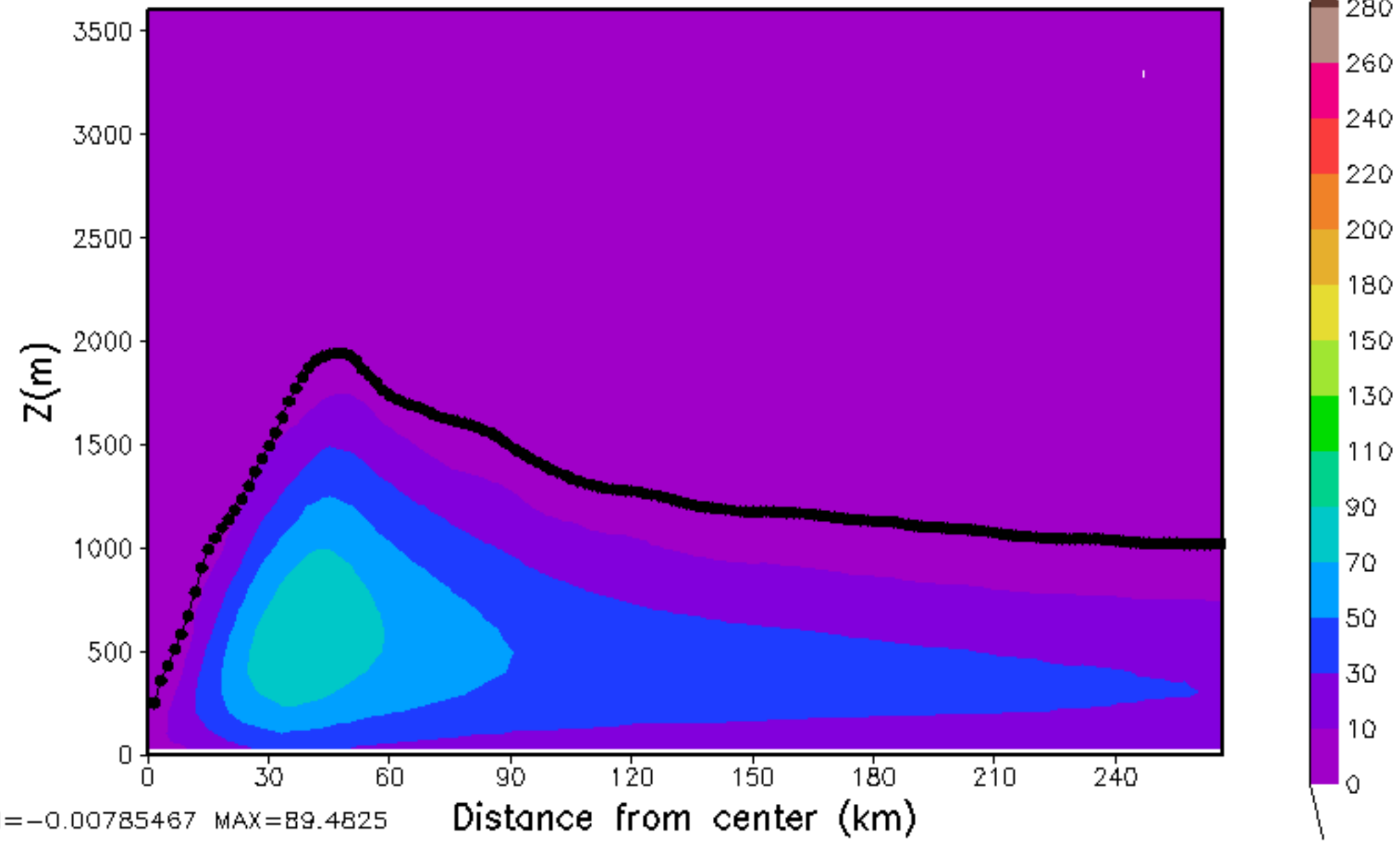
diffusion coefficient $K_h(m^2/s)$, HR045MM00



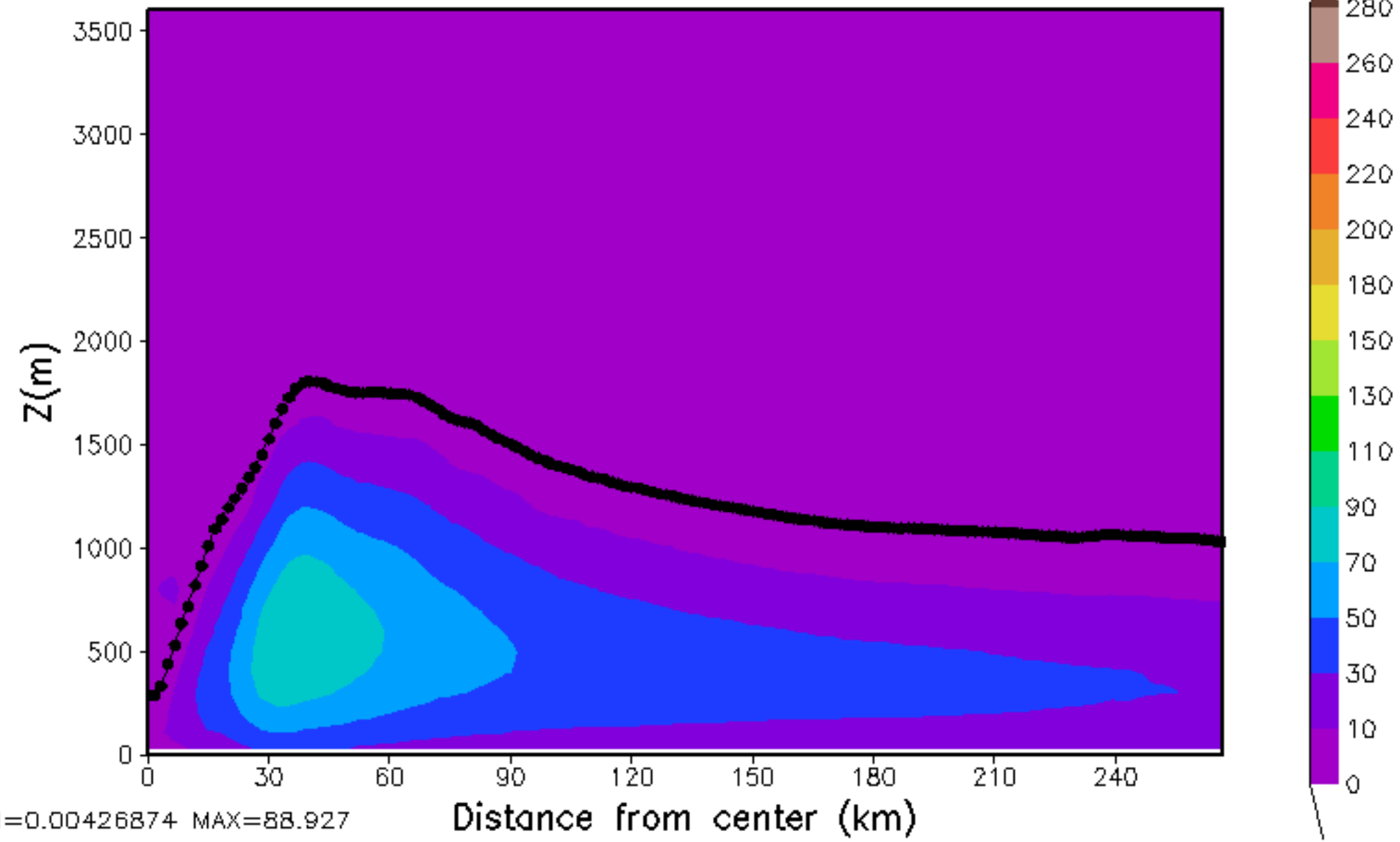
diffusion coefficient $K_h(m^2/s)$, HR048MM00



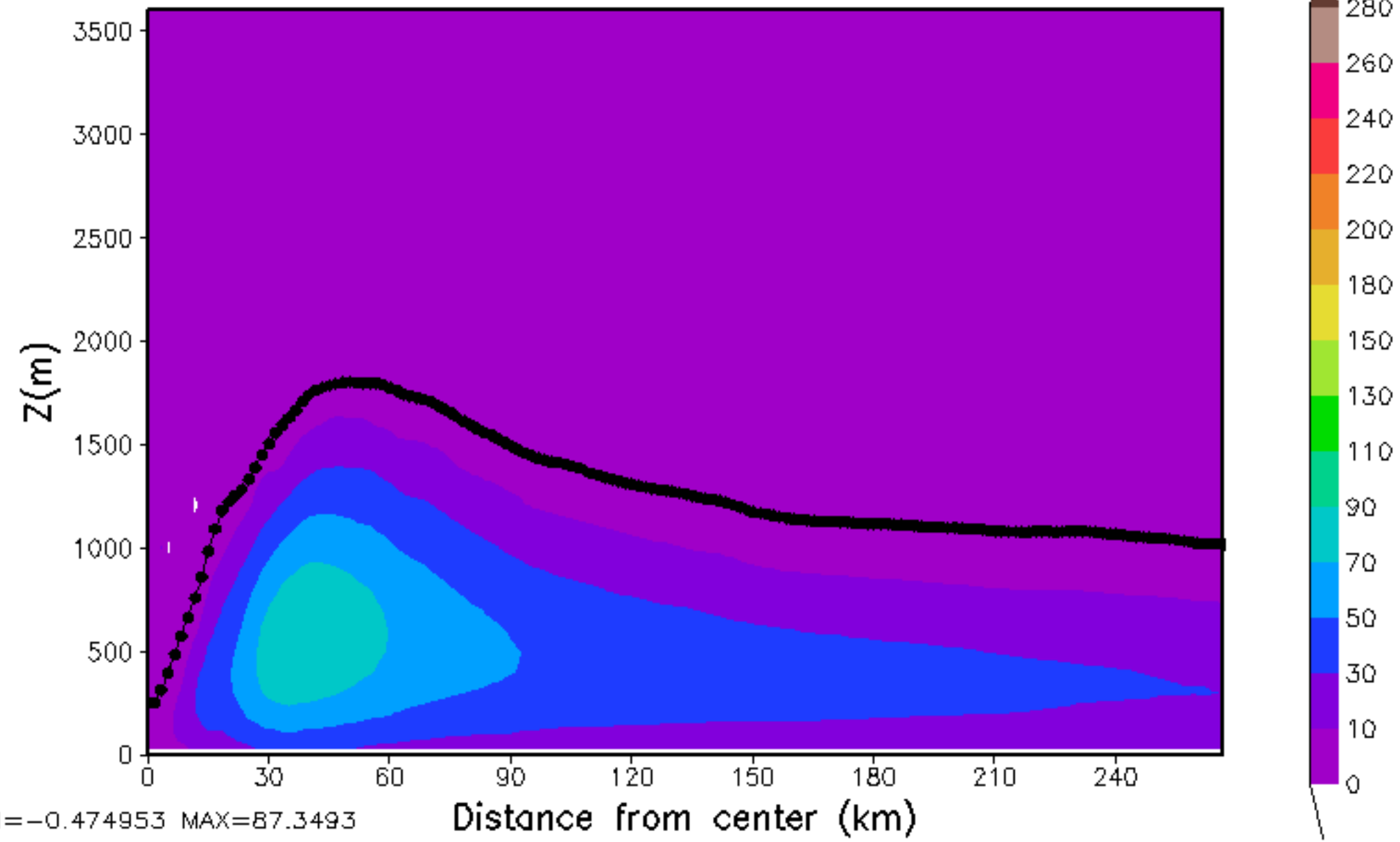
diffusion coefficient $K_h(m^2/s)$, HR051MM00



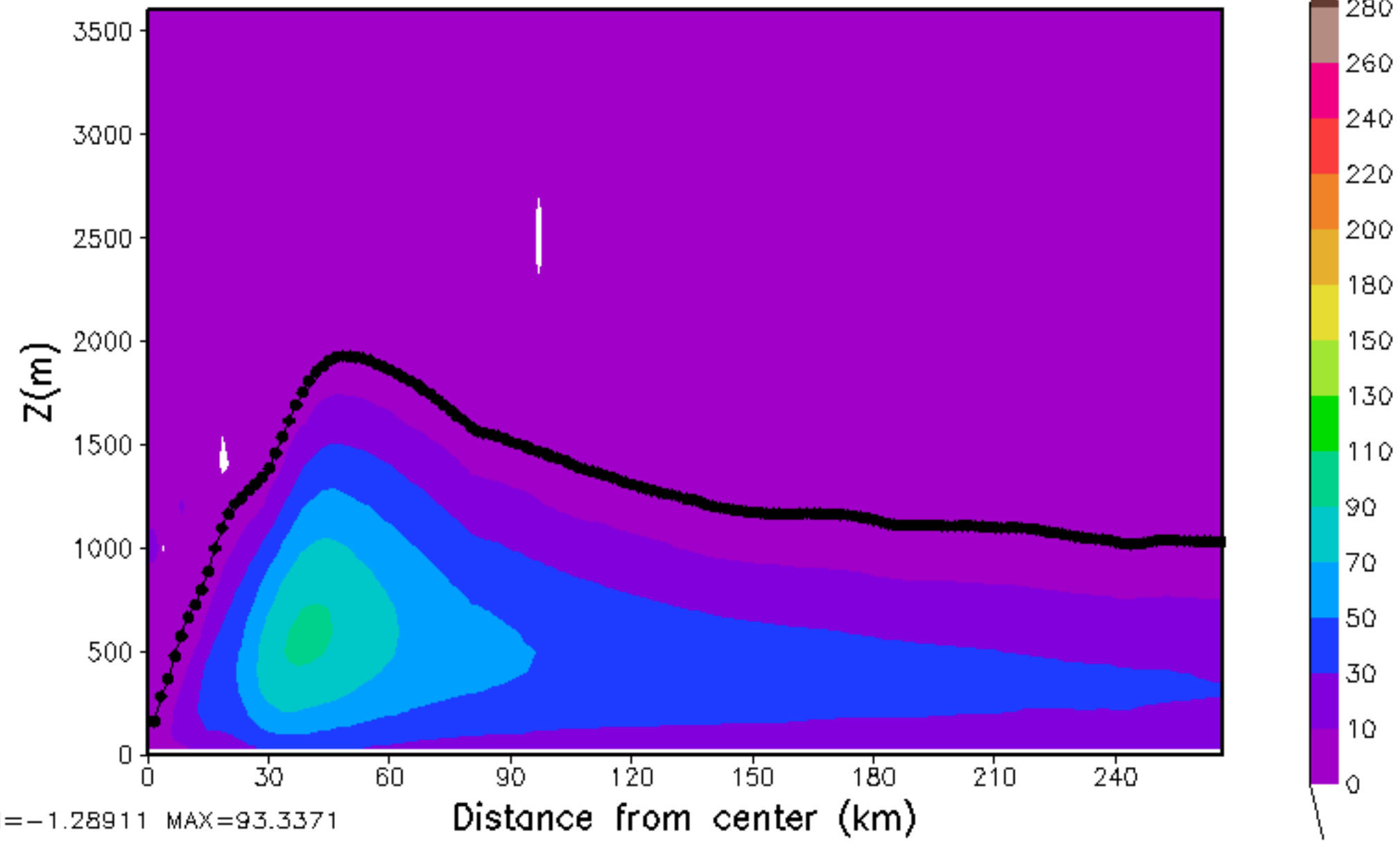
diffusion coefficient $K_h(m^2/s)$, HR054MM00



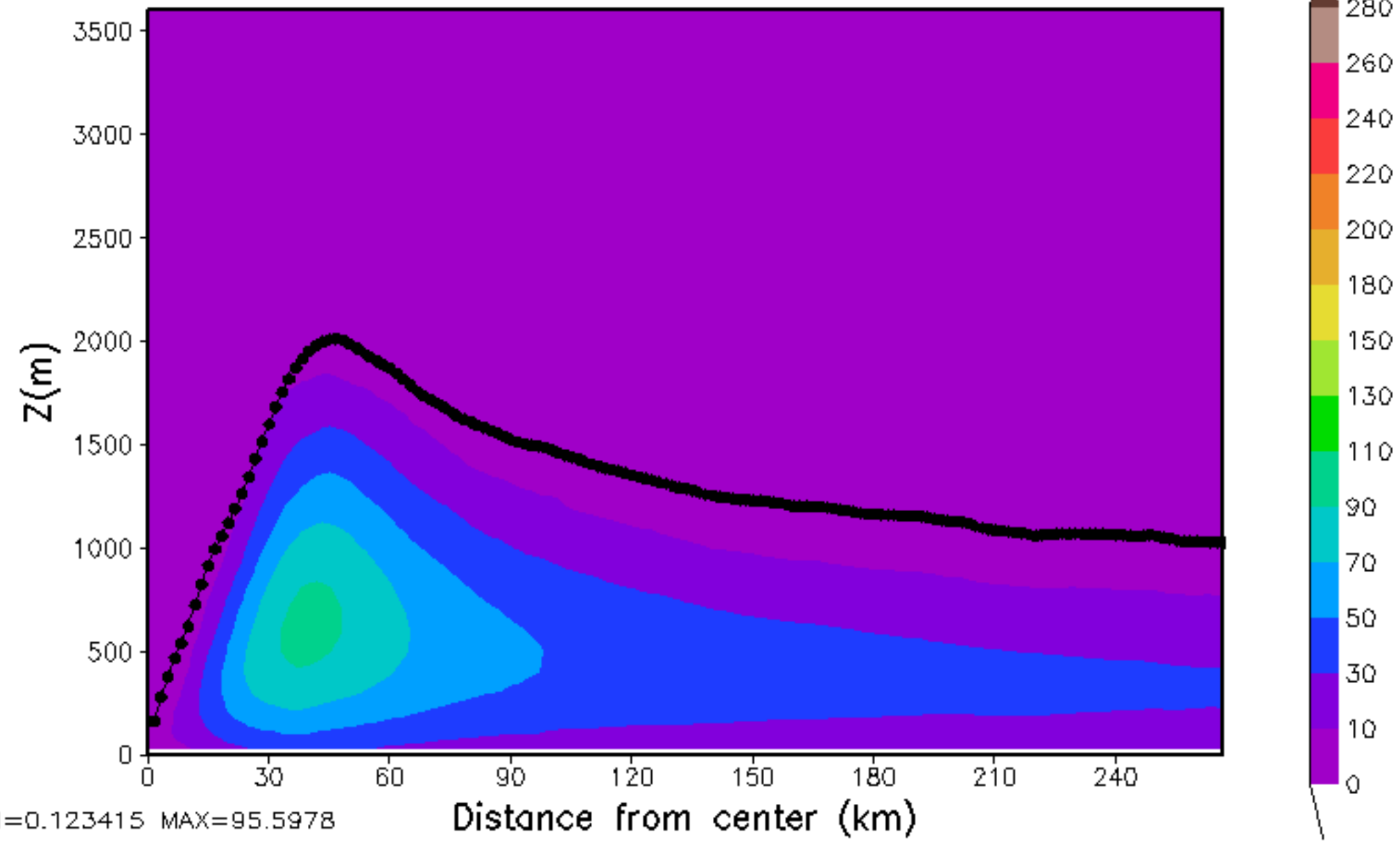
diffusion coefficient $K_h(m^2/s)$, HR057MM00



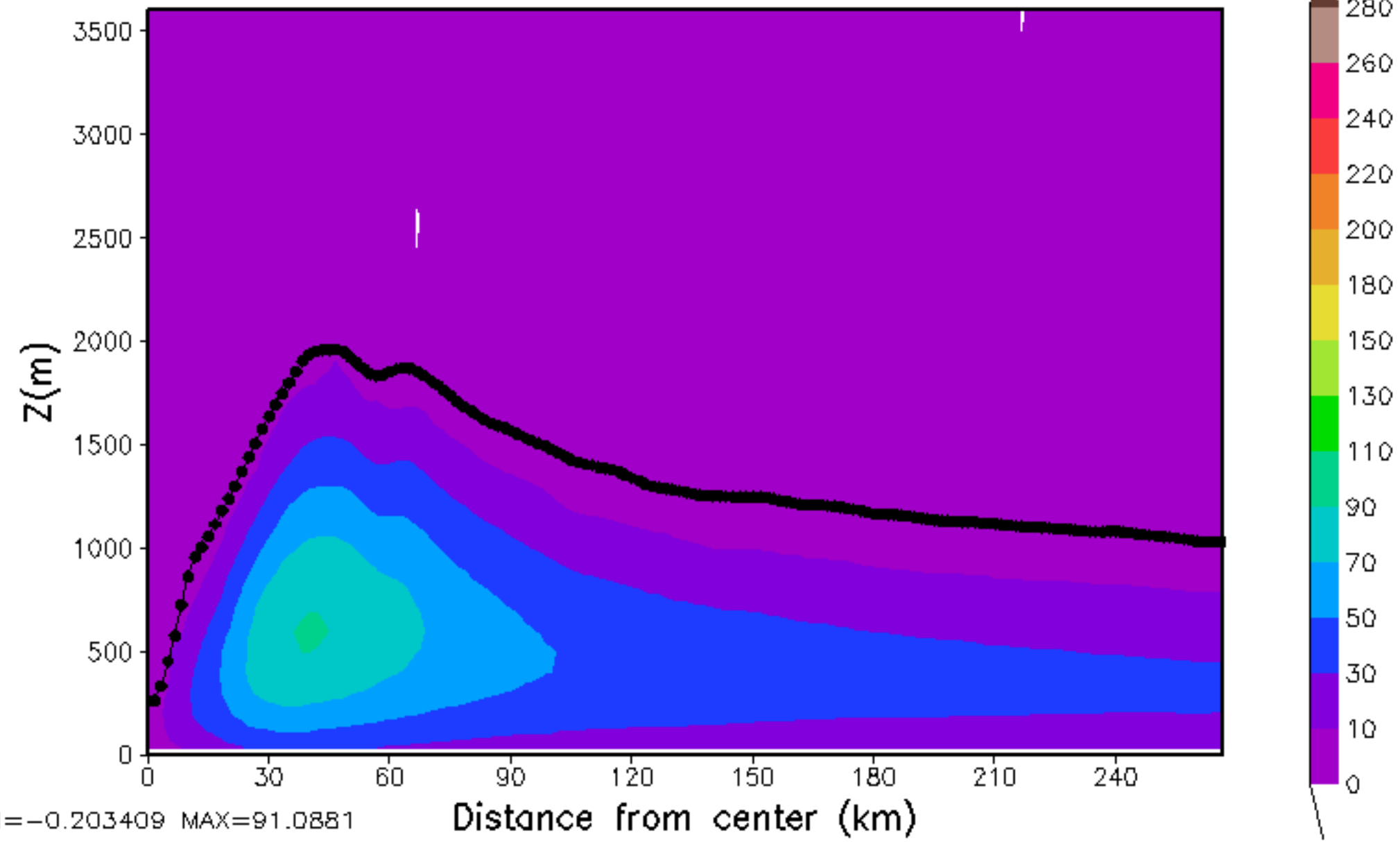
diffusion coefficient $K_h(m^2/s)$, HR060MM00



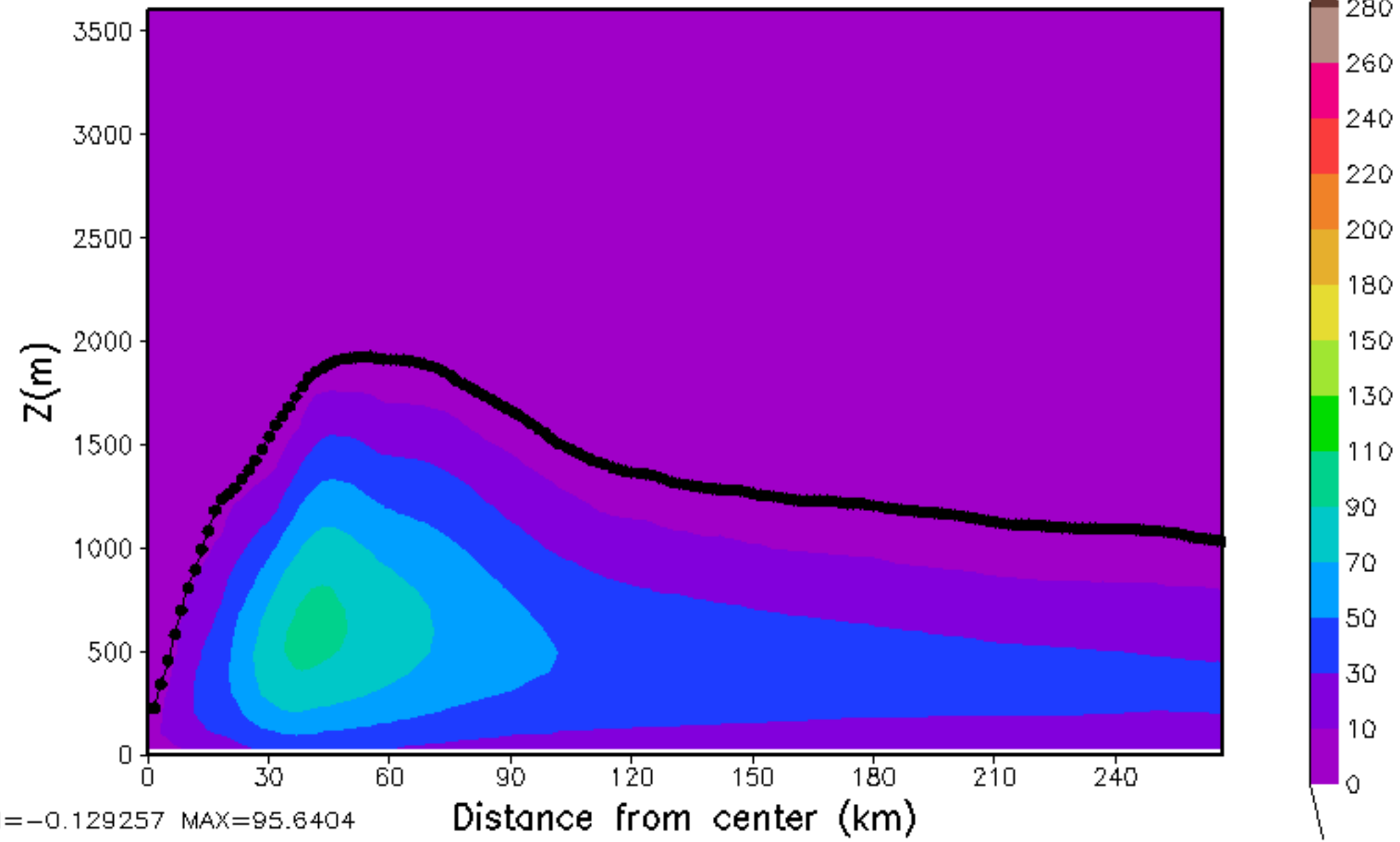
diffusion coefficient $K_h(m^2/s)$, HR063MM00



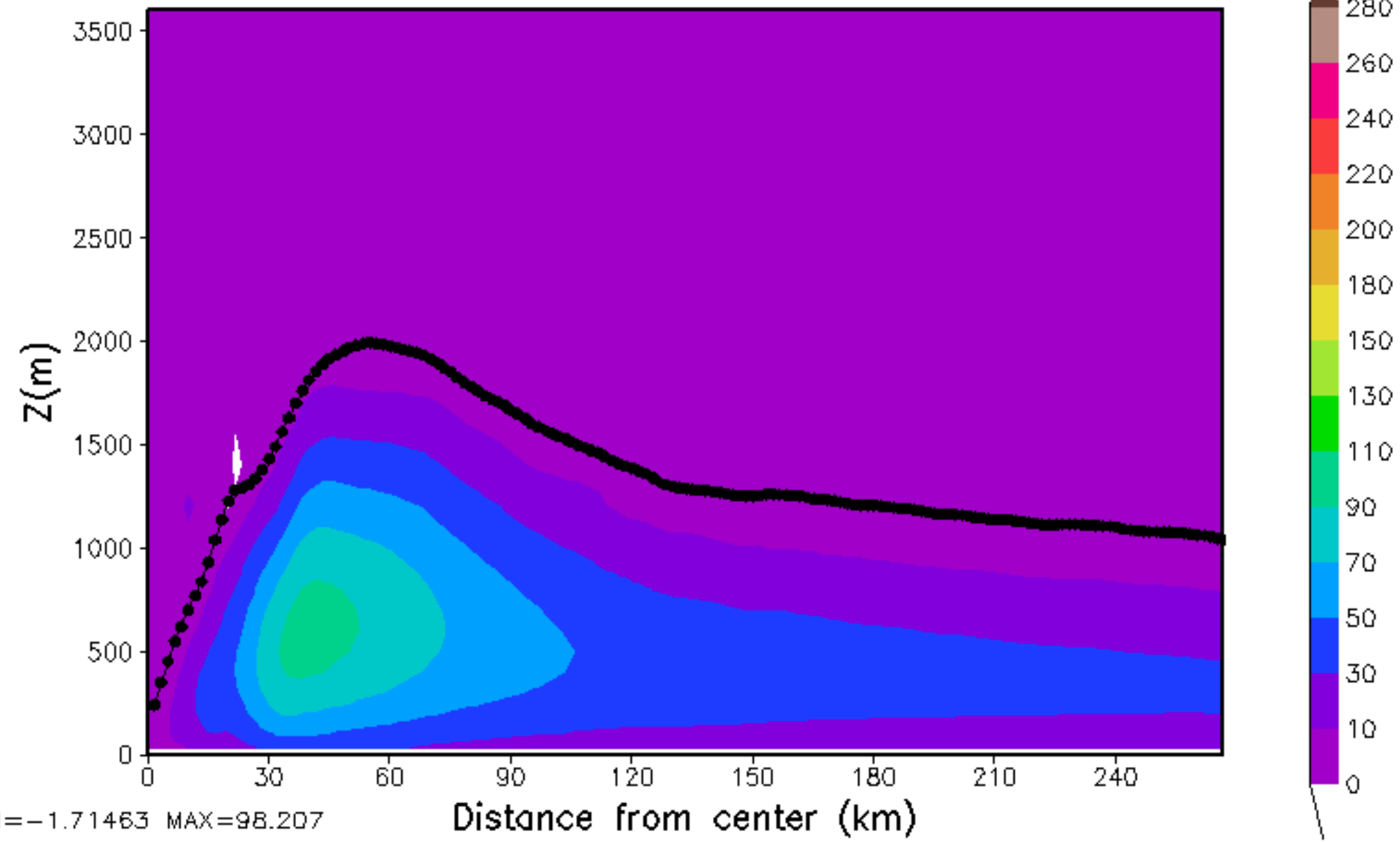
diffusion coefficient $K_h(m^2/s)$, HR066MM00



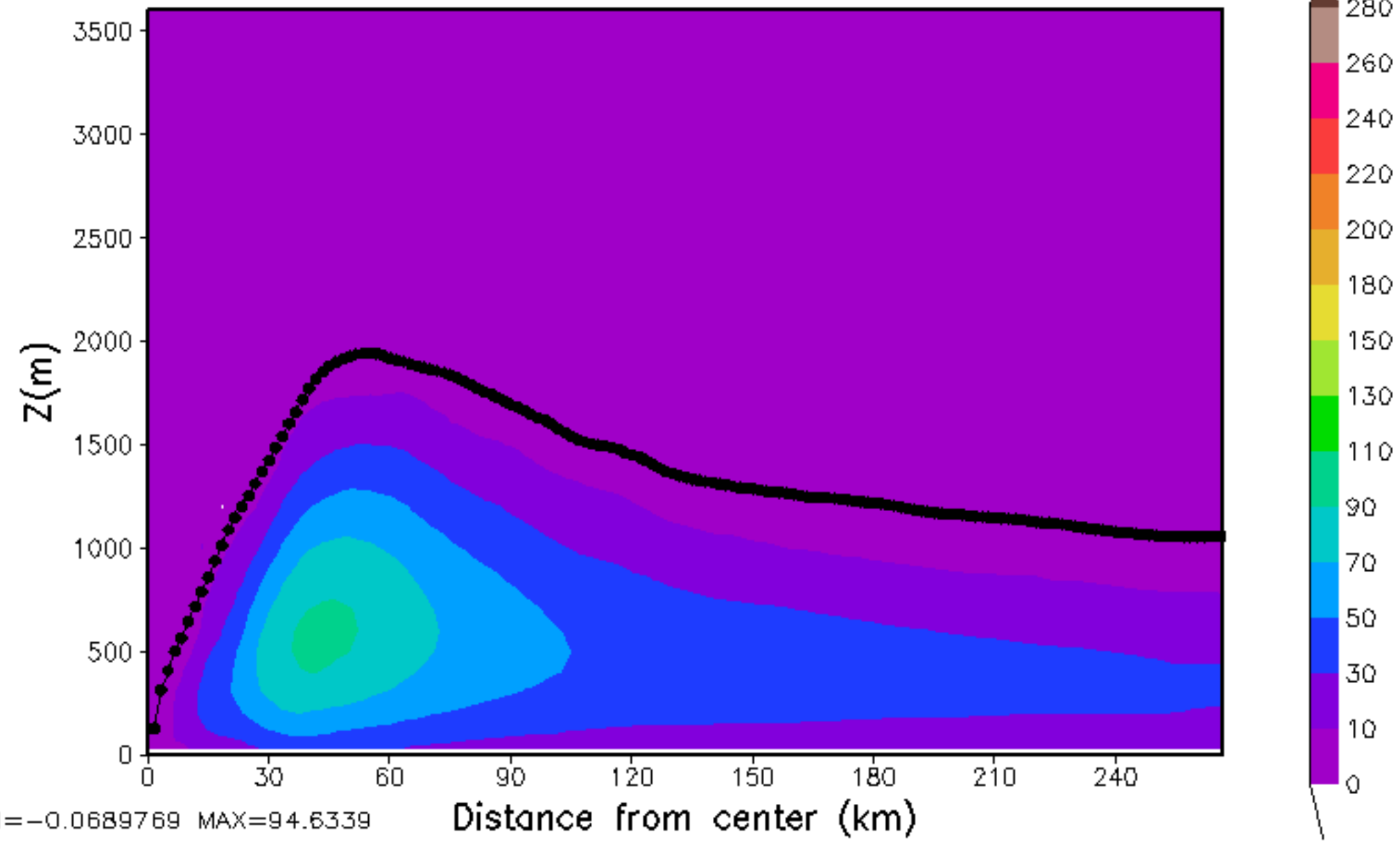
diffusion coefficient $K_h(m^2/s)$, HR069MM00



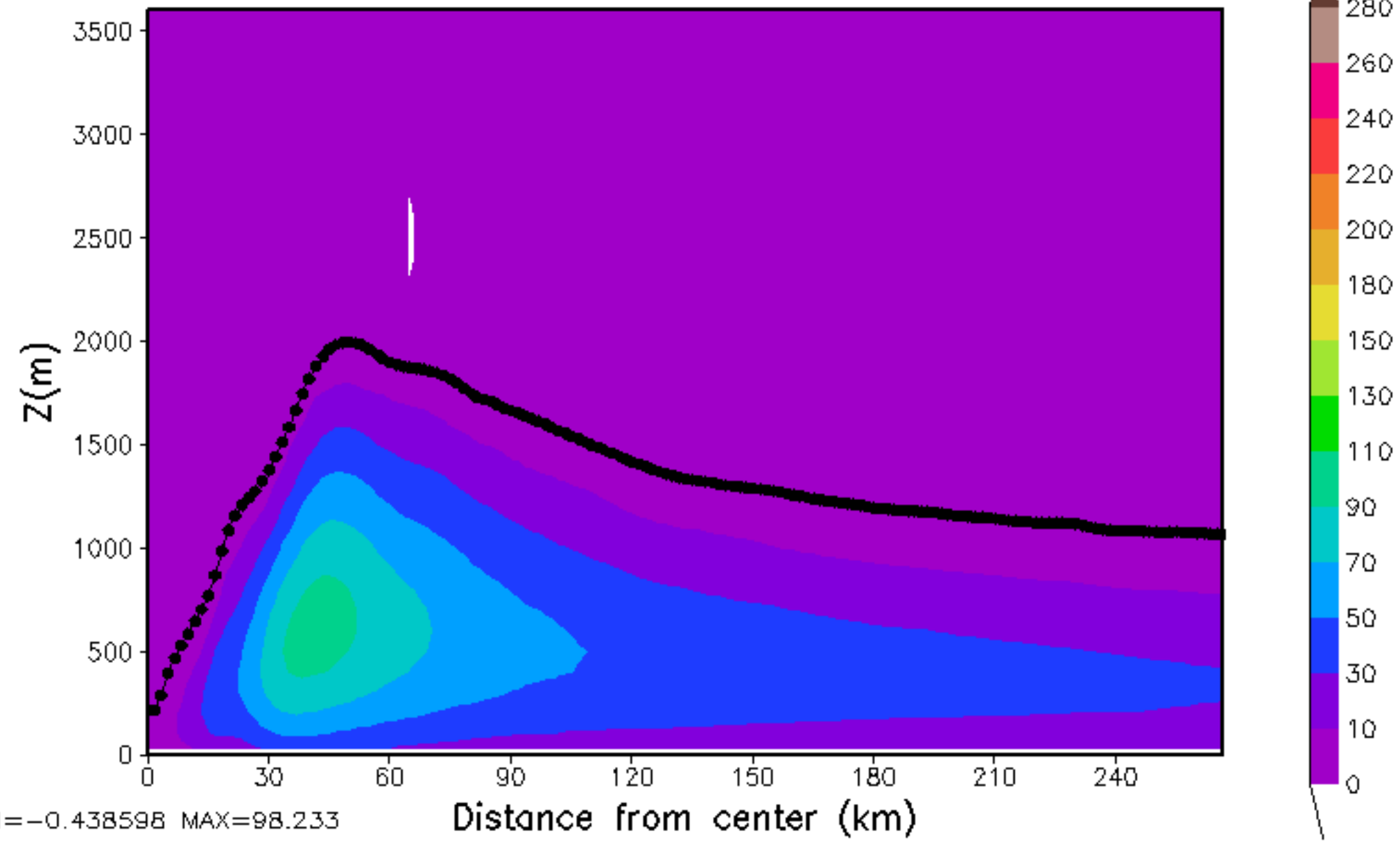
diffusion coefficient $K_h(m^2/s)$, HR072MM00



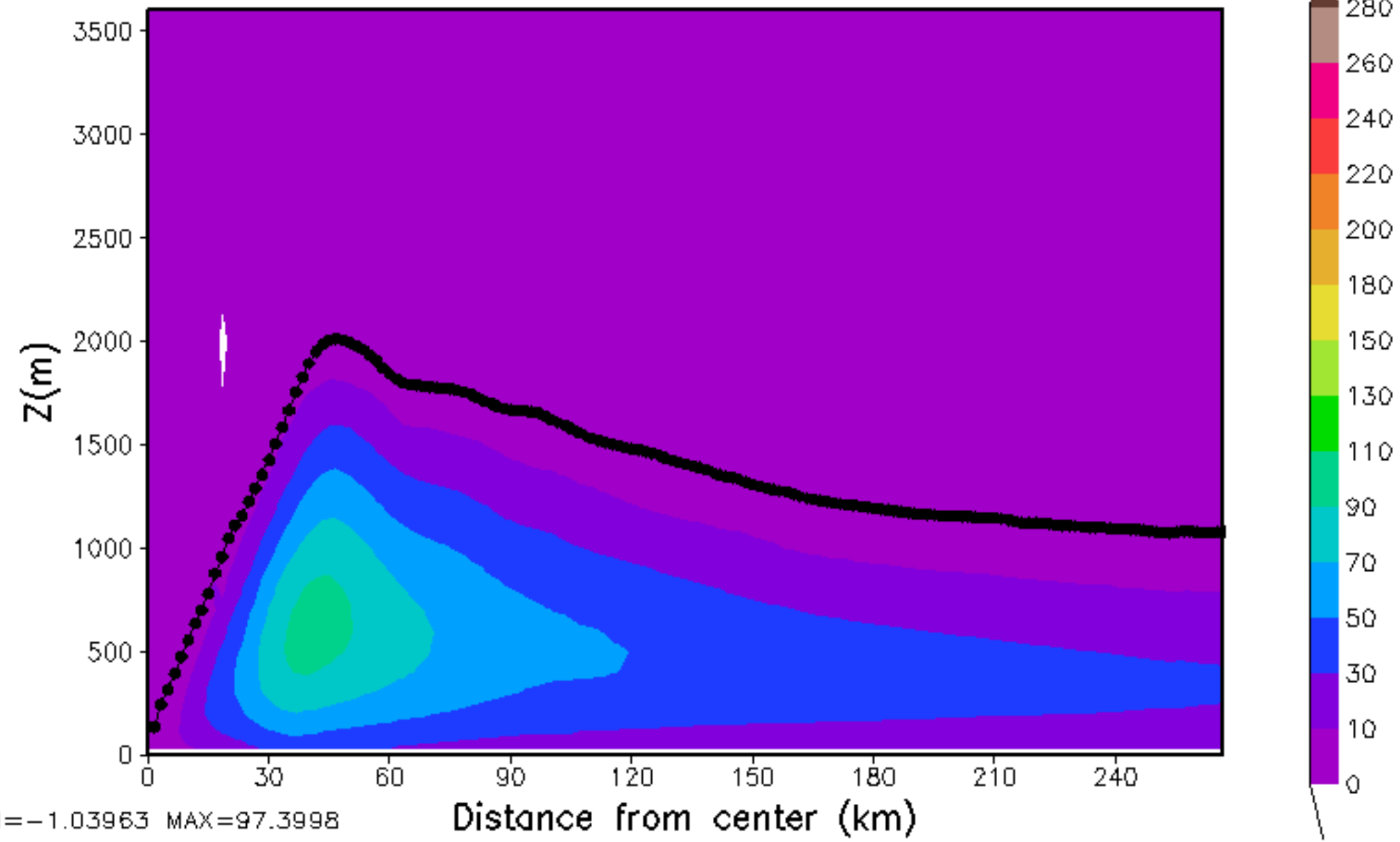
diffusion coefficient $K_h(m^2/s)$, HR075MM00



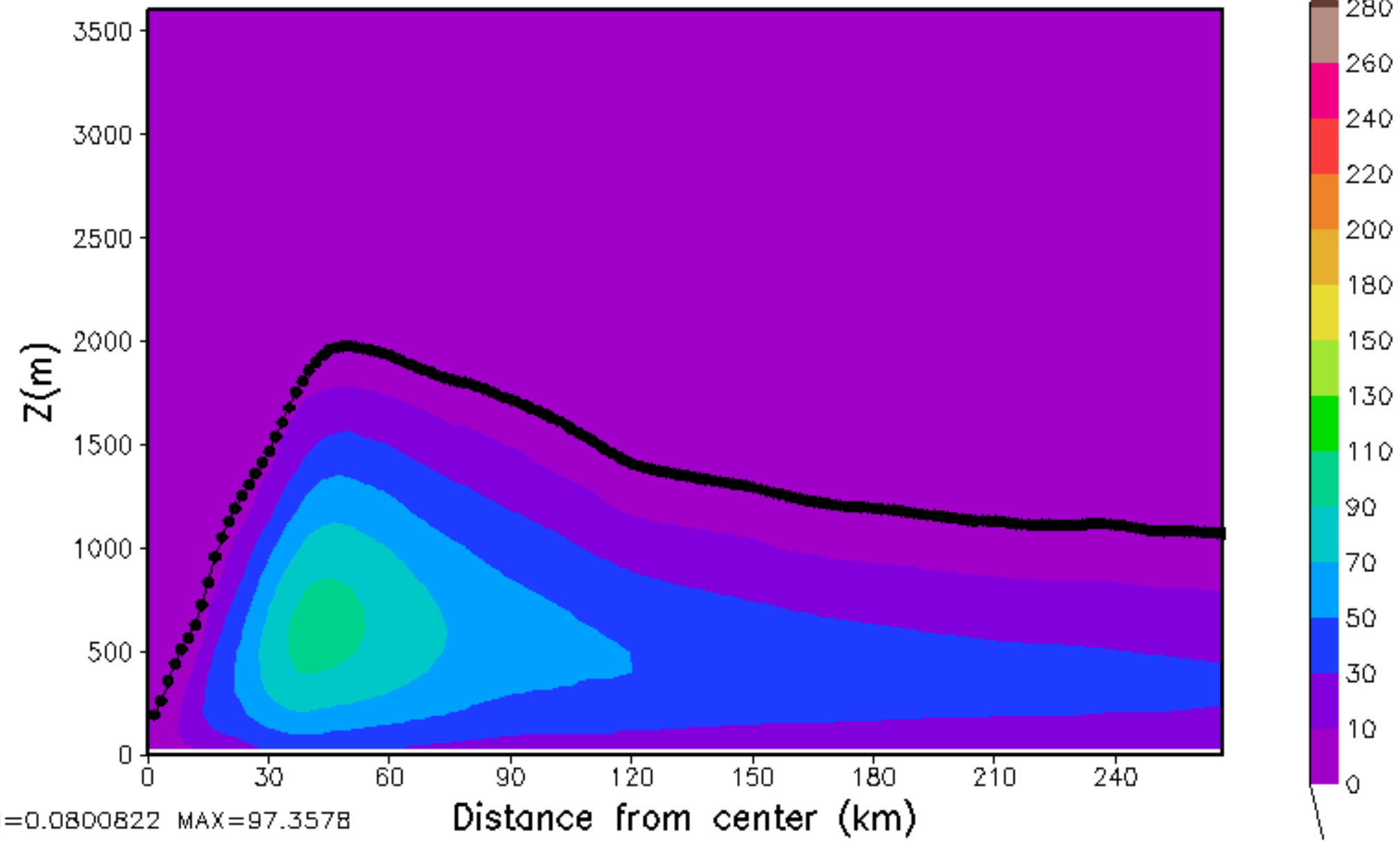
diffusion coefficient $K_h(m^2/s)$, HR078MM00



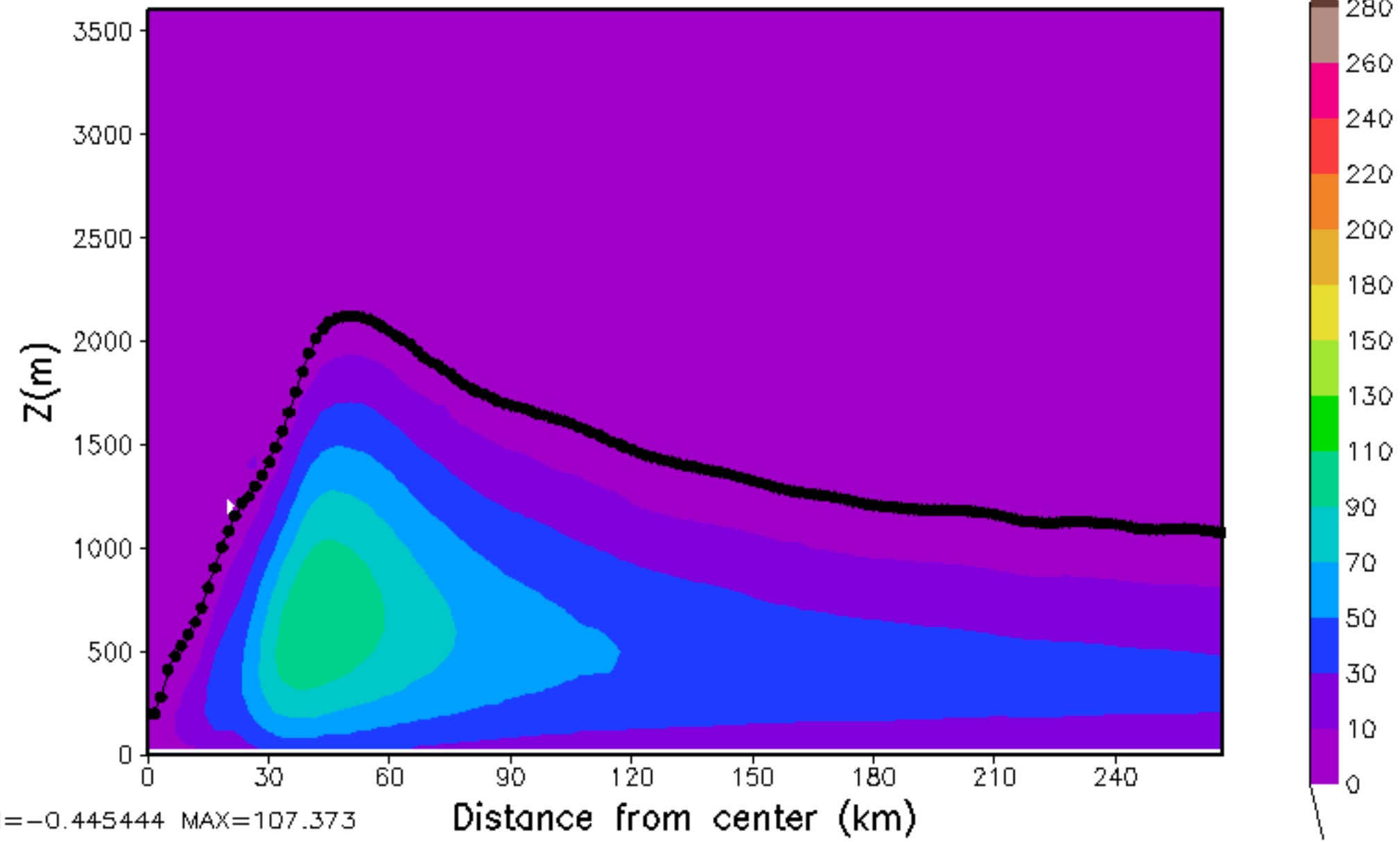
diffusion coefficient $K_h(m^2/s)$, HR081MM00



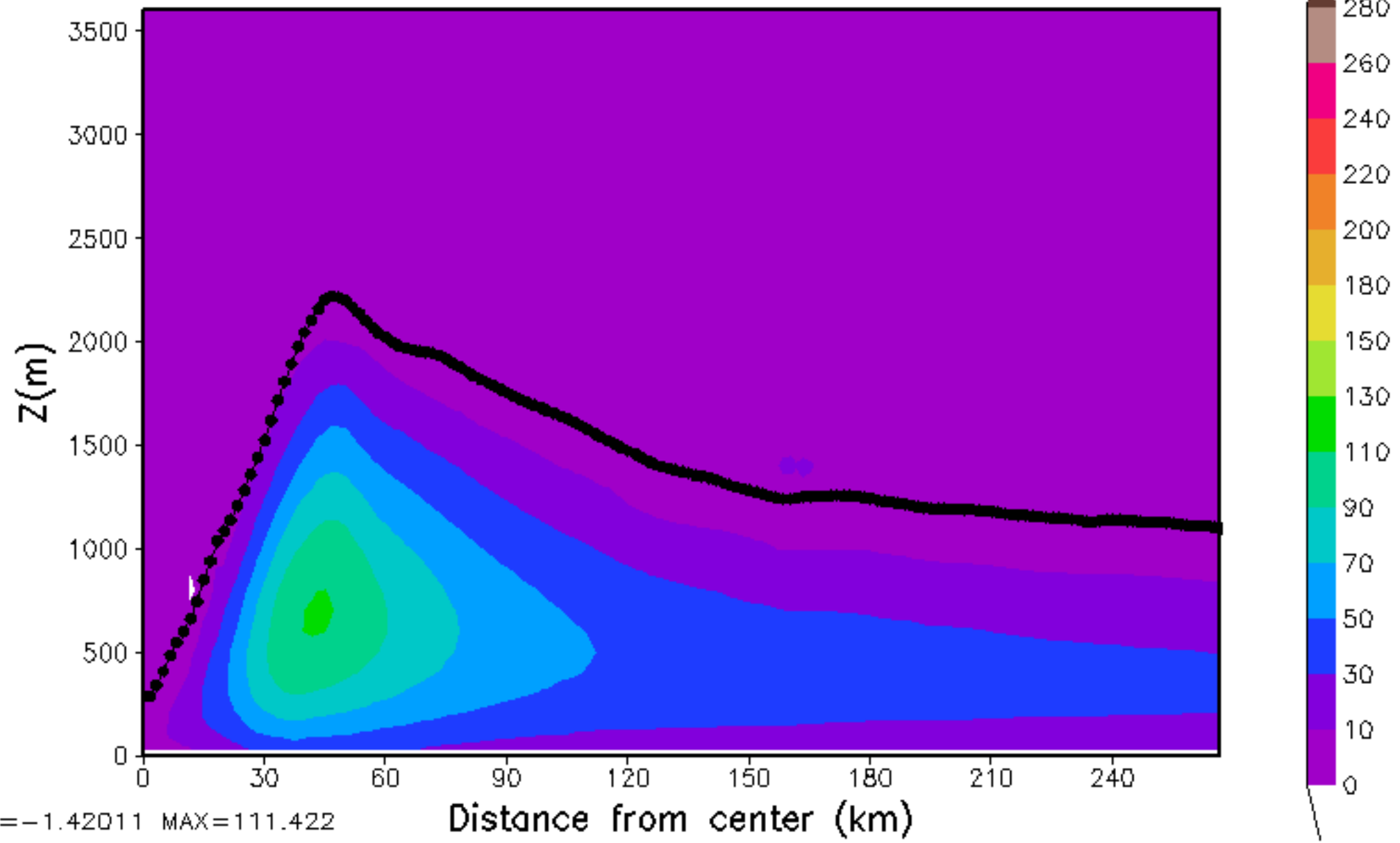
diffusion coefficient $K_h(m^2/s)$, HR084MM00



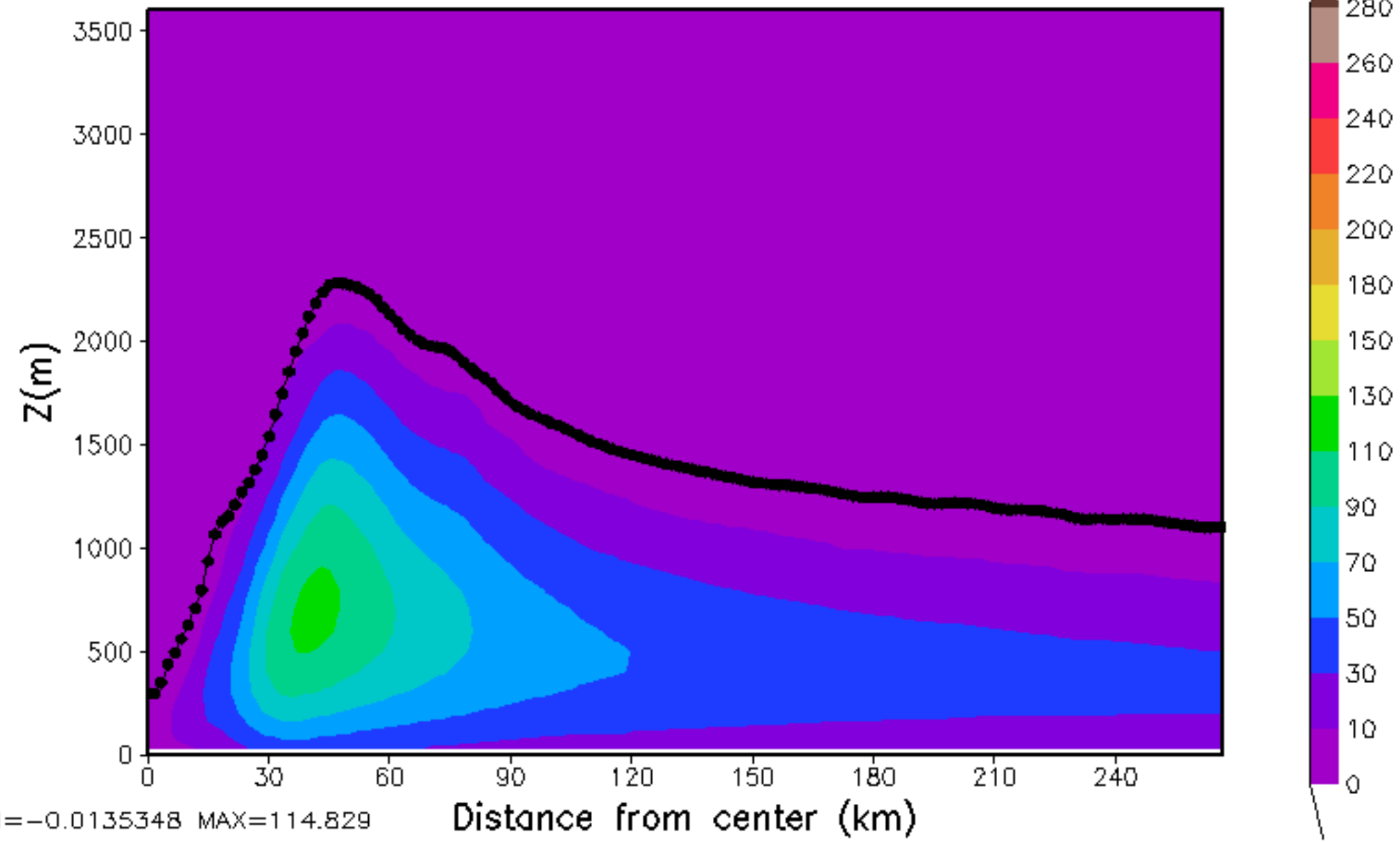
diffusion coefficient $K_h(m^2/s)$, HR087MM00



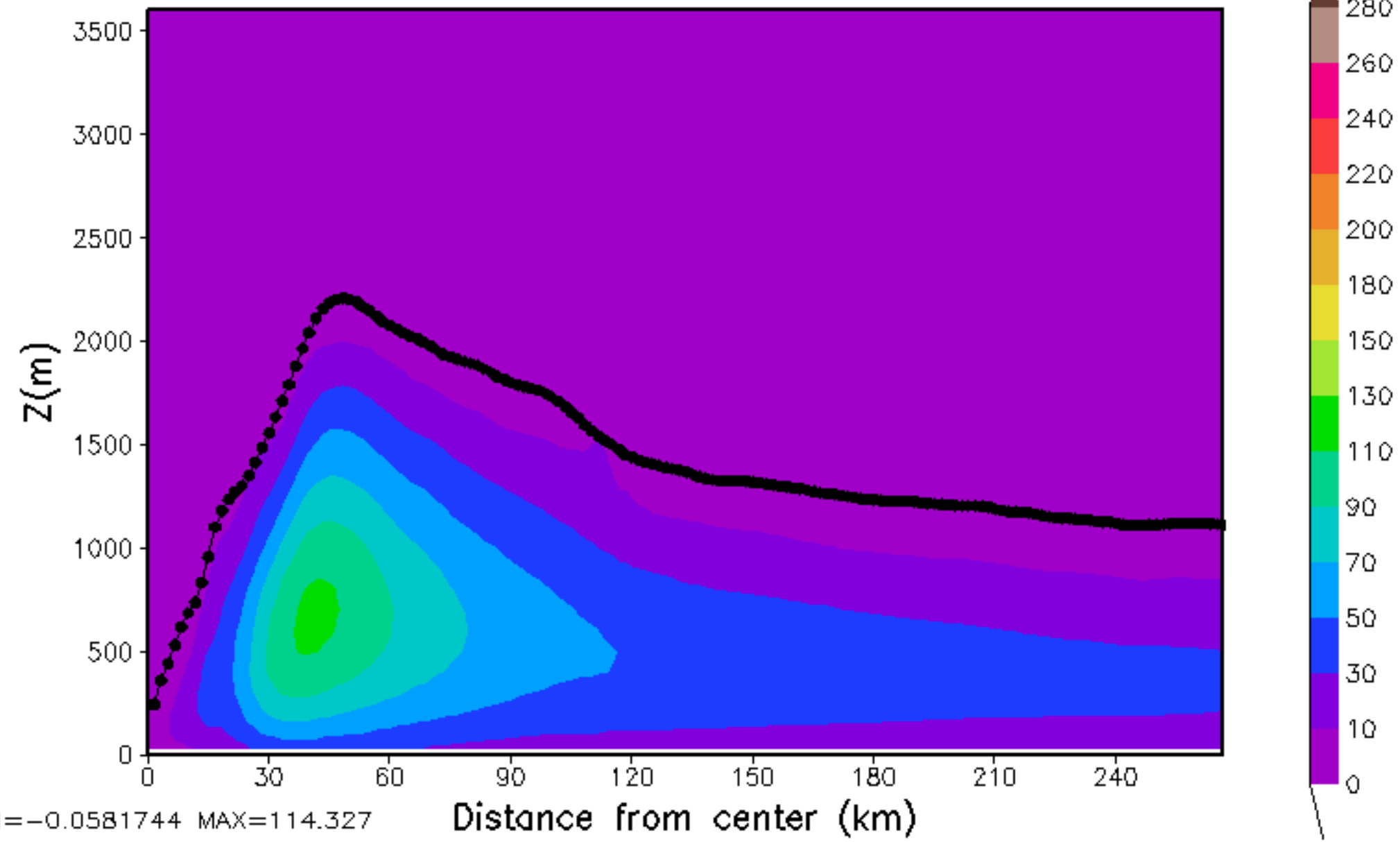
diffusion coefficient $K_h(m^2/s)$, HR090MM00



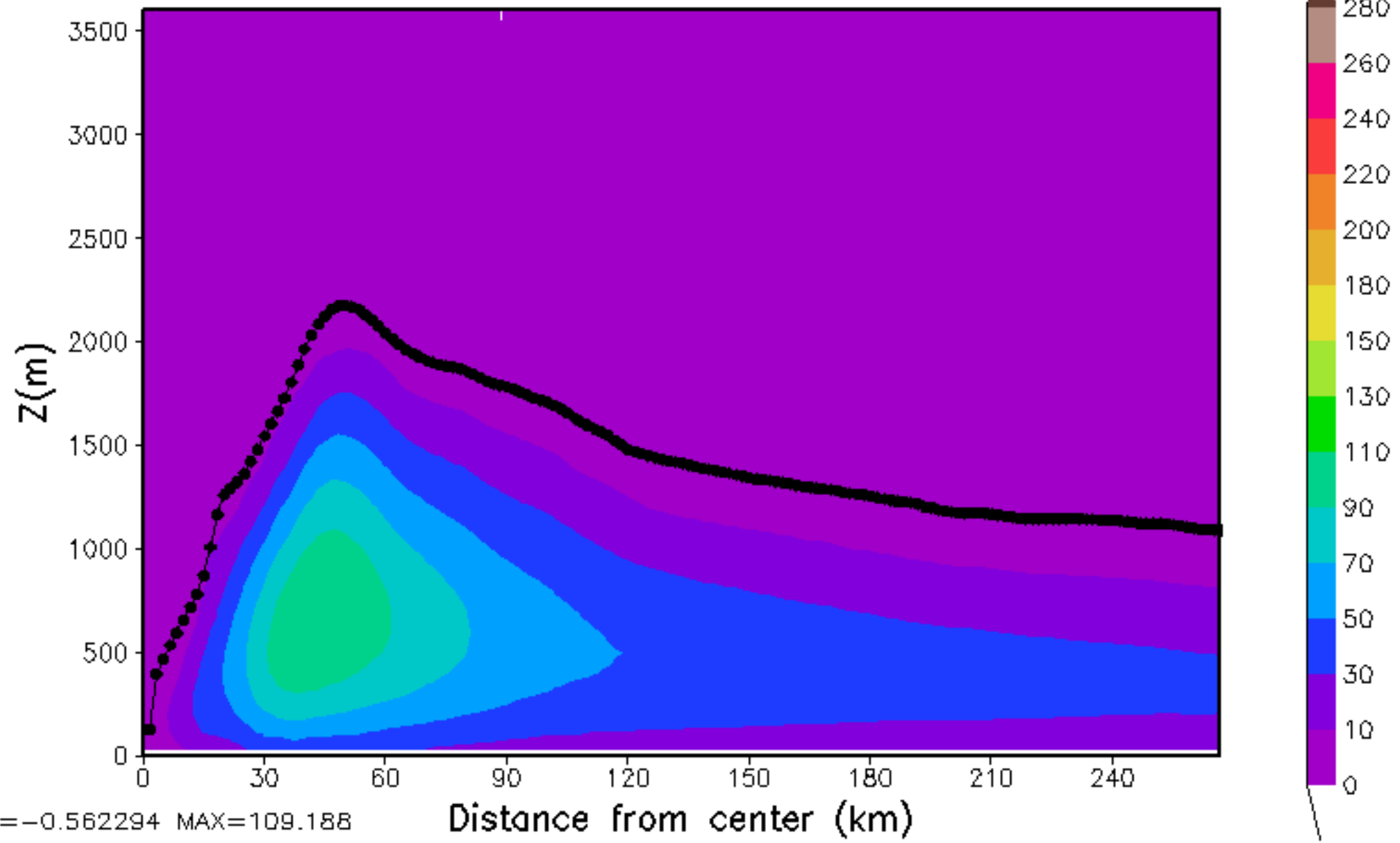
diffusion coefficient $K_h(m^2/s)$, HR093MM00



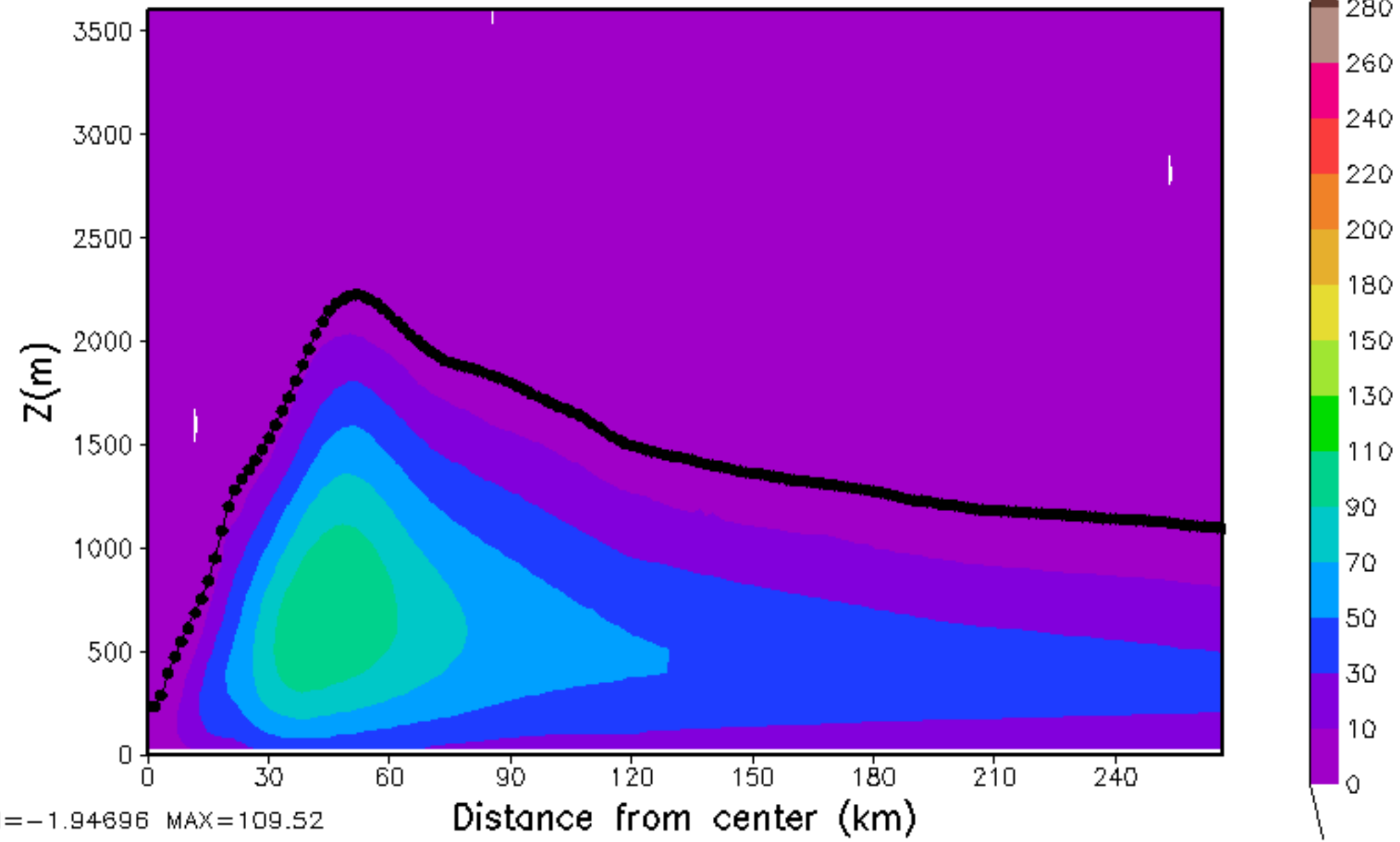
diffusion coefficient $K_h(m^2/s)$, HR096MM00



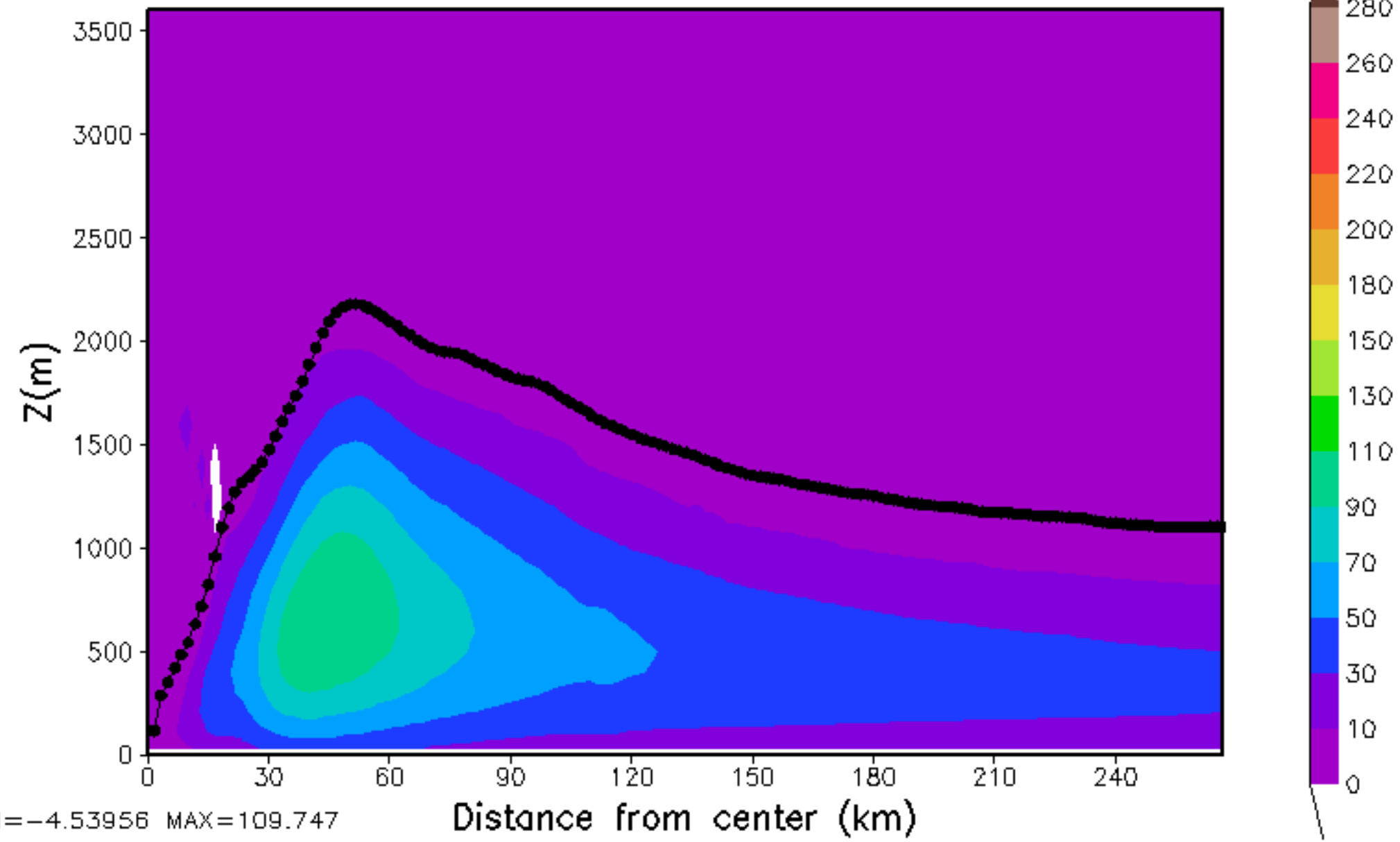
diffusion coefficient $K_h(m^2/s)$, HR099MM00



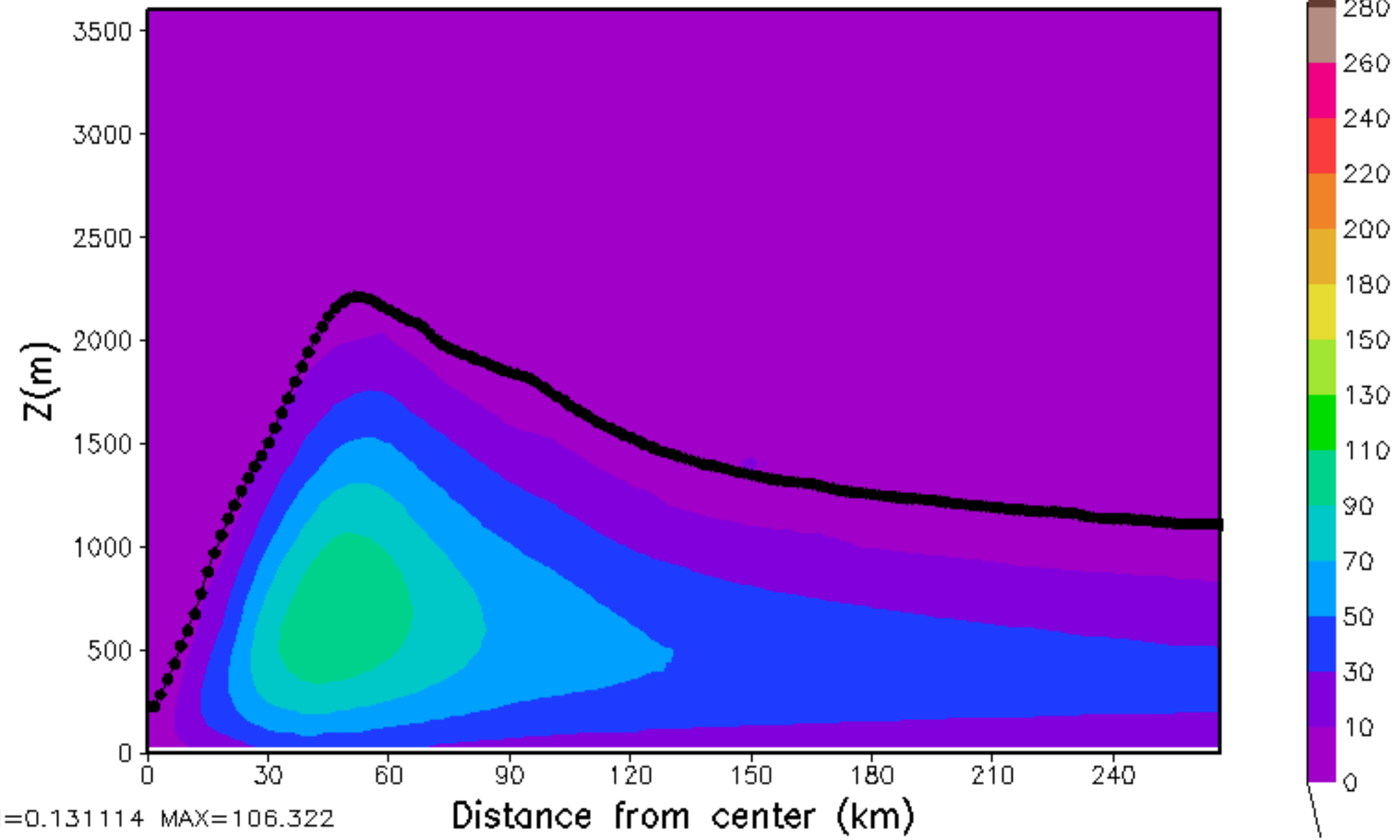
diffusion coefficient $K_h(m^2/s)$, HR102MM00



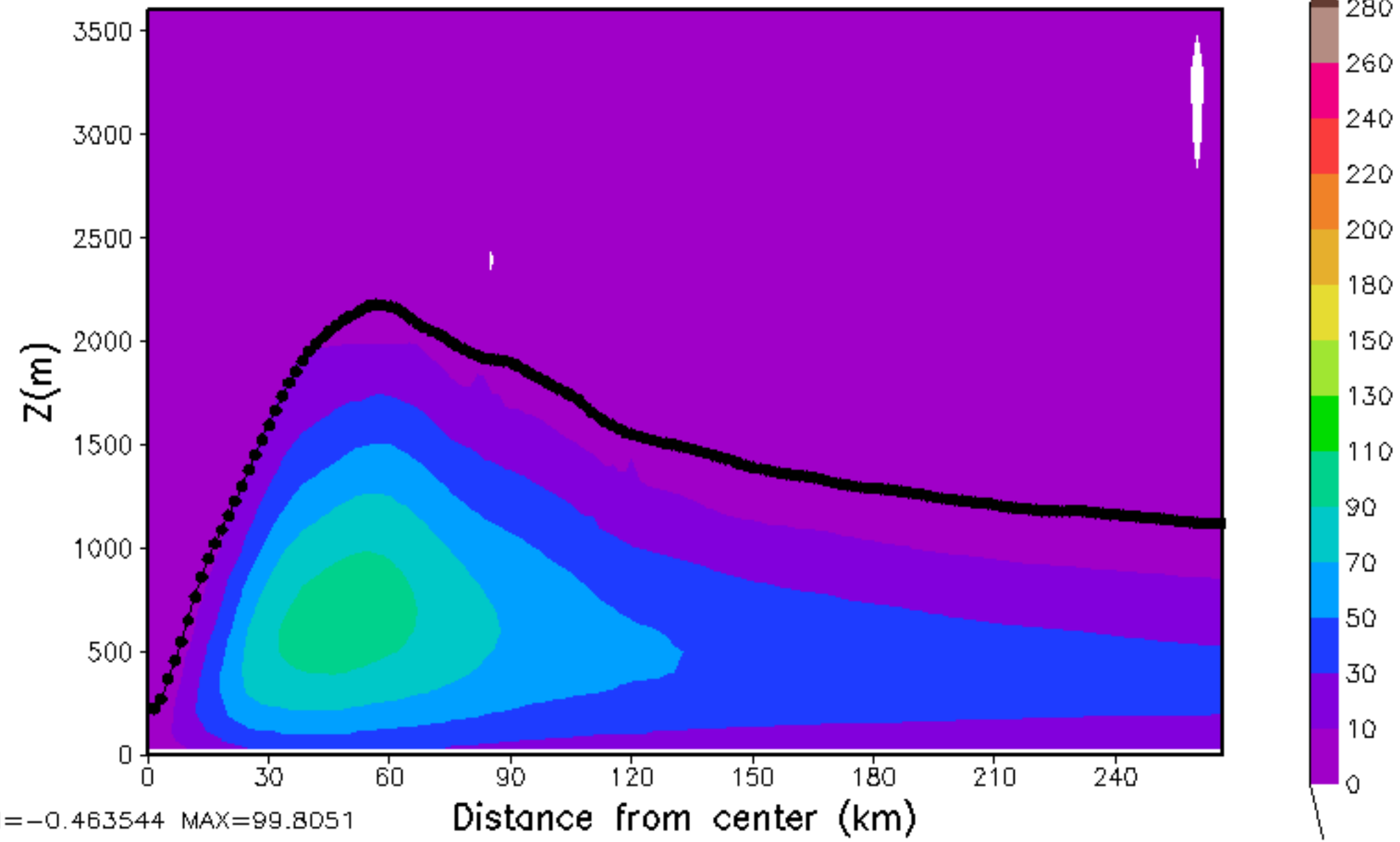
diffusion coefficient $K_h(m^2/s)$, HR105MM00



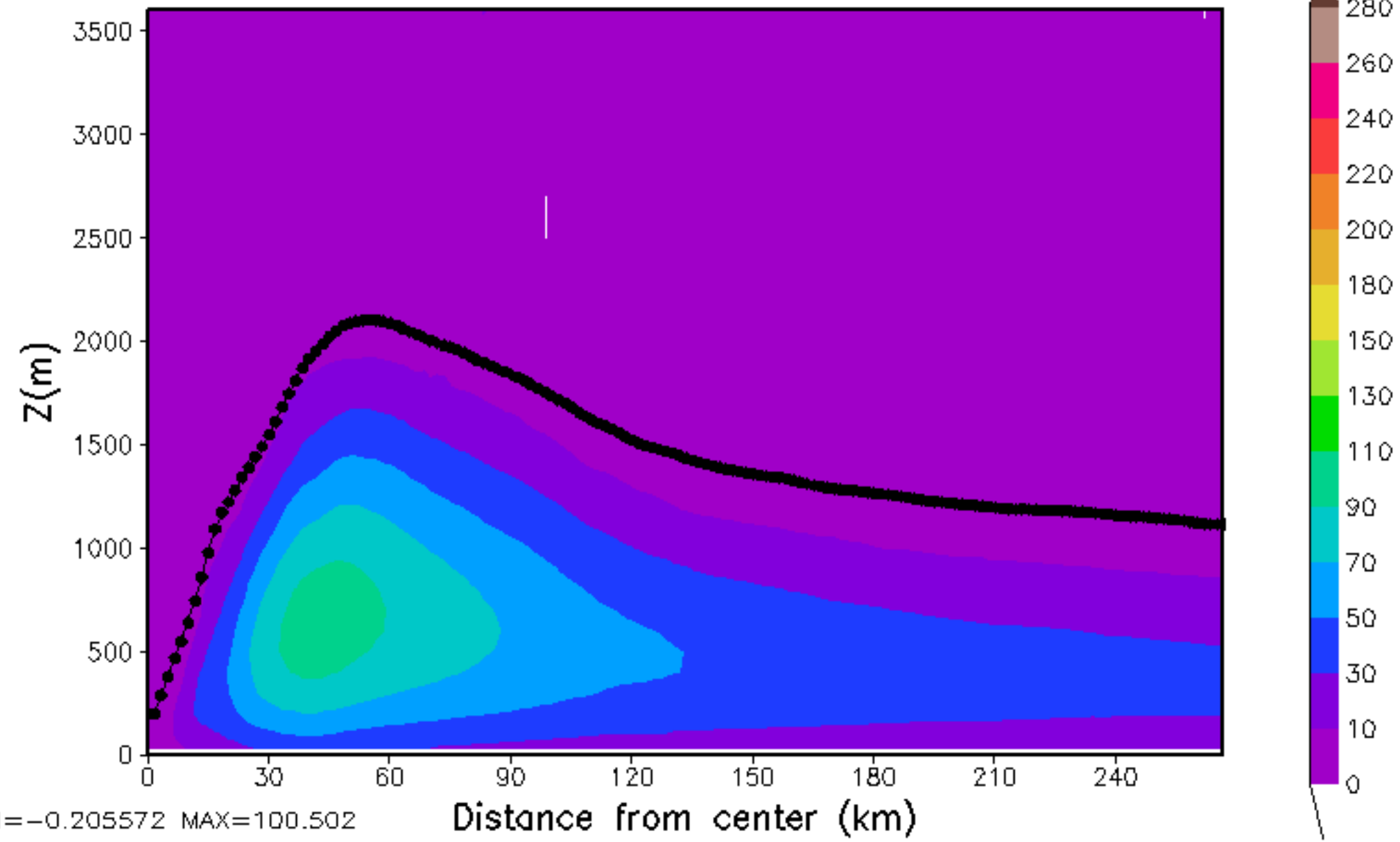
diffusion coefficient $K_h(m^2/s)$, HR108MM00



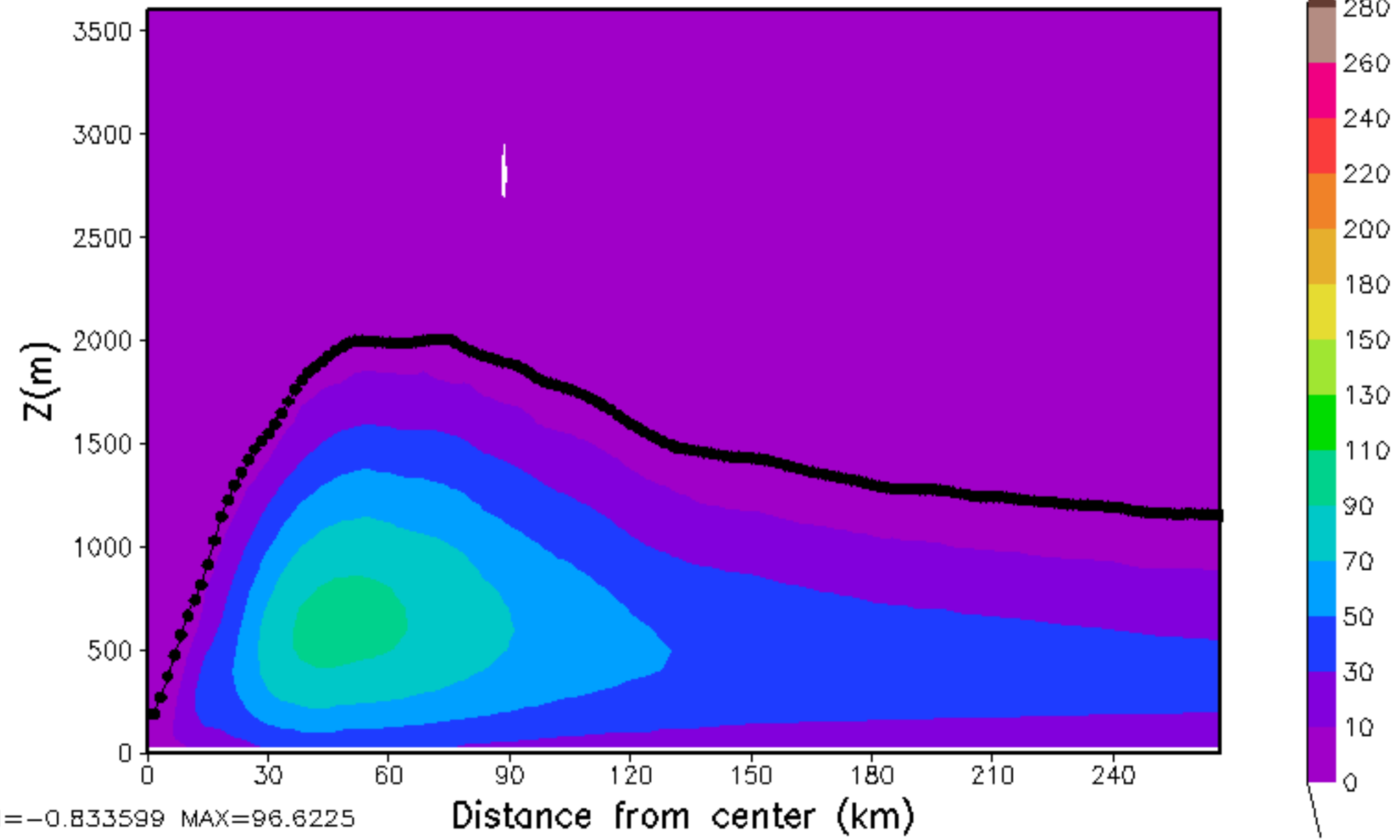
diffusion coefficient $Kh(m^2/s)$, HR111MM00



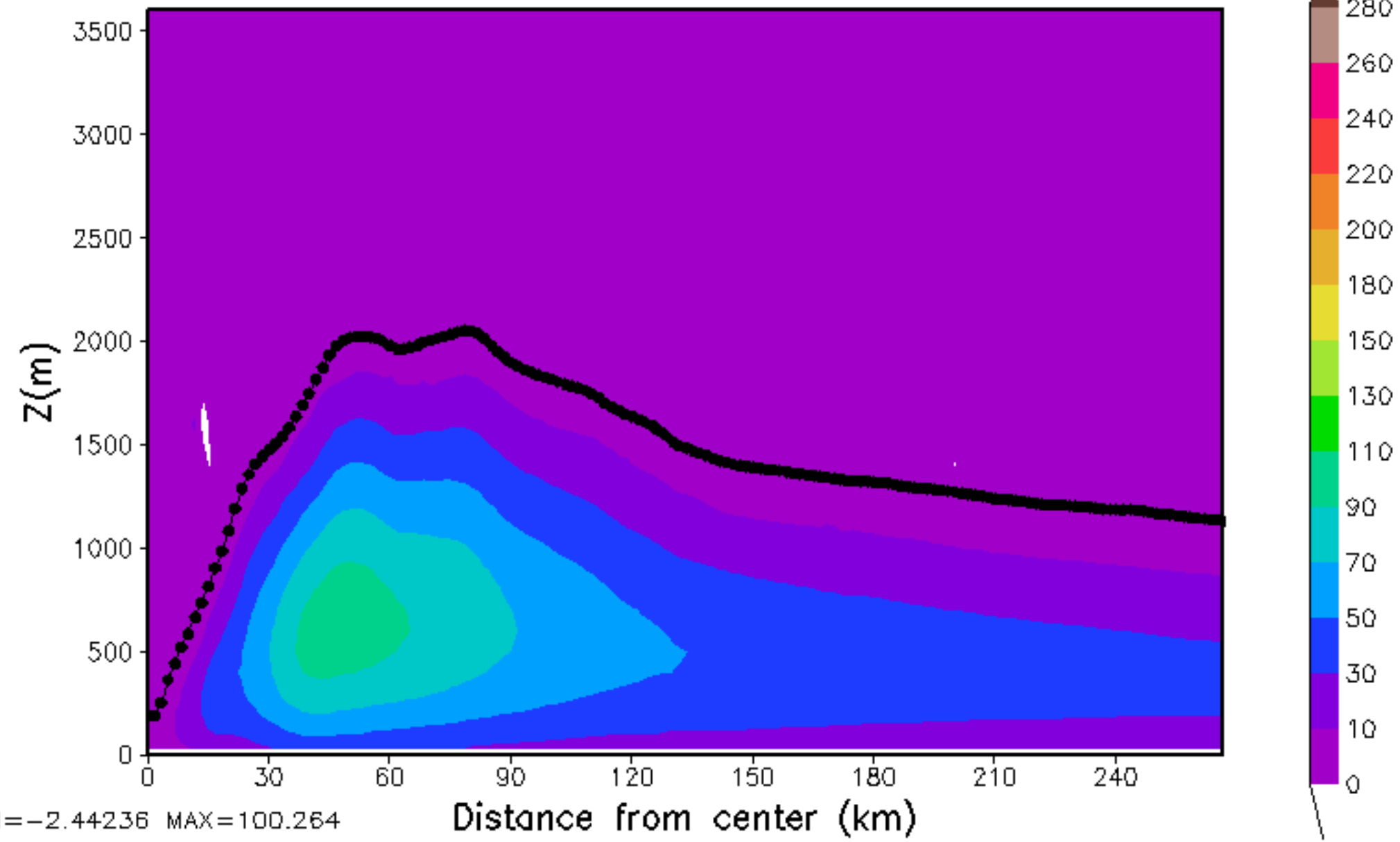
diffusion coefficient $K_h(m^2/s)$, HR114MM00



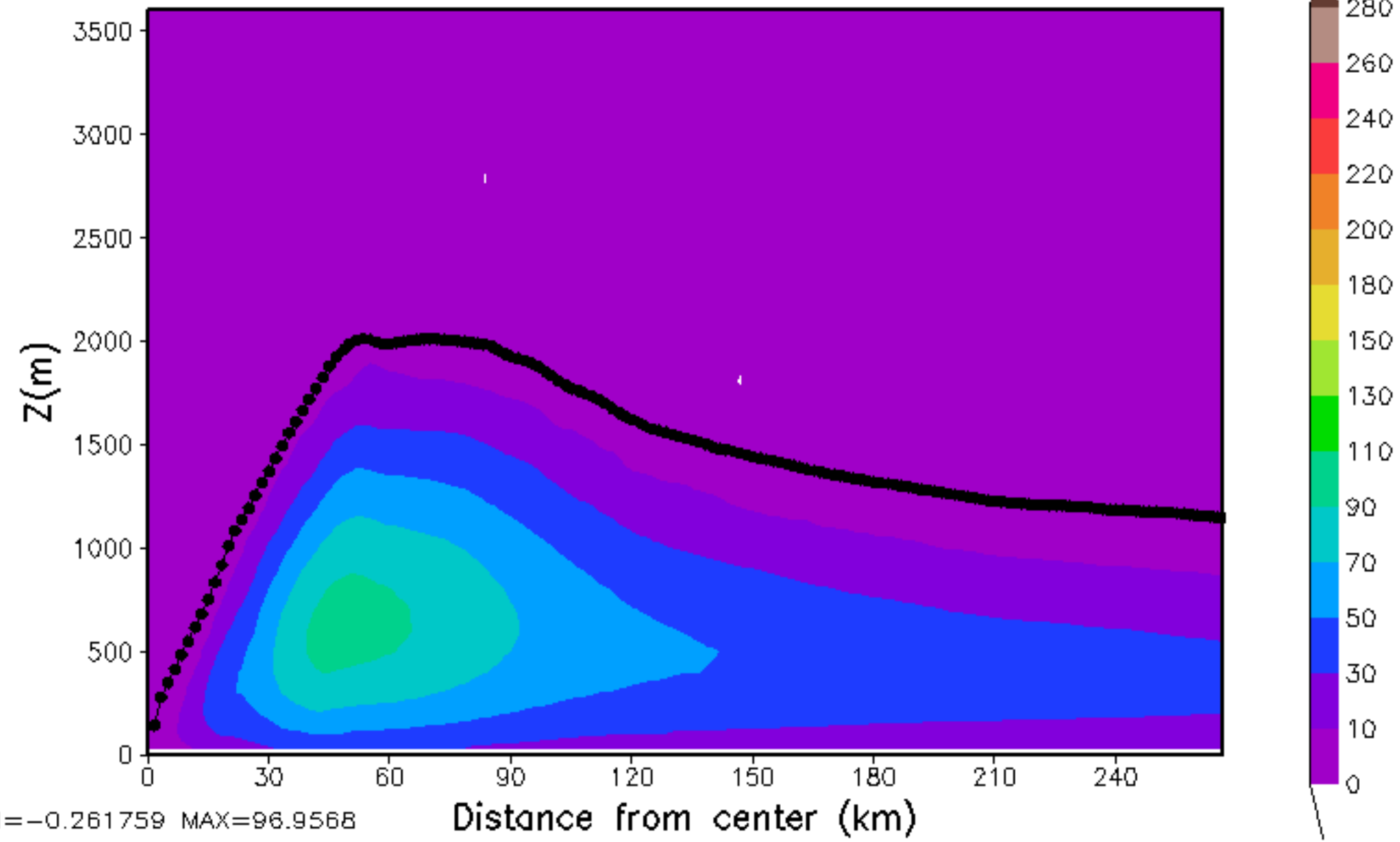
diffusion coefficient $K_h(m^2/s)$, HR117MM00



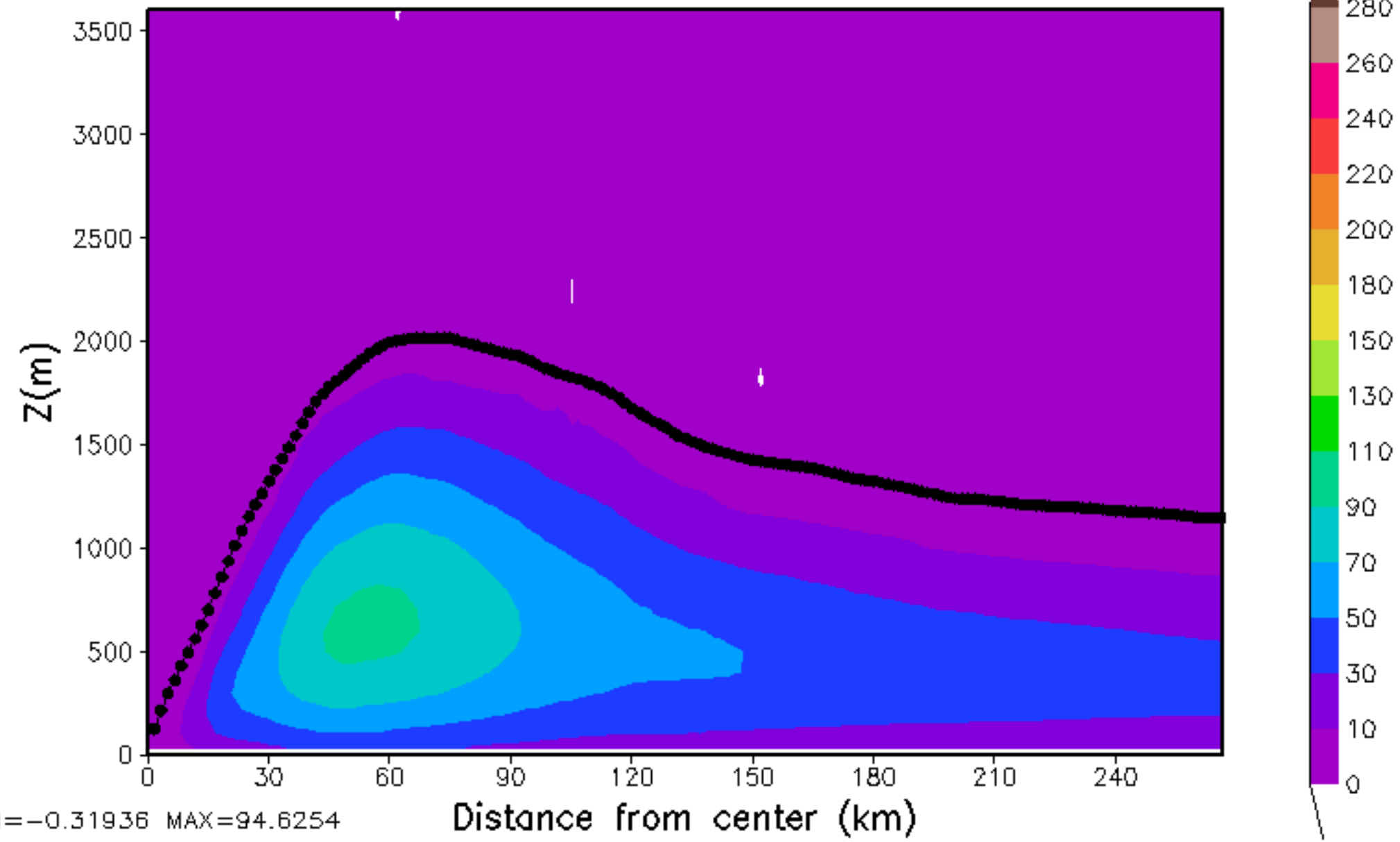
diffusion coefficient $K_h(m^2/s)$, HR120MM00



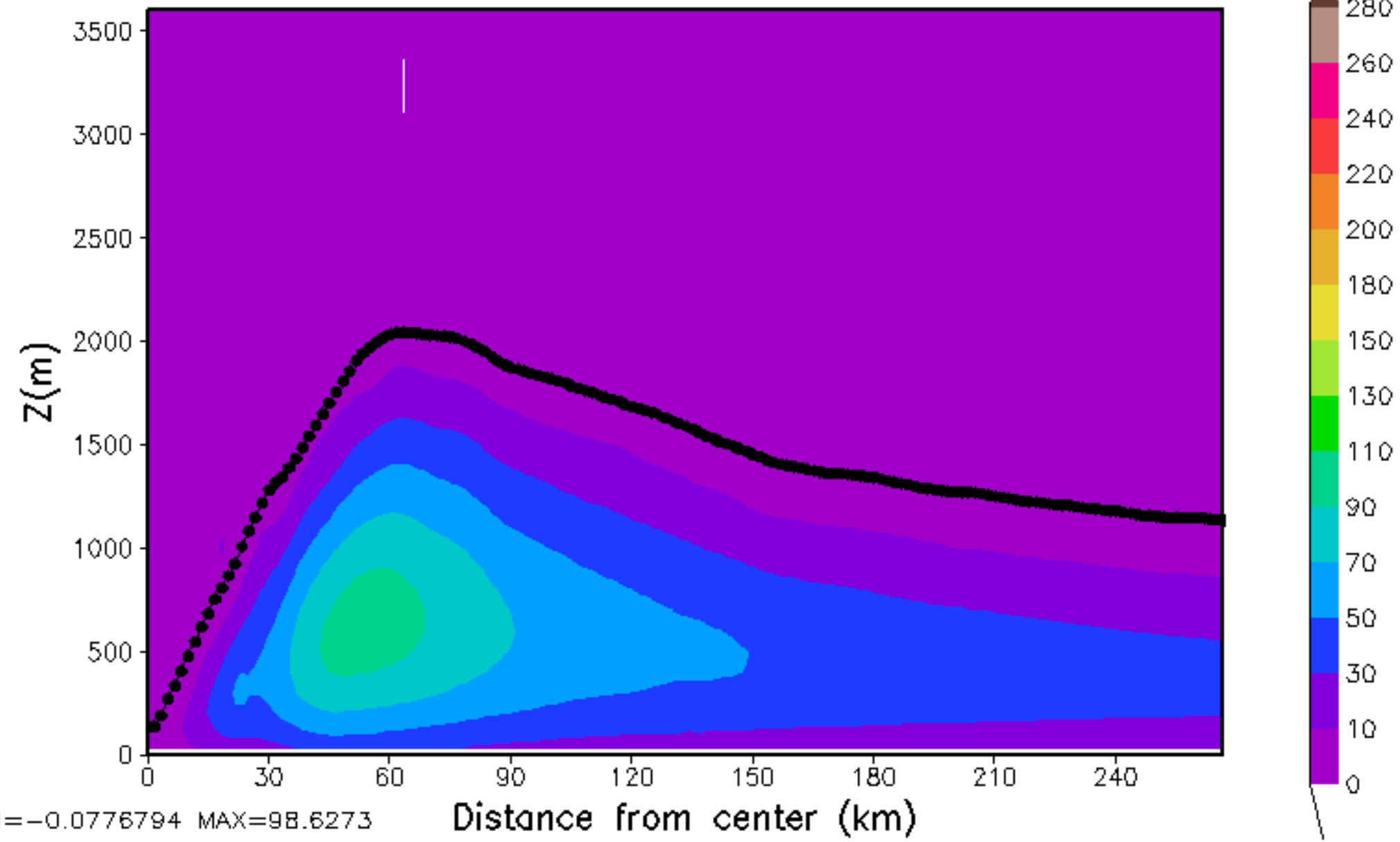
diffusion coefficient $K_h(m^2/s)$, HR123MM00



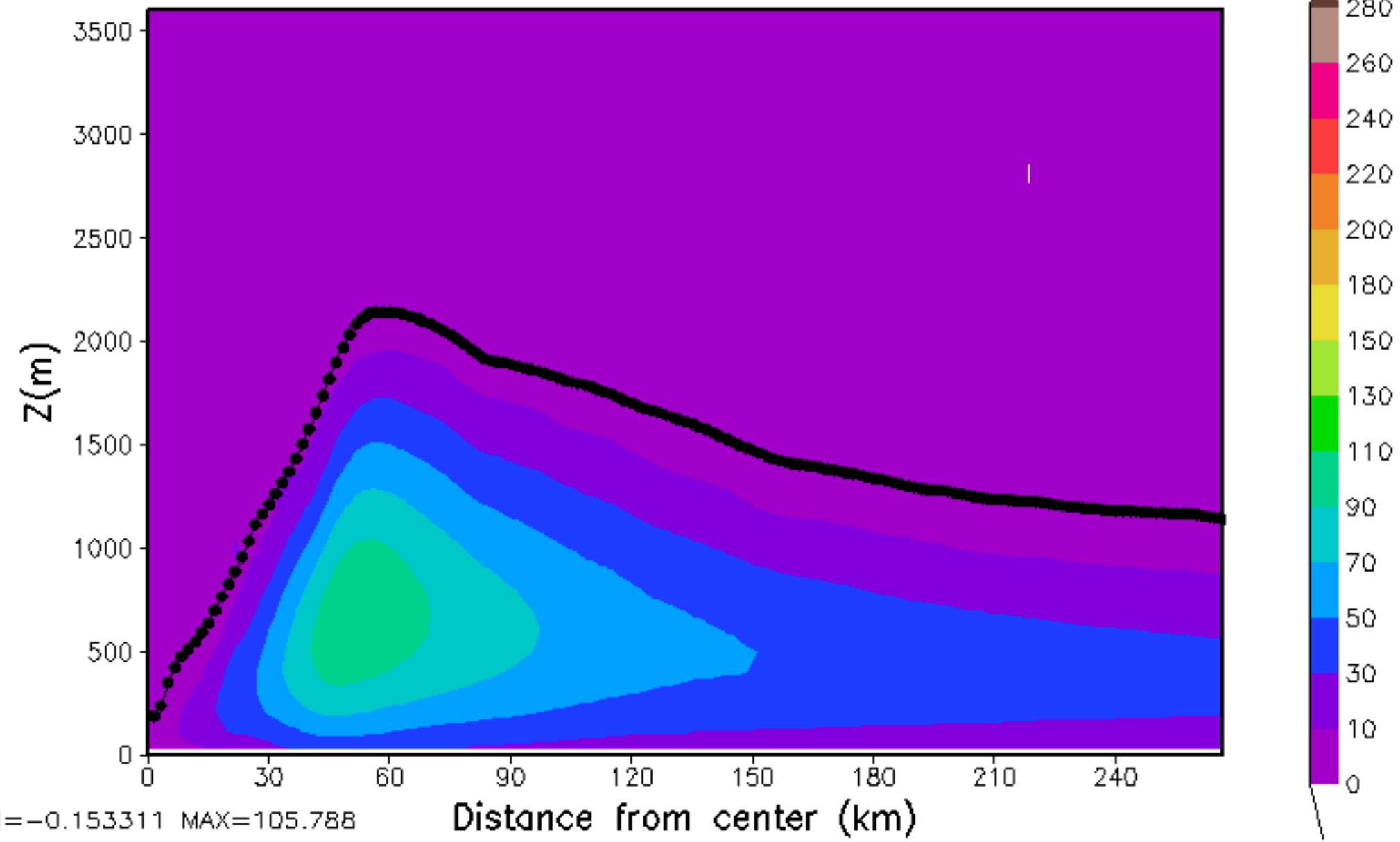
diffusion coefficient $K_h(m^2/s)$, HR126MM00



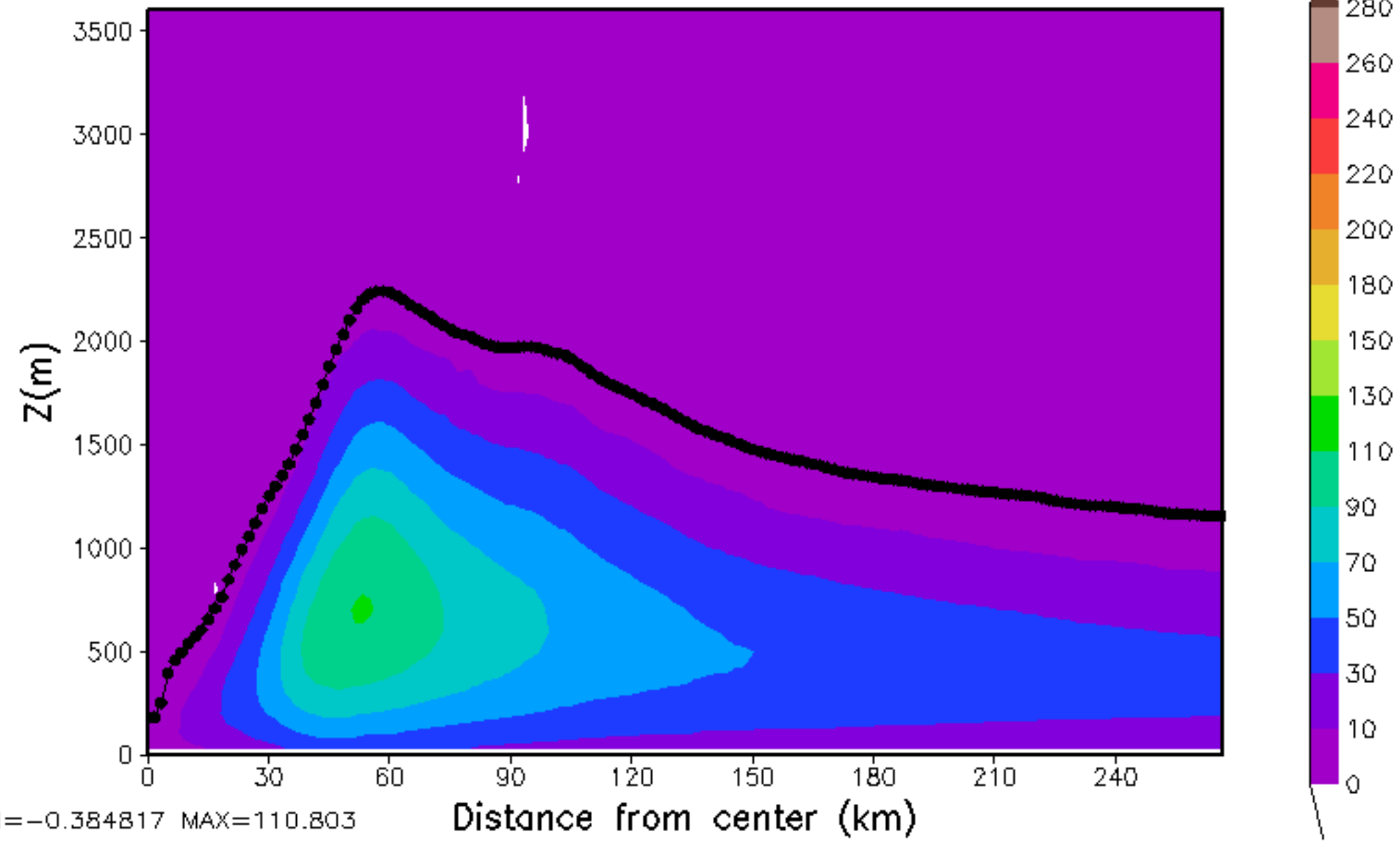
diffusion coefficient $K_h(m^2/s)$, HR129MM00



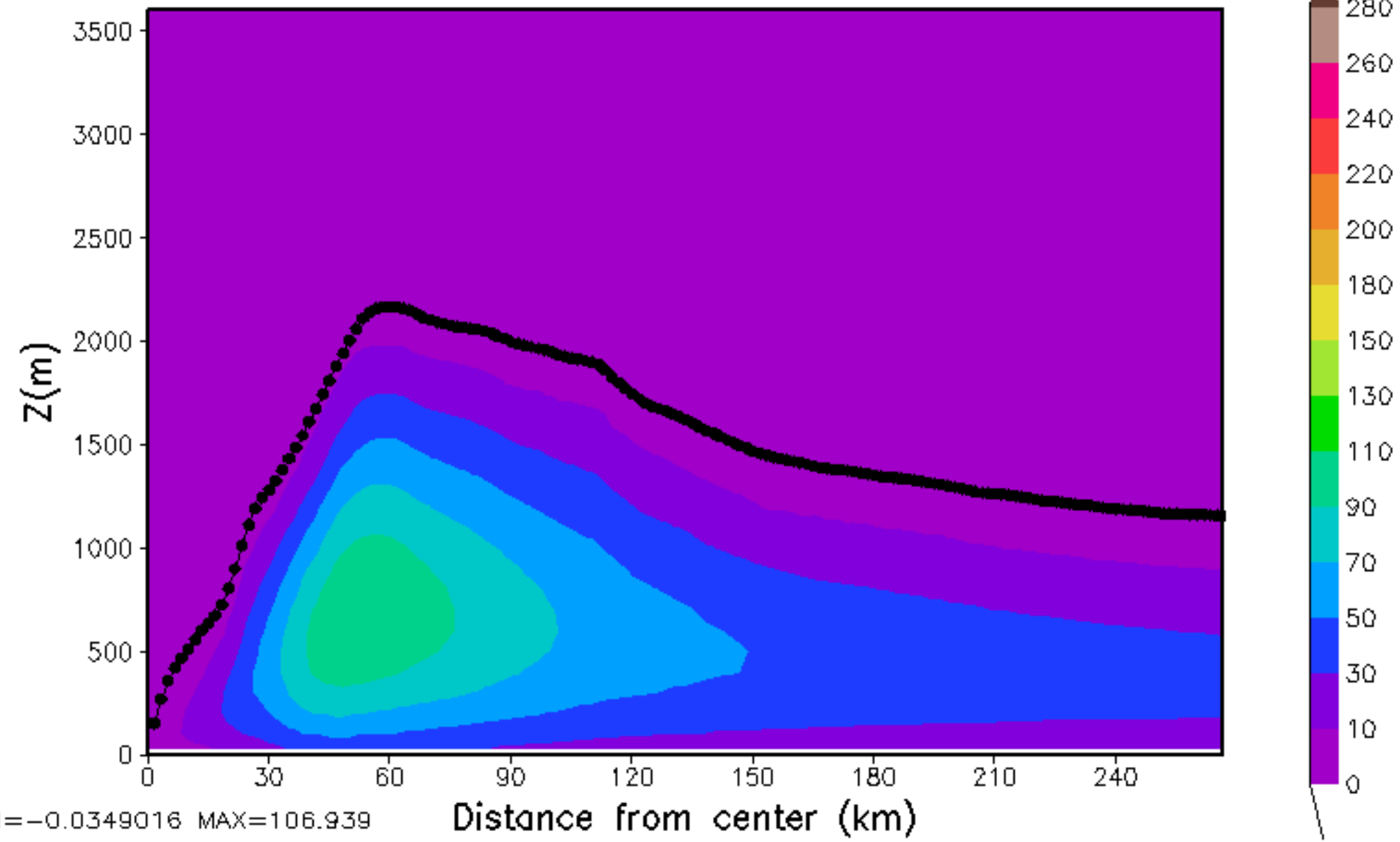
diffusion coefficient $K_h(m^2/s)$, HR132MM00



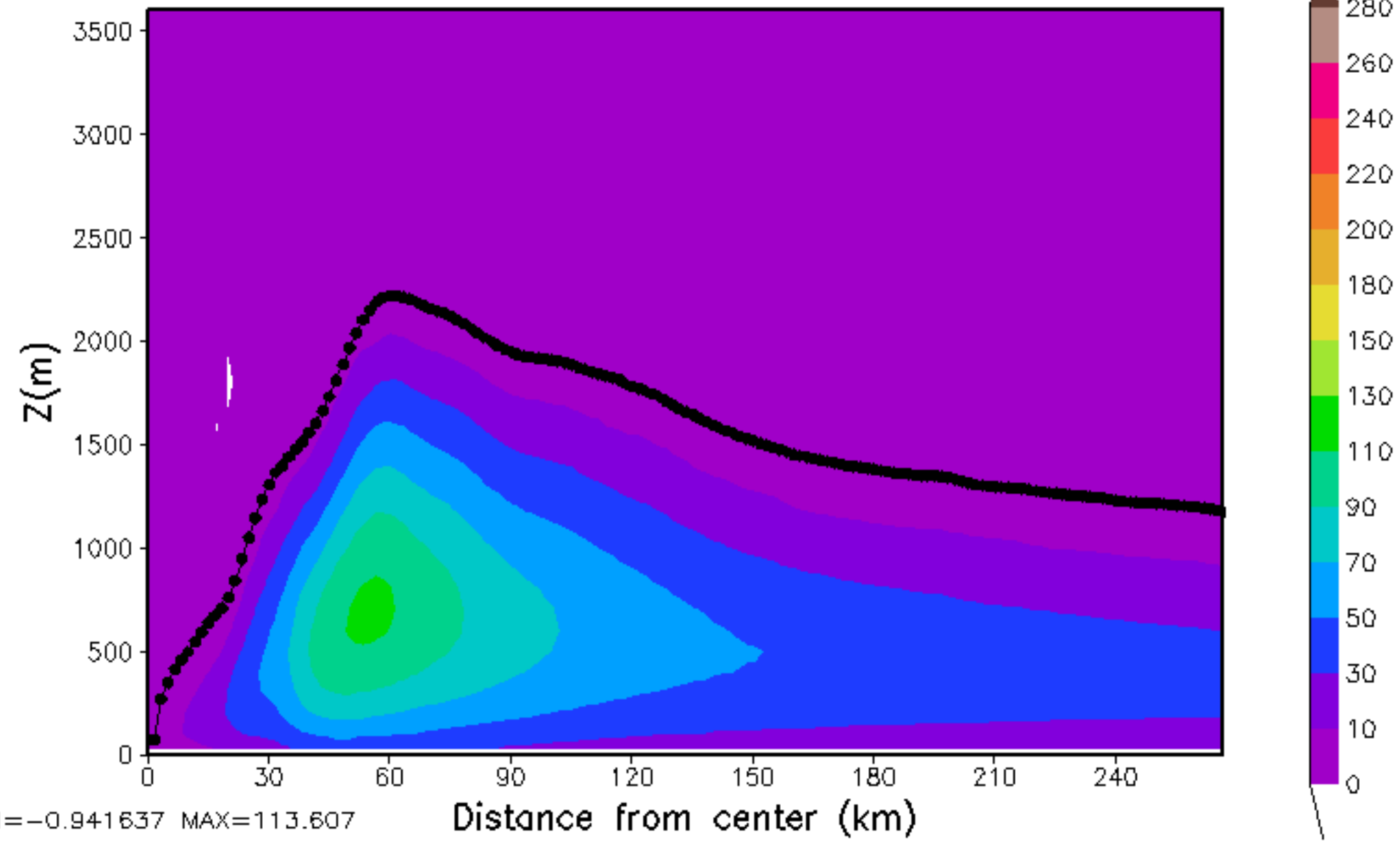
diffusion coefficient $K_h(m^2/s)$, HR135MM00



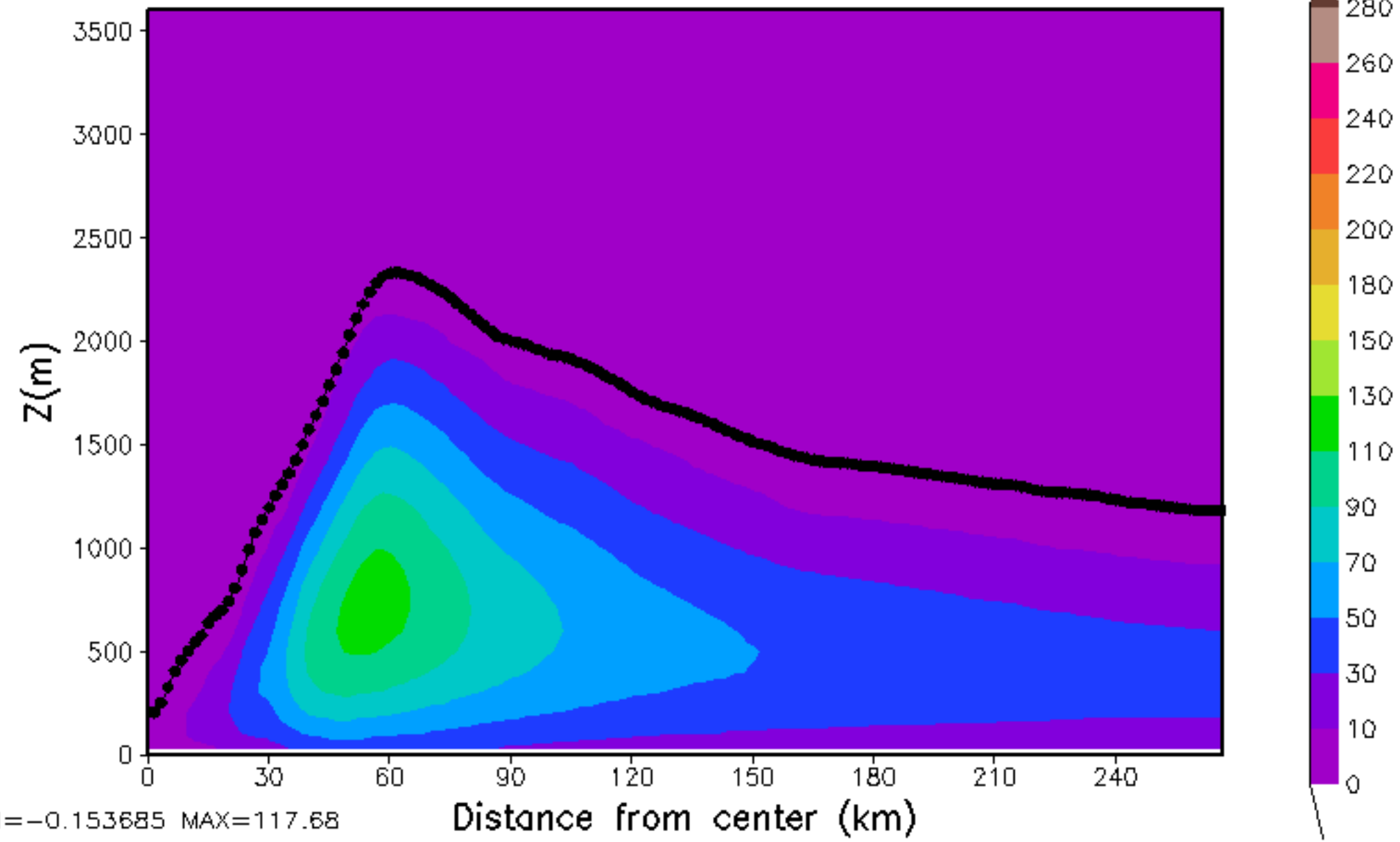
diffusion coefficient $K_h(m^2/s)$, HR138MM00



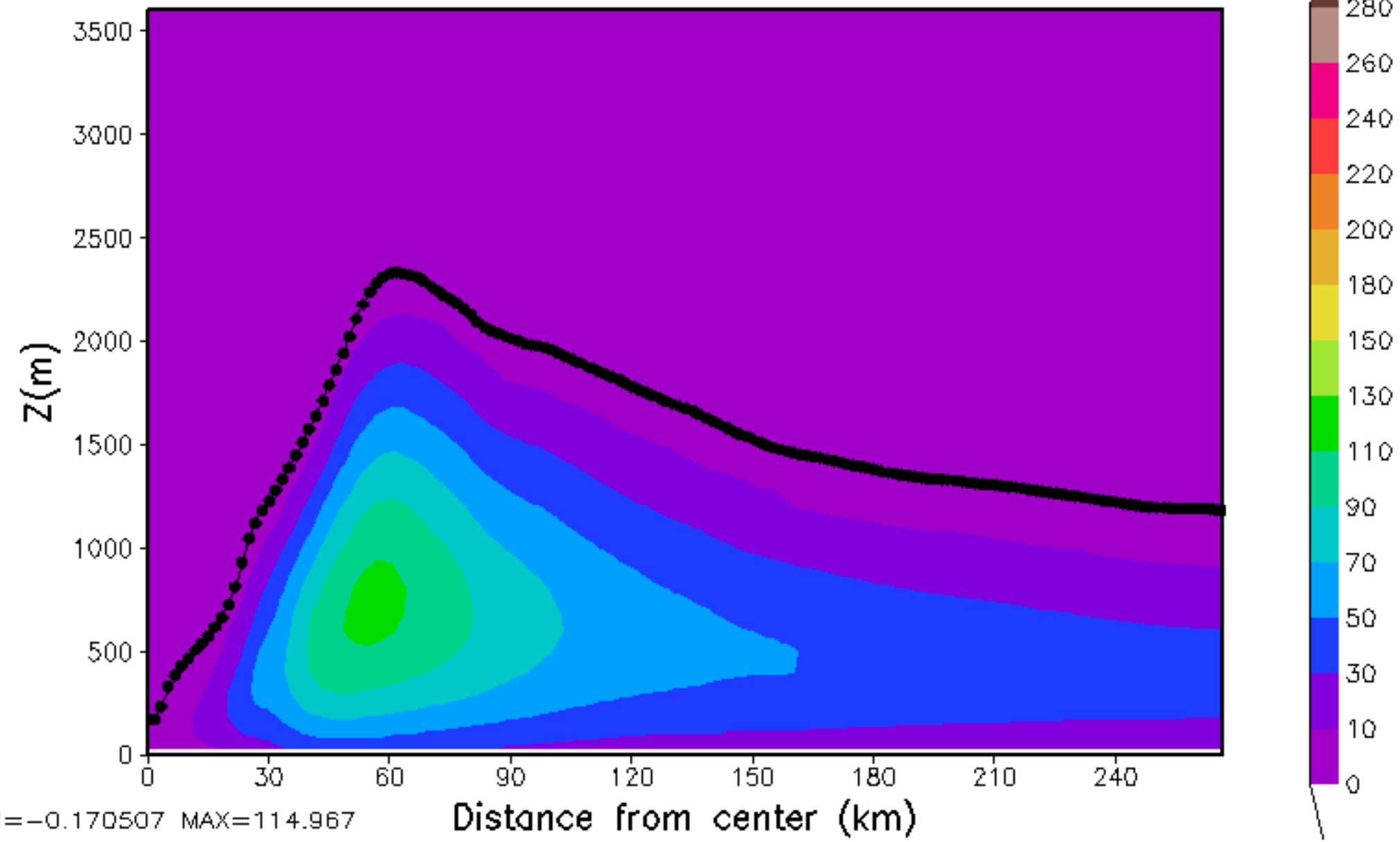
diffusion coefficient $K_h(m^2/s)$, HR141MM00



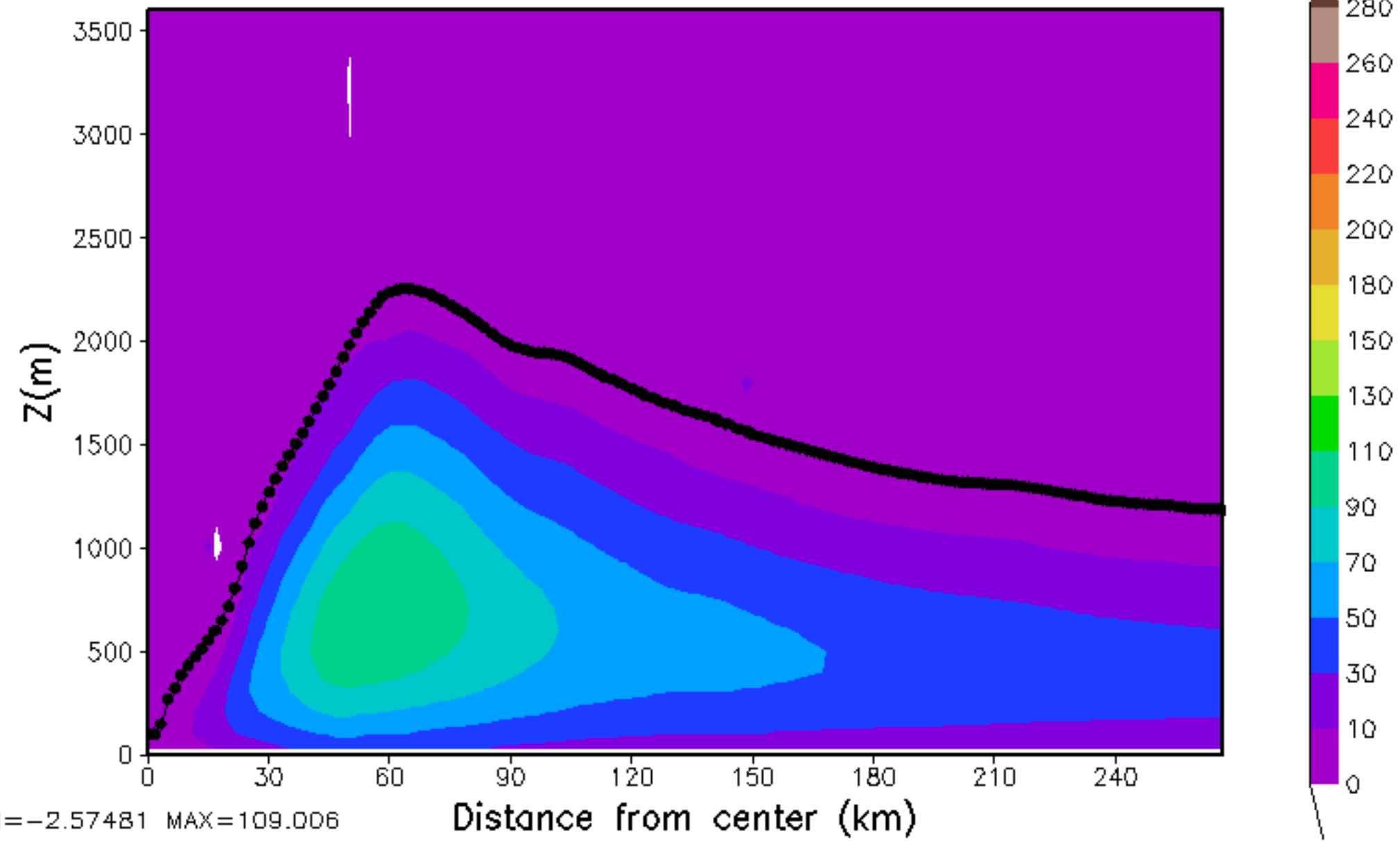
diffusion coefficient $Kh(m^2/s)$, HR144MM00



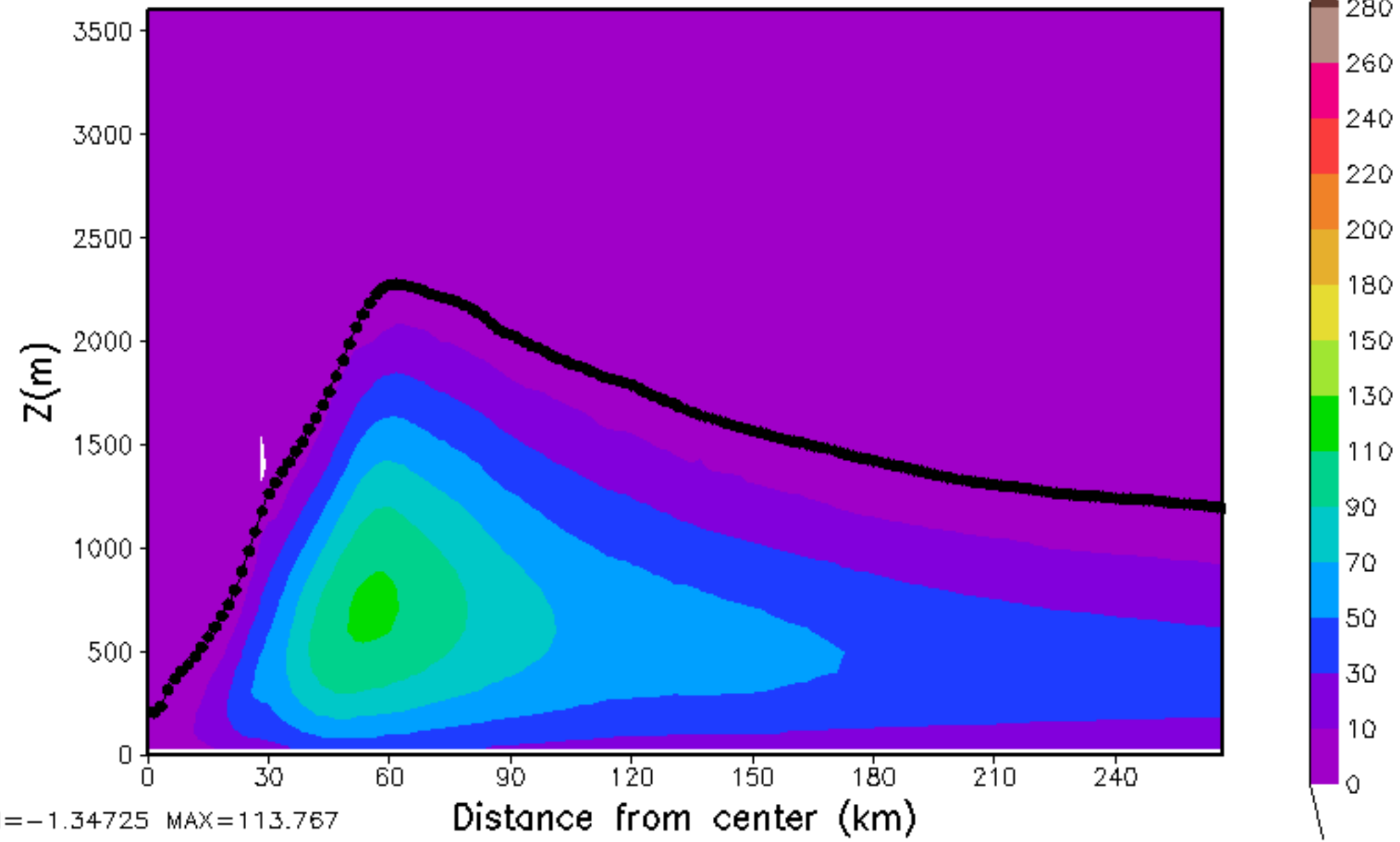
diffusion coefficient $K_h(m^2/s)$, HR147MM00



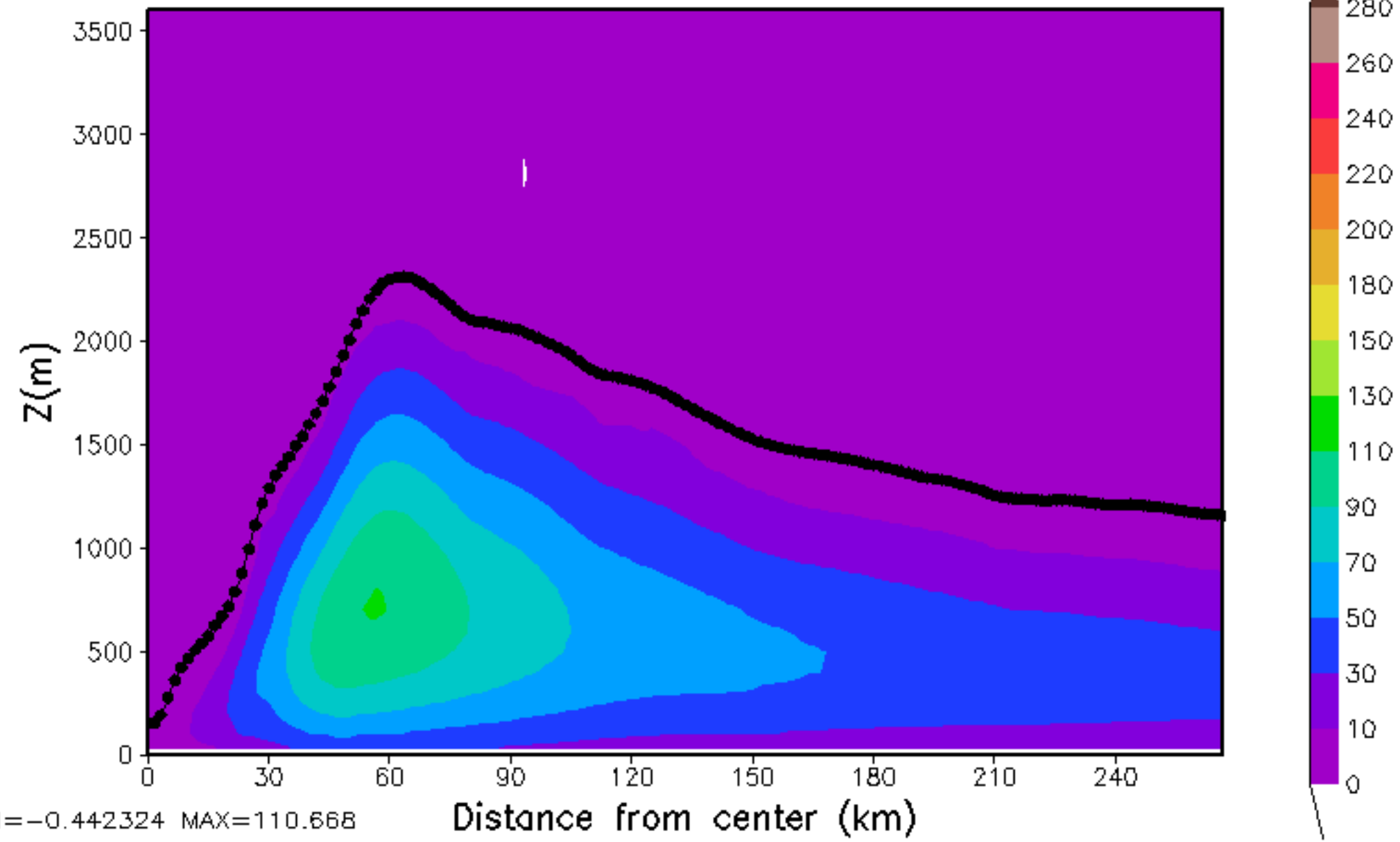
diffusion coefficient $K_h(m^2/s)$, HR150MM00



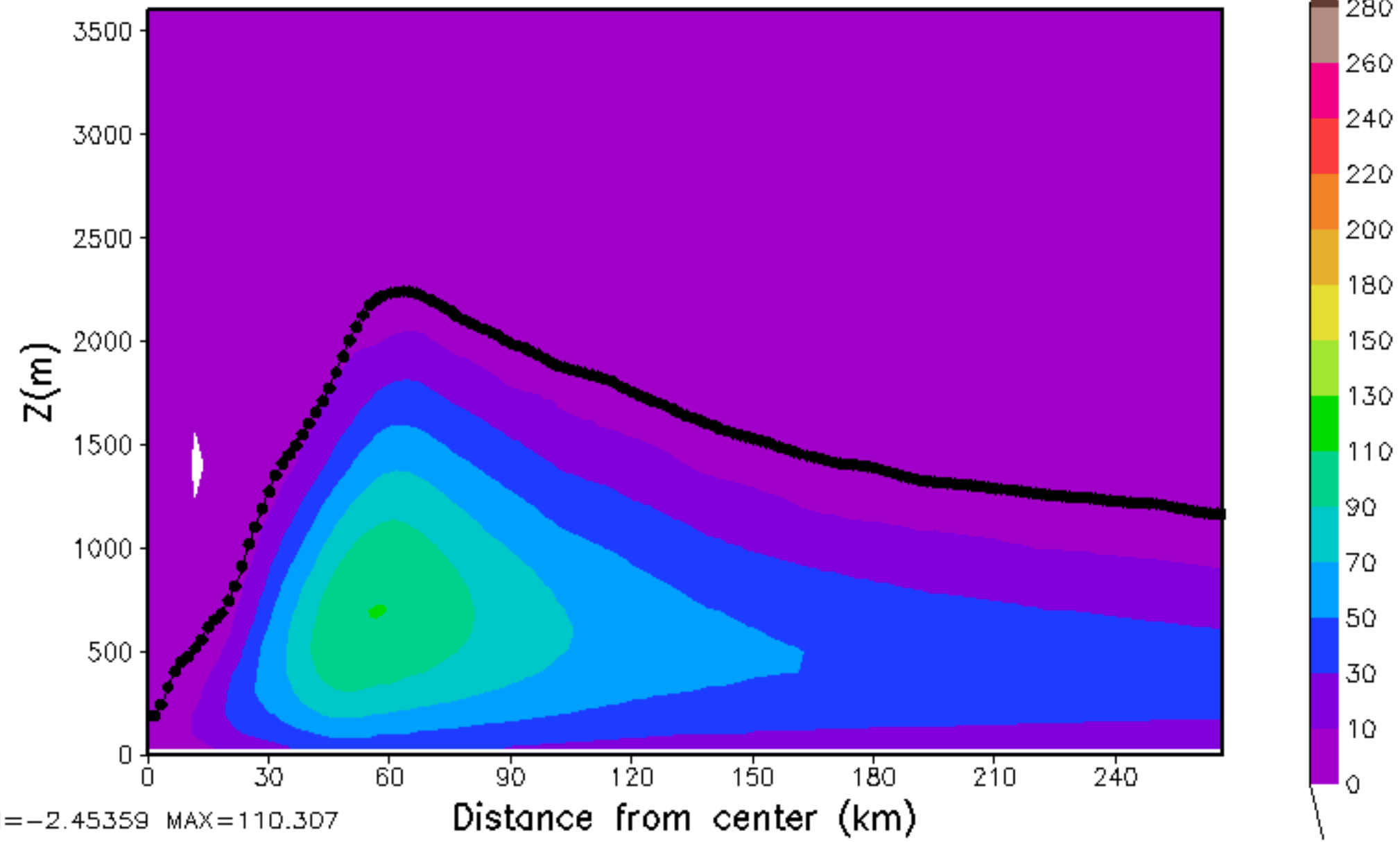
diffusion coefficient $K_h(m^2/s)$, HR153MM00



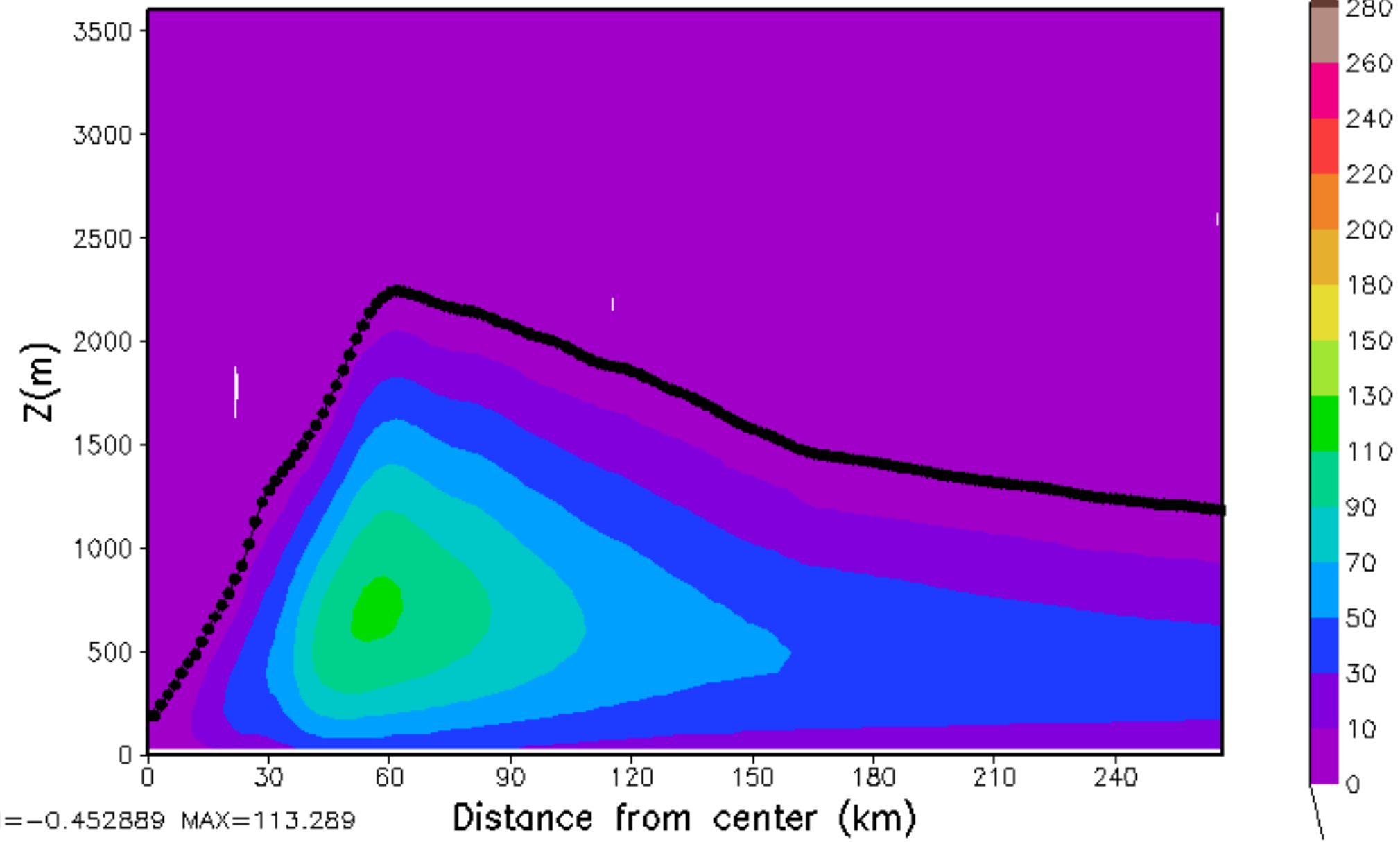
diffusion coefficient $K_h(m^2/s)$, HR156MM00



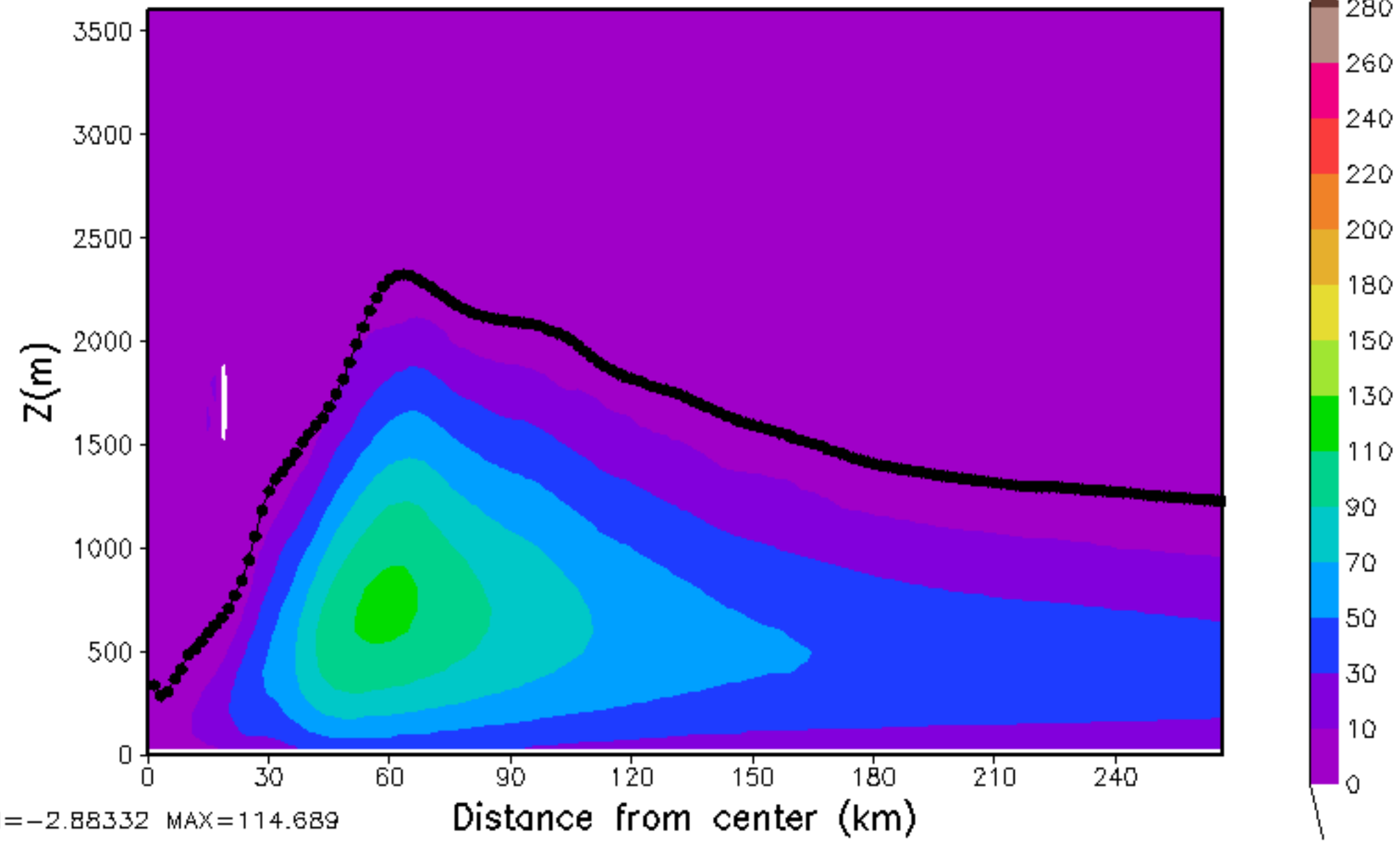
diffusion coefficient $Kh(m^2/s)$, HR159MM00



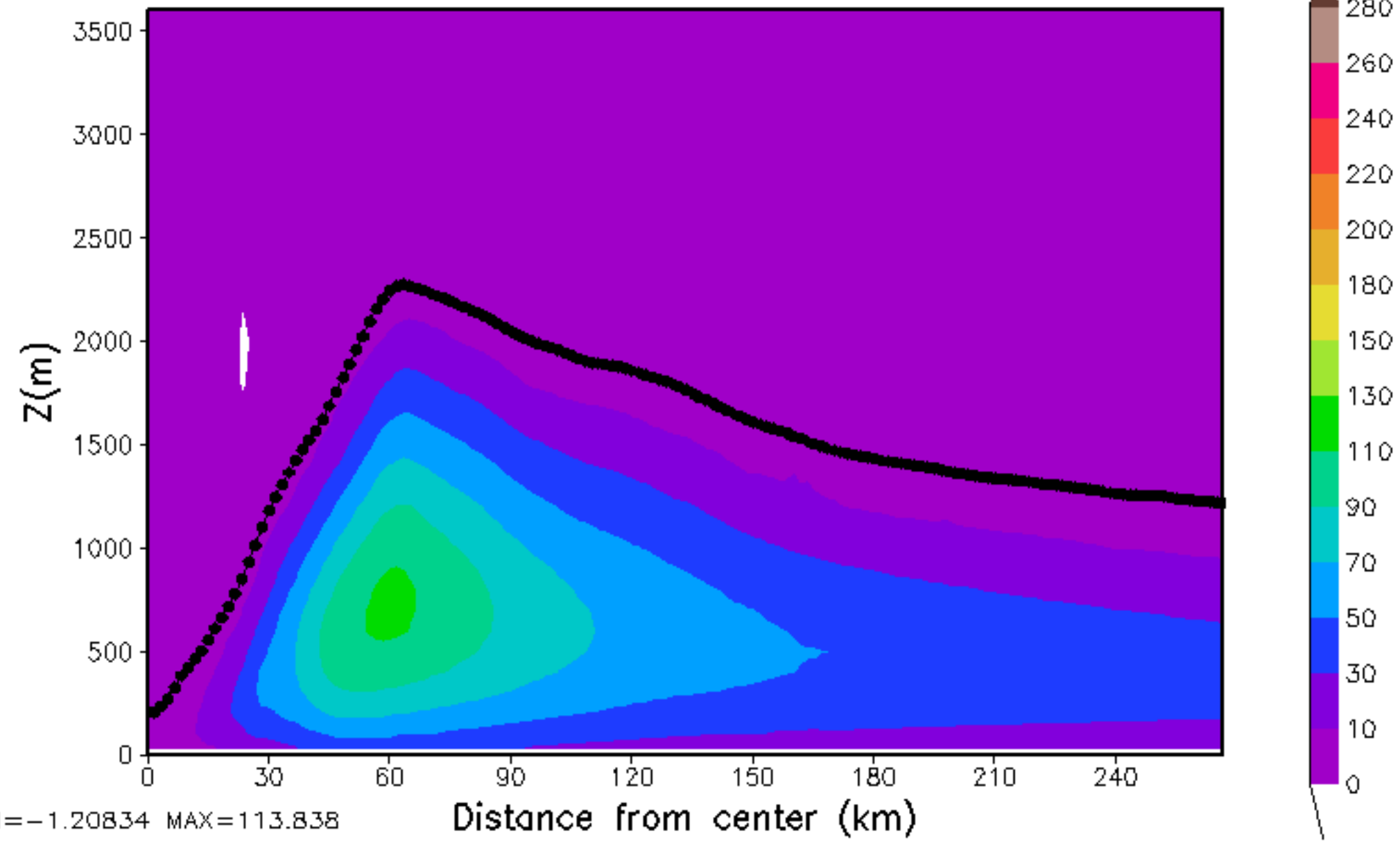
diffusion coefficient $K_h(m^2/s)$, HR162MM00



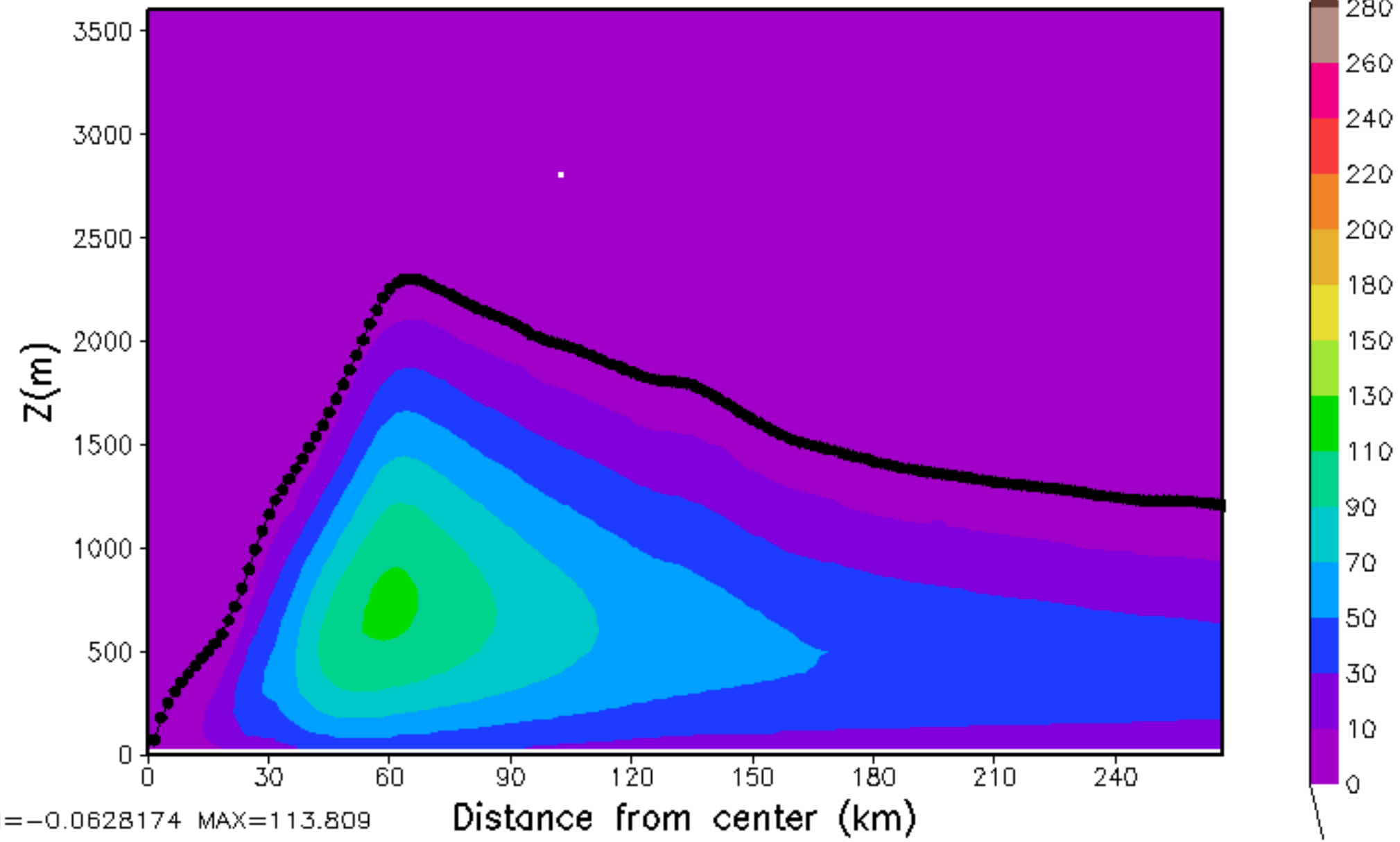
diffusion coefficient $K_h(m^2/s)$, HR165MM00



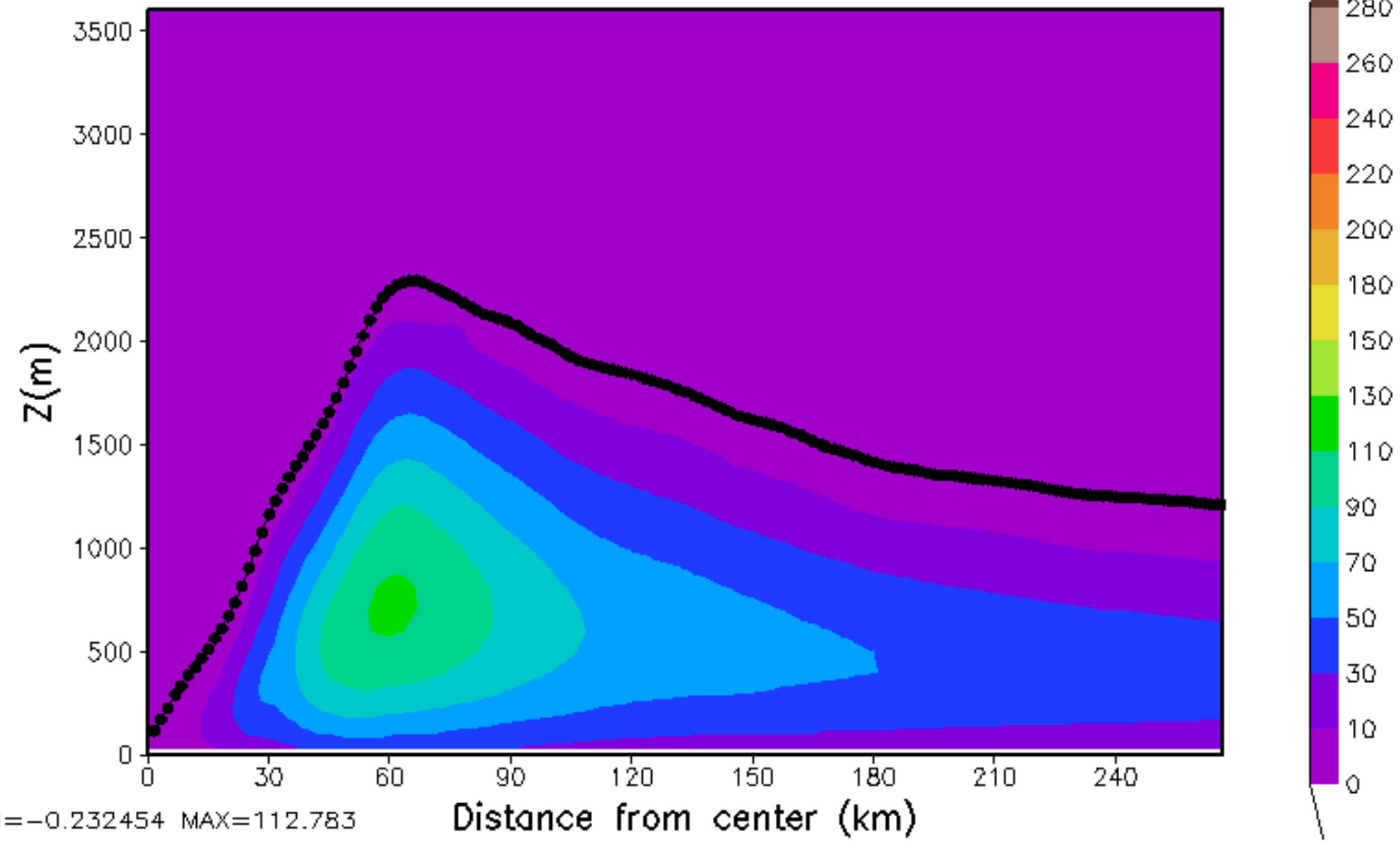
diffusion coefficient $K_h(m^2/s)$, HR168MM00



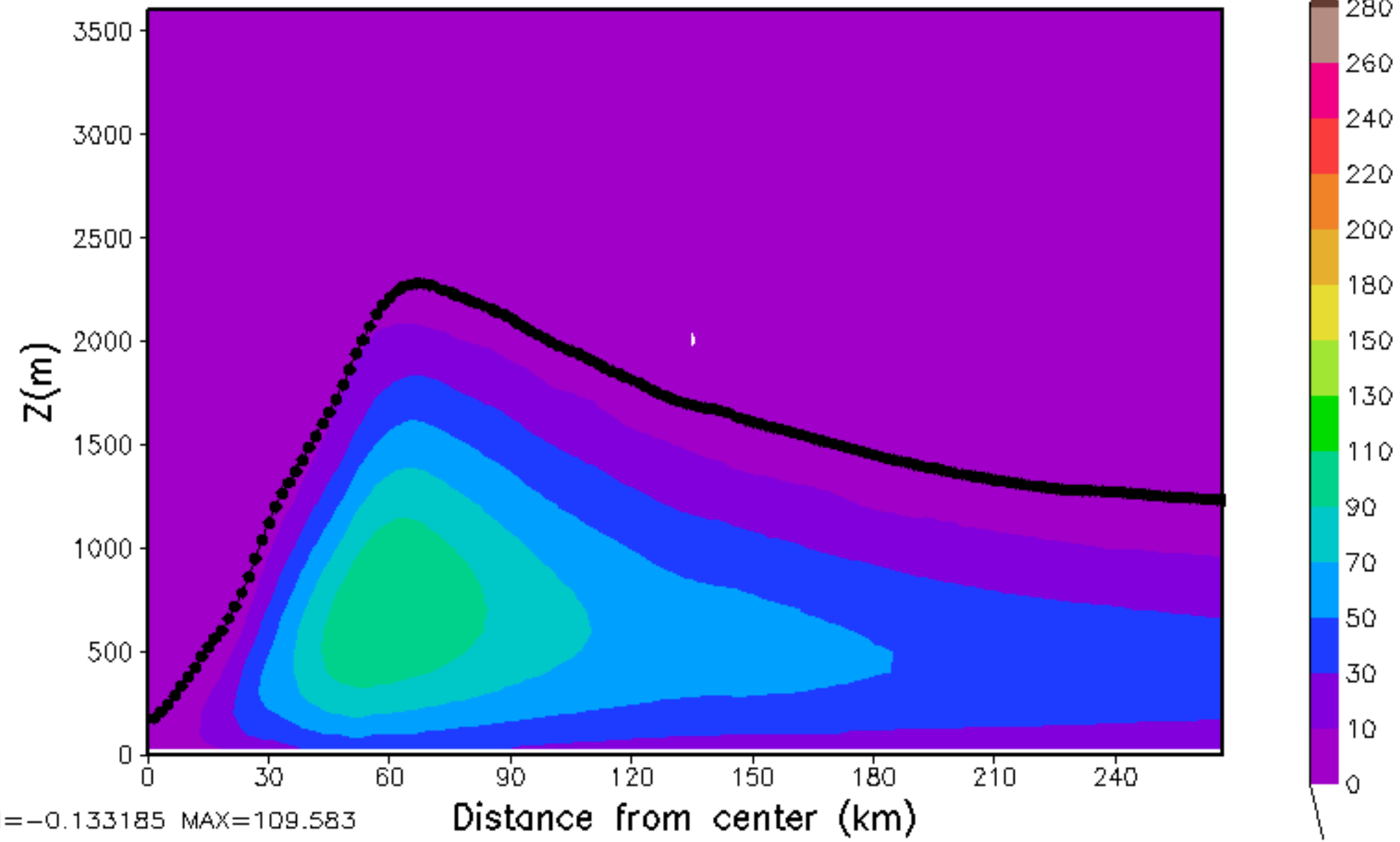
diffusion coefficient $K_h(m^2/s)$, HR171MM00



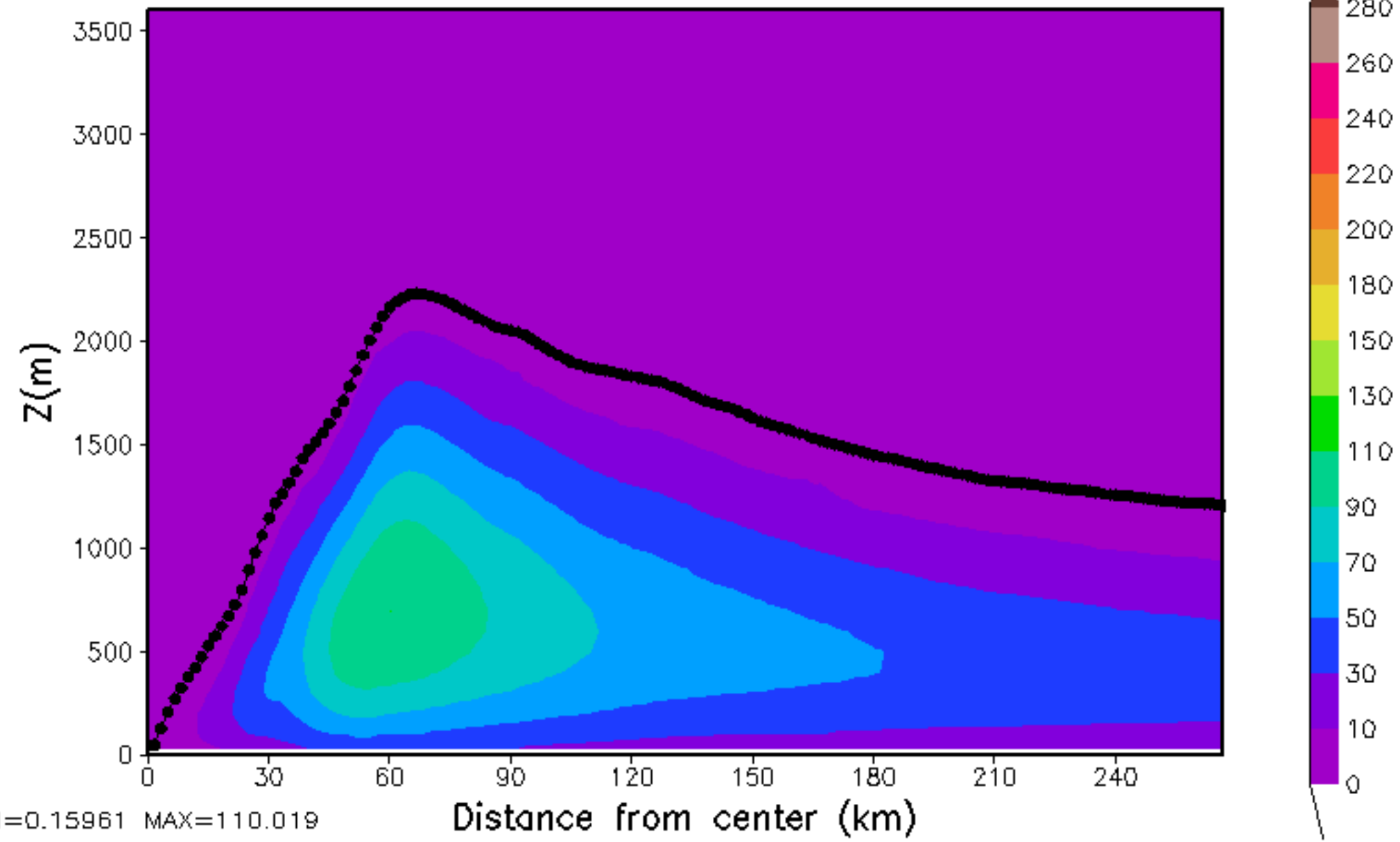
diffusion coefficient $K_h(m^2/s)$, HR174MM00



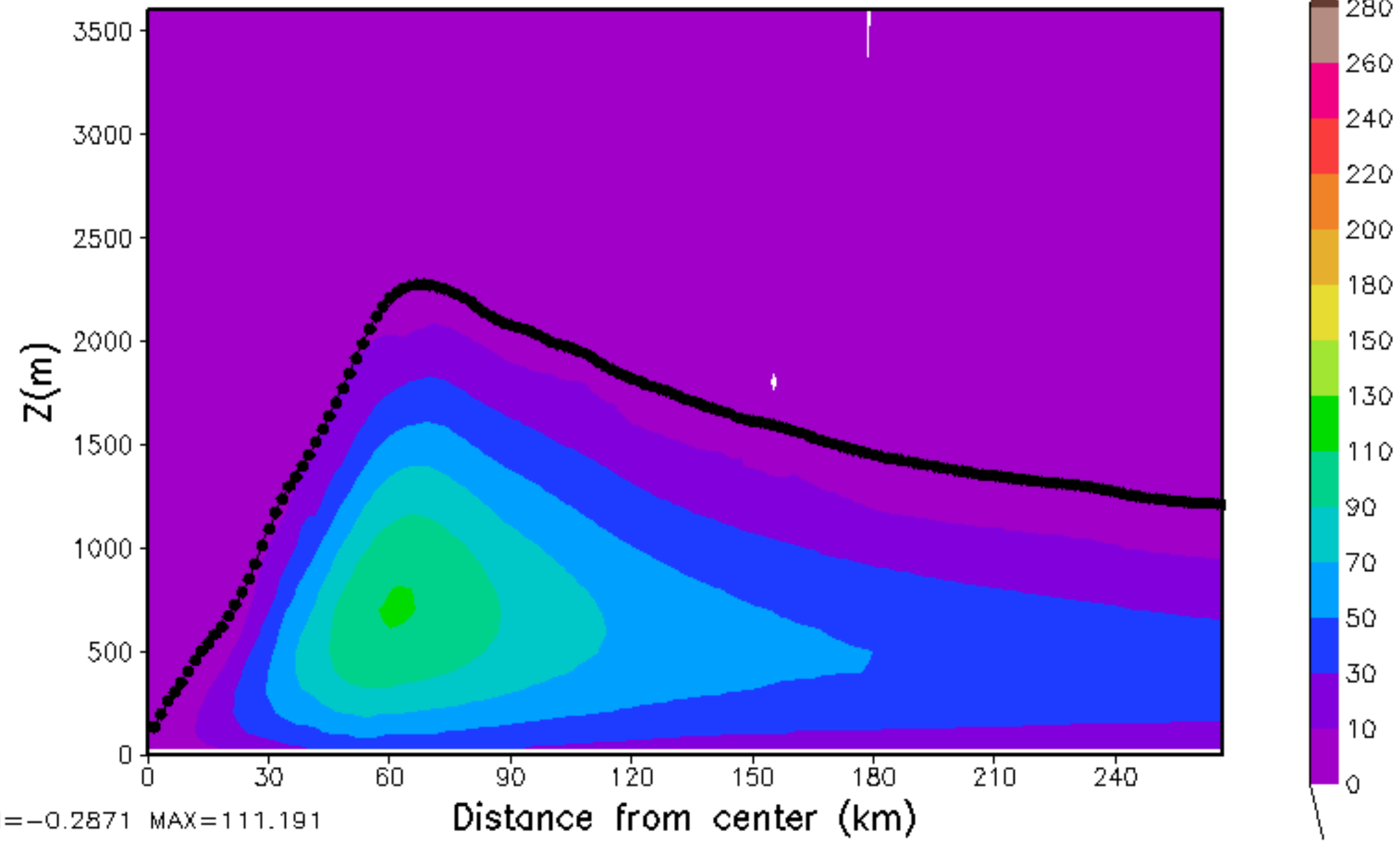
diffusion coefficient $Kh(m^2/s)$, HR177MM00



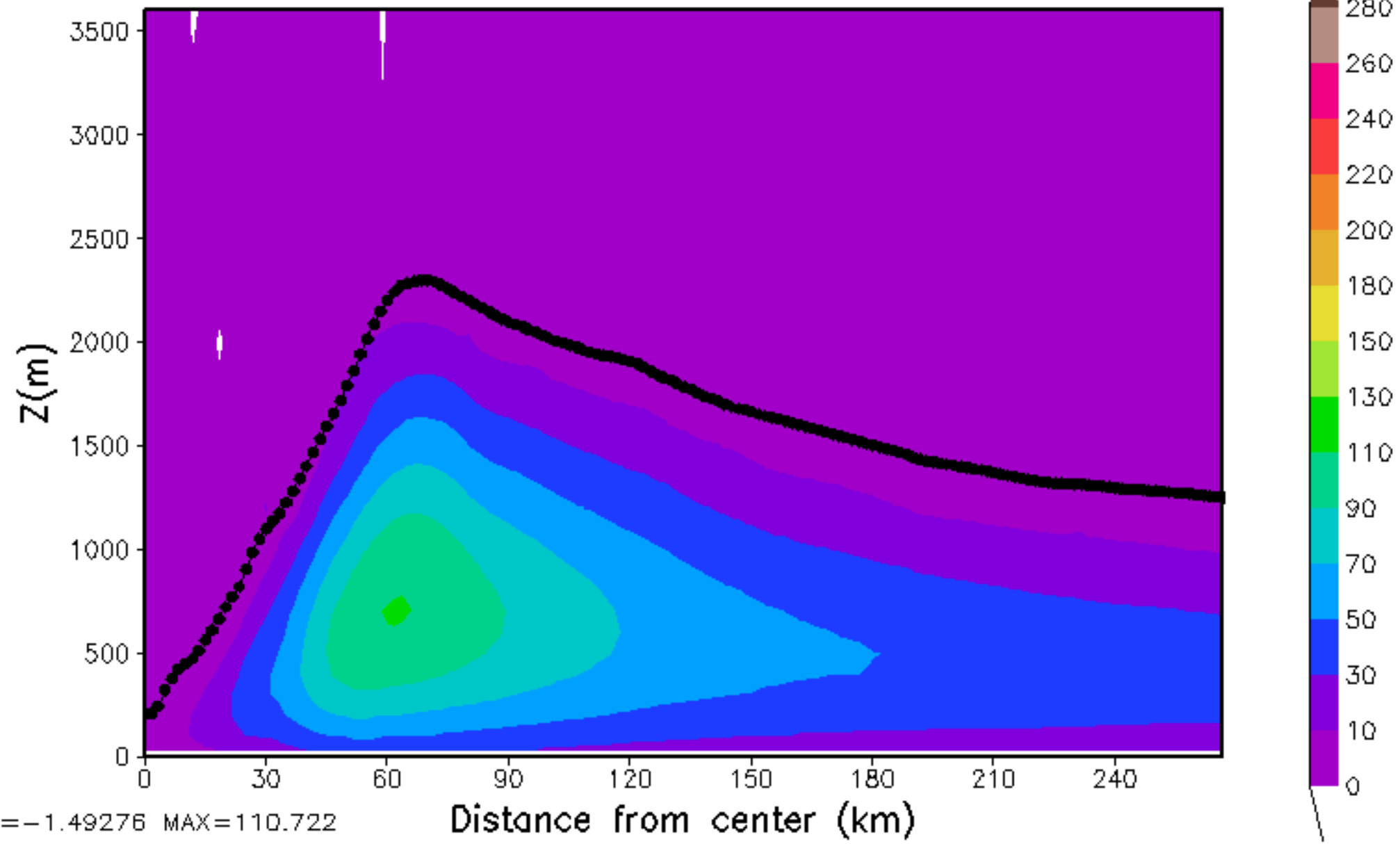
diffusion coefficient $K_h(m^2/s)$, HR180MM00



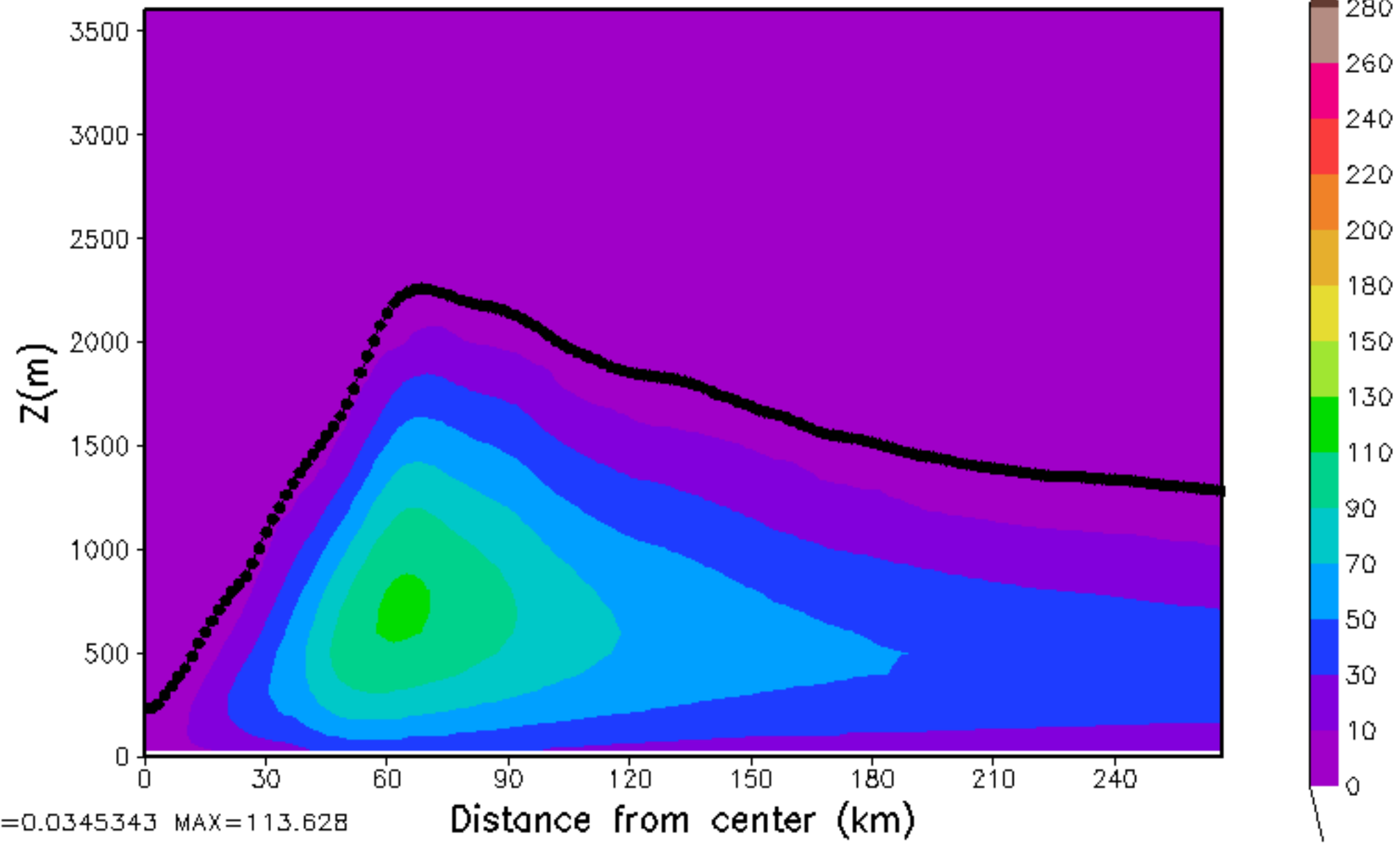
diffusion coefficient $K_h(m^2/s)$, HR183MM00



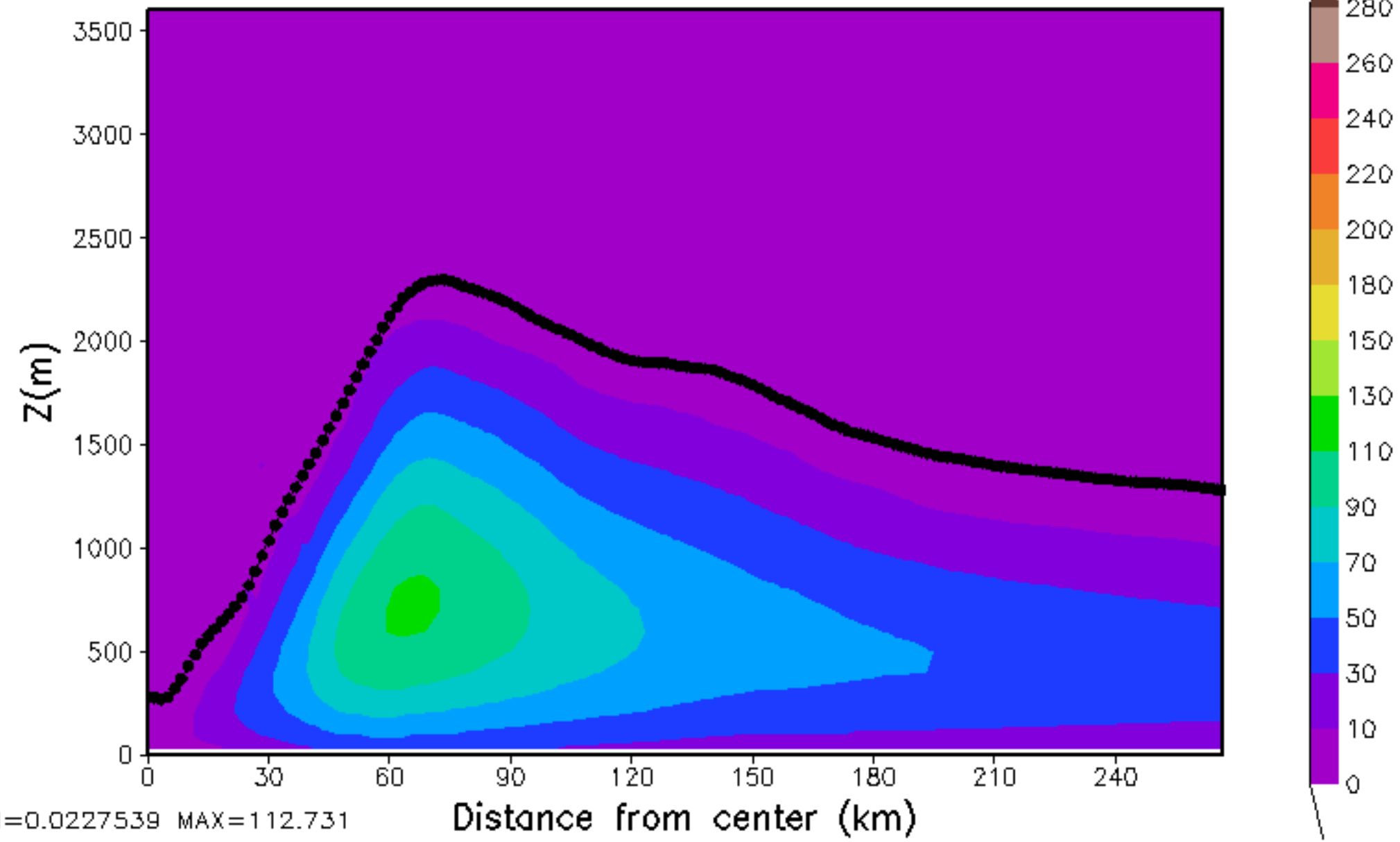
diffusion coefficient $K_h(m^2/s)$, HR186MM00



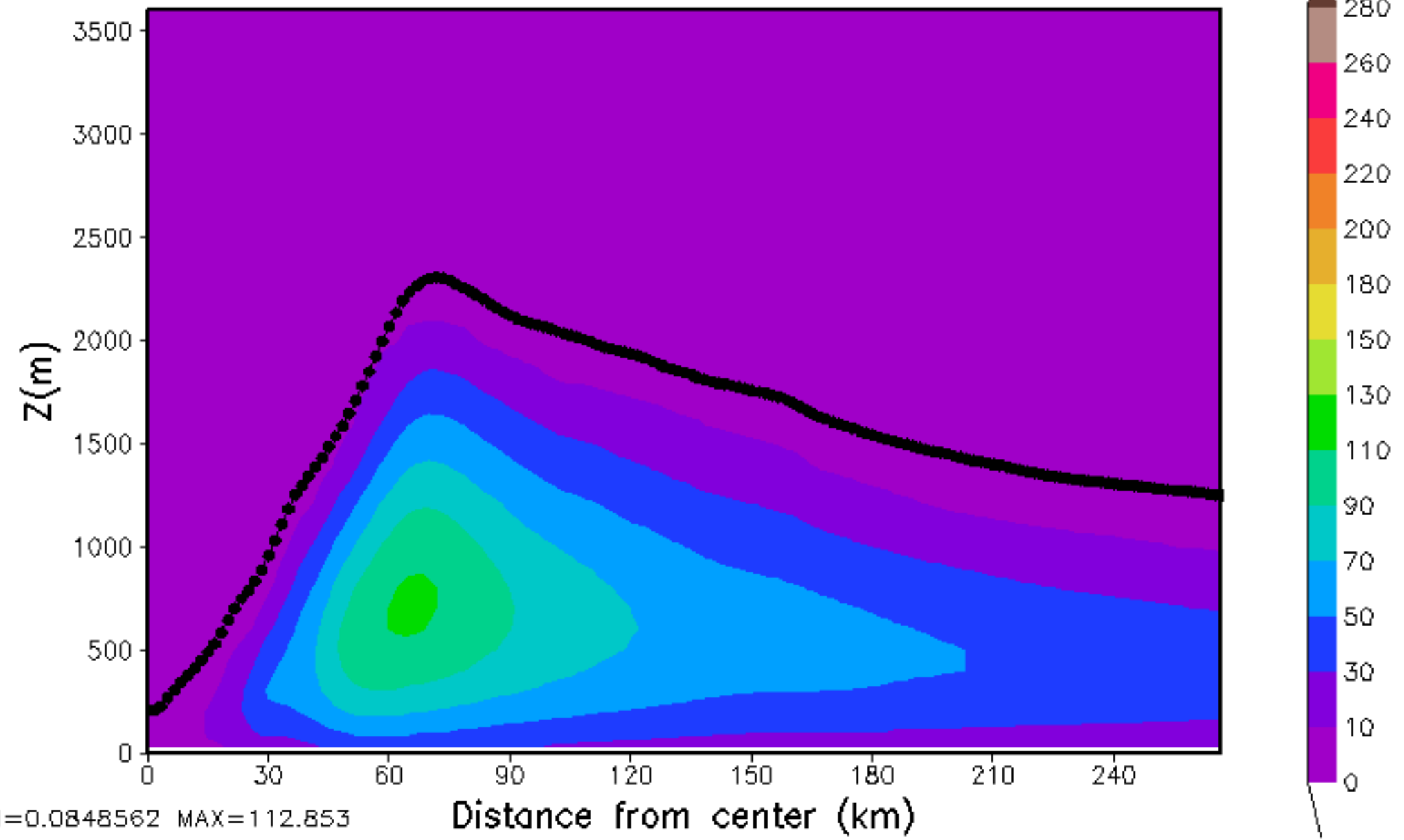
diffusion coefficient $K_h(m^2/s)$, HR189MM00



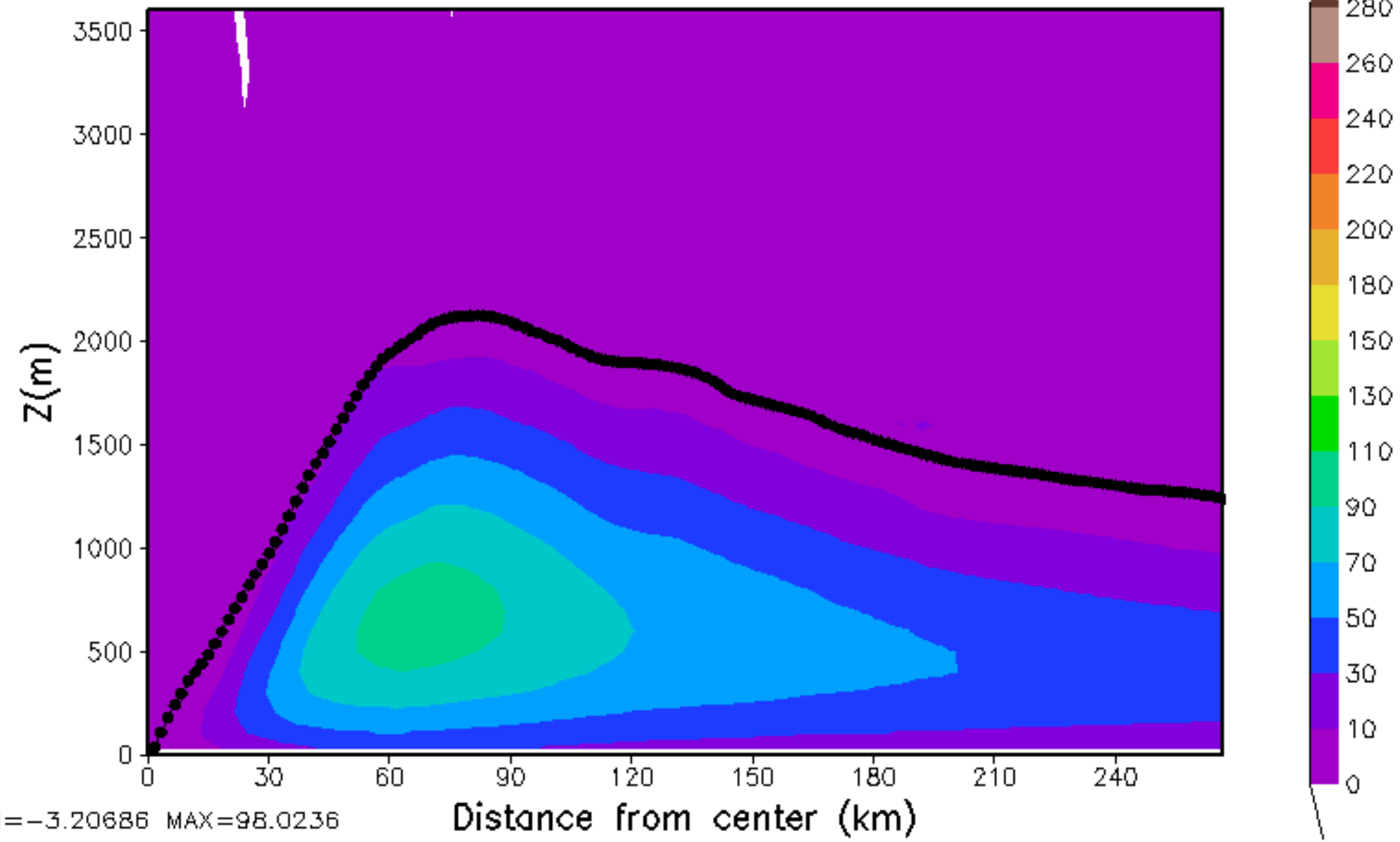
diffusion coefficient $K_h(m^2/s)$, HR192MM00



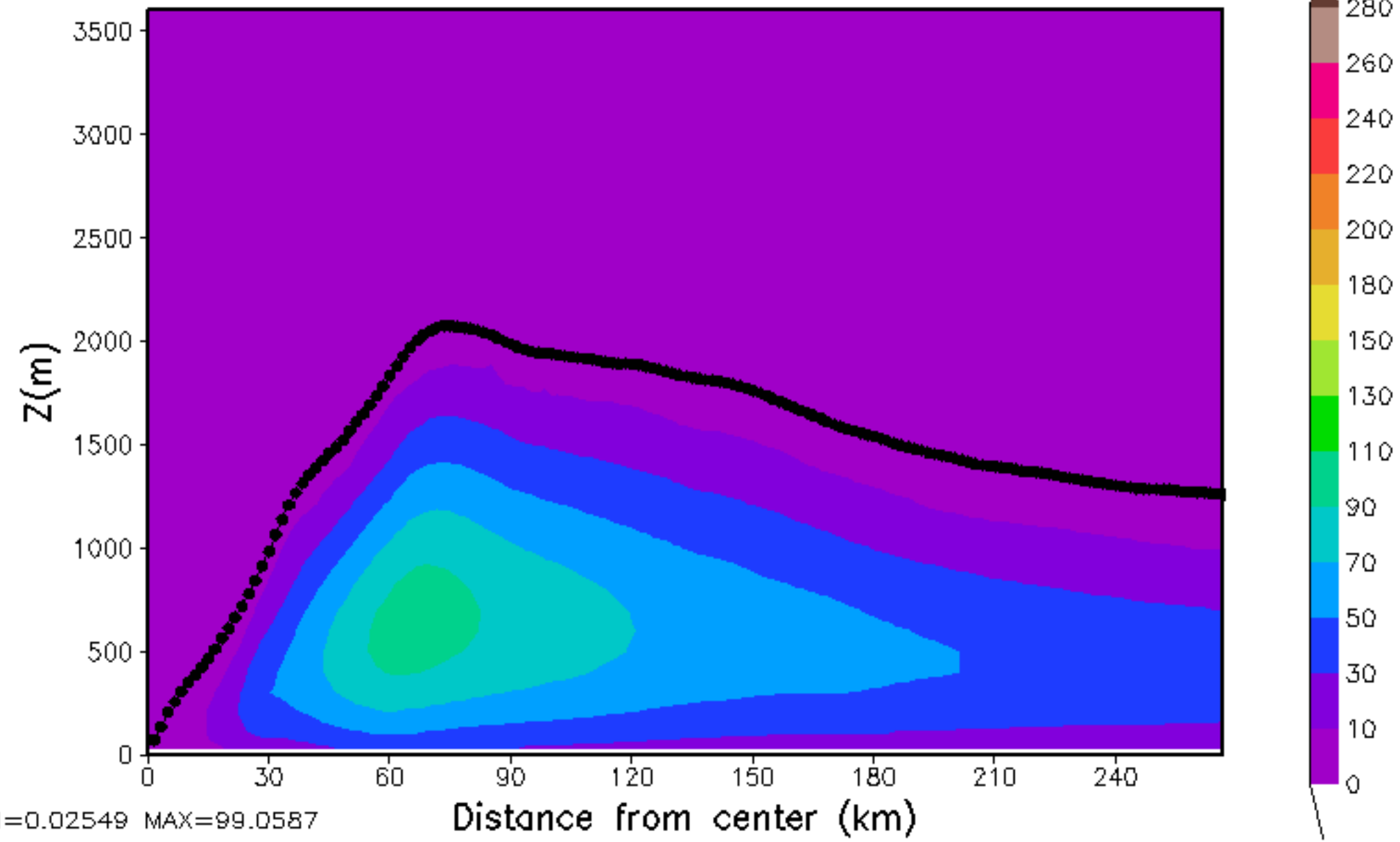
diffusion coefficient $Kh(m^2/s)$, HR195MM00



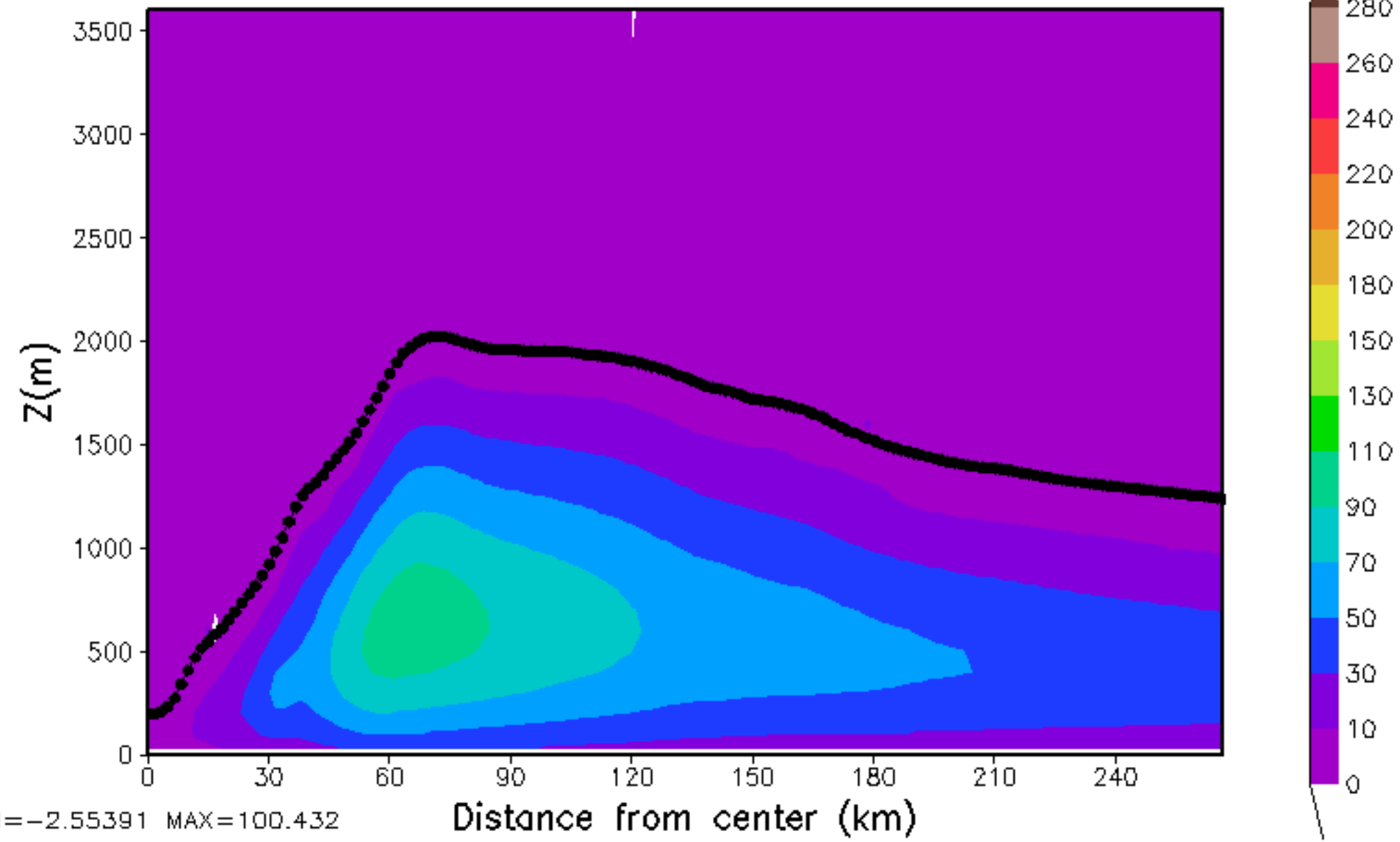
diffusion coefficient $K_h(m^2/s)$, HR198MM00



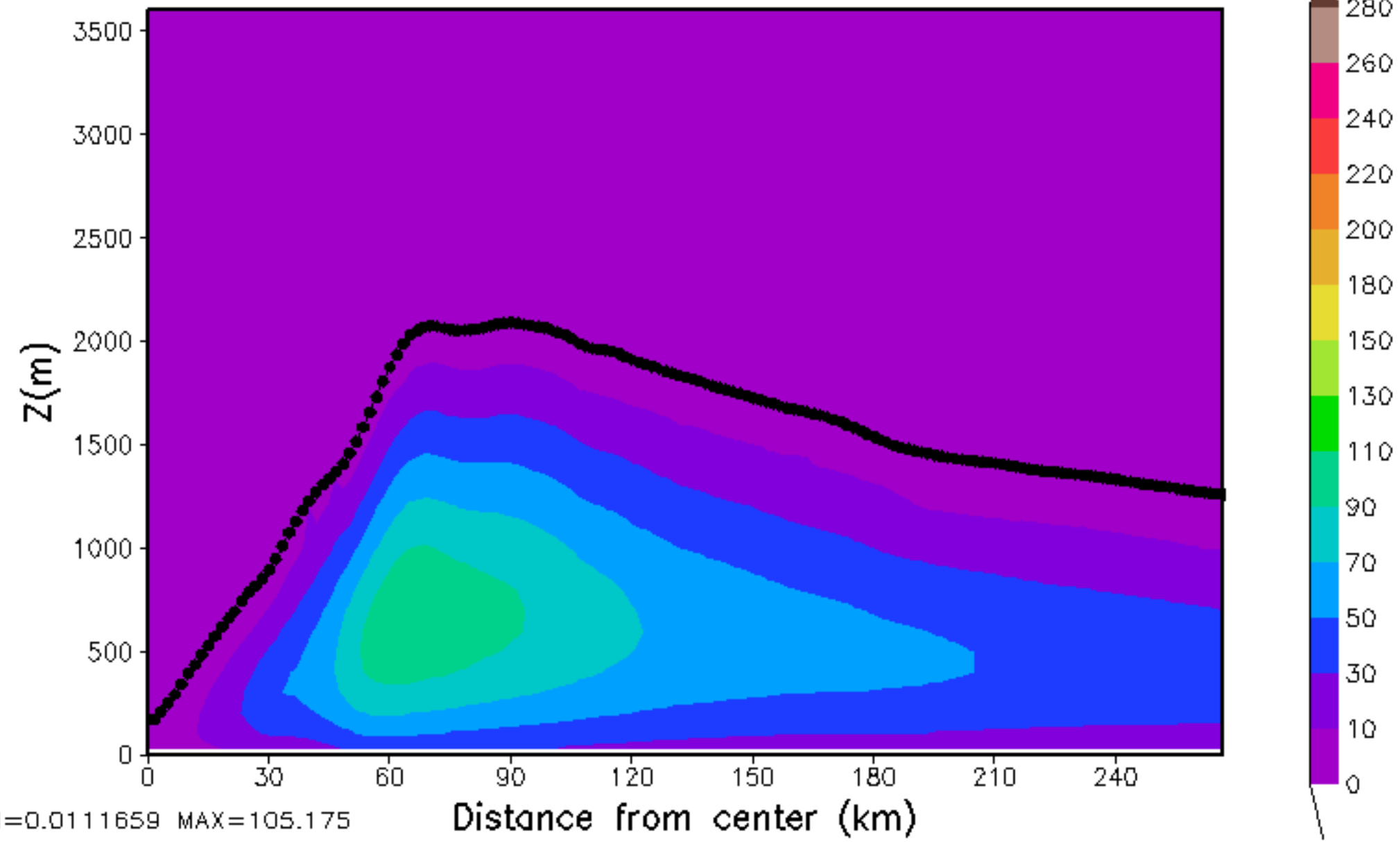
diffusion coefficient $Kh(m^2/s)$, HR201MM00



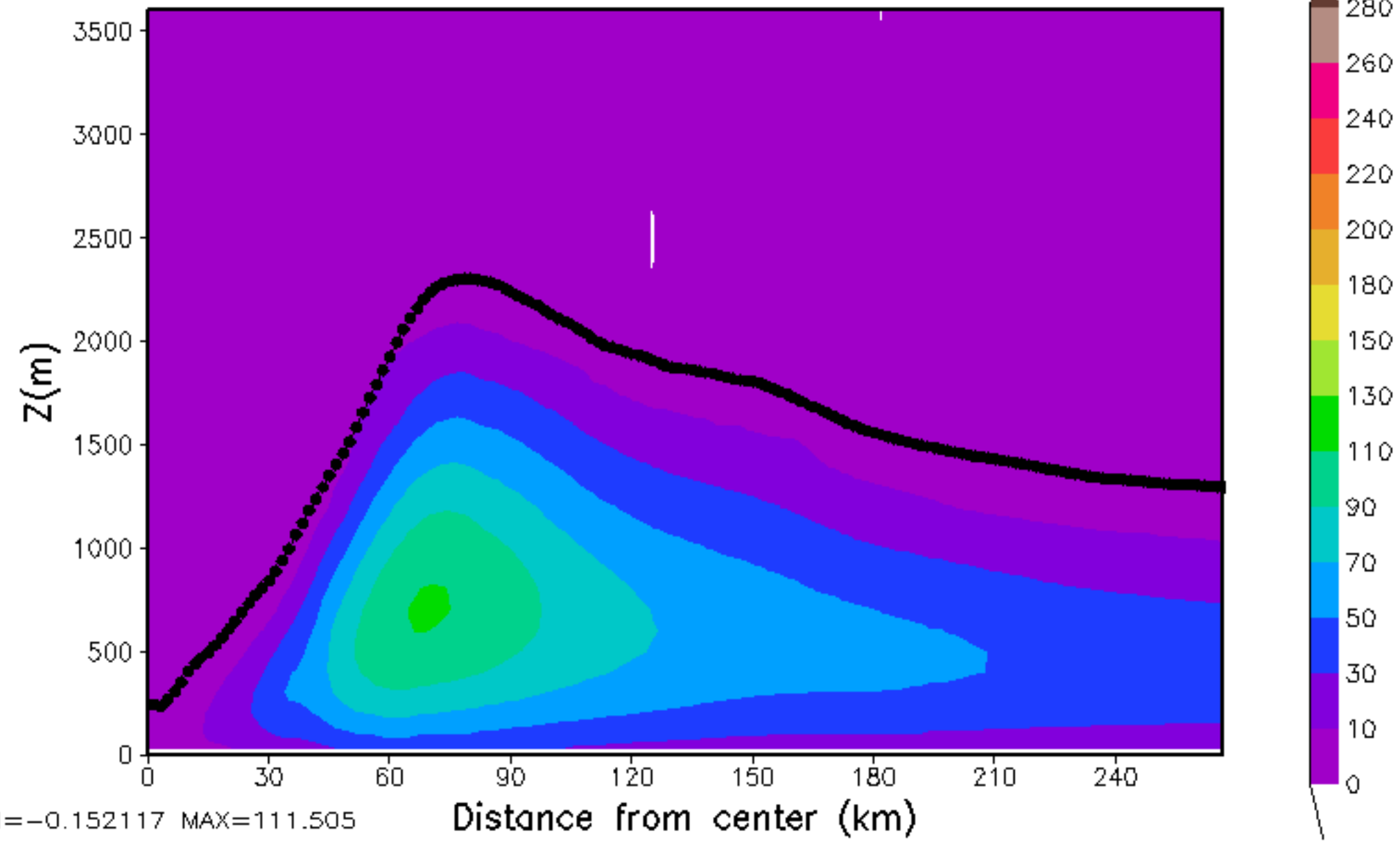
diffusion coefficient $K_h(m^2/s)$, HR204MM00



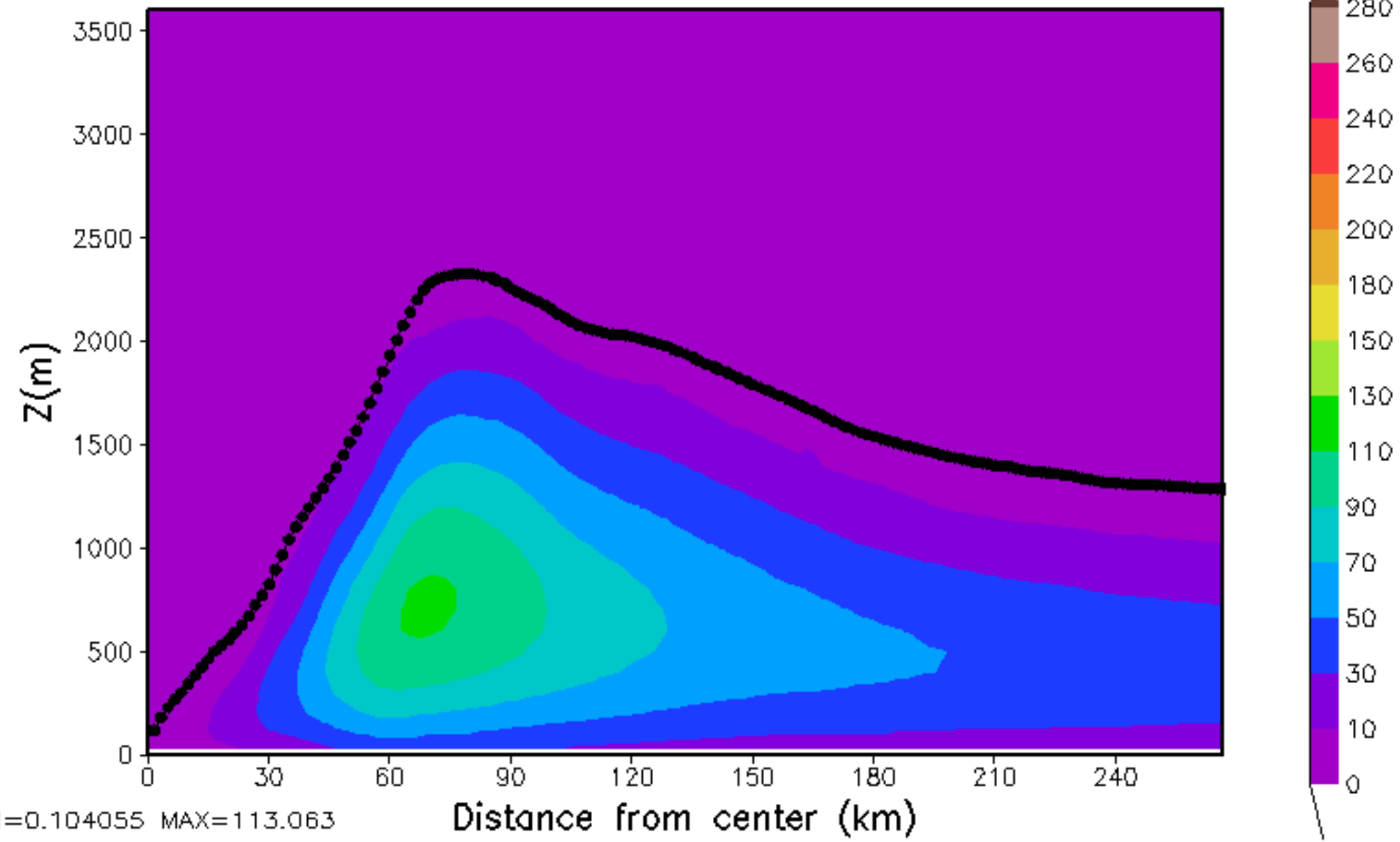
diffusion coefficient $K_h(m^2/s)$, HR207MM00



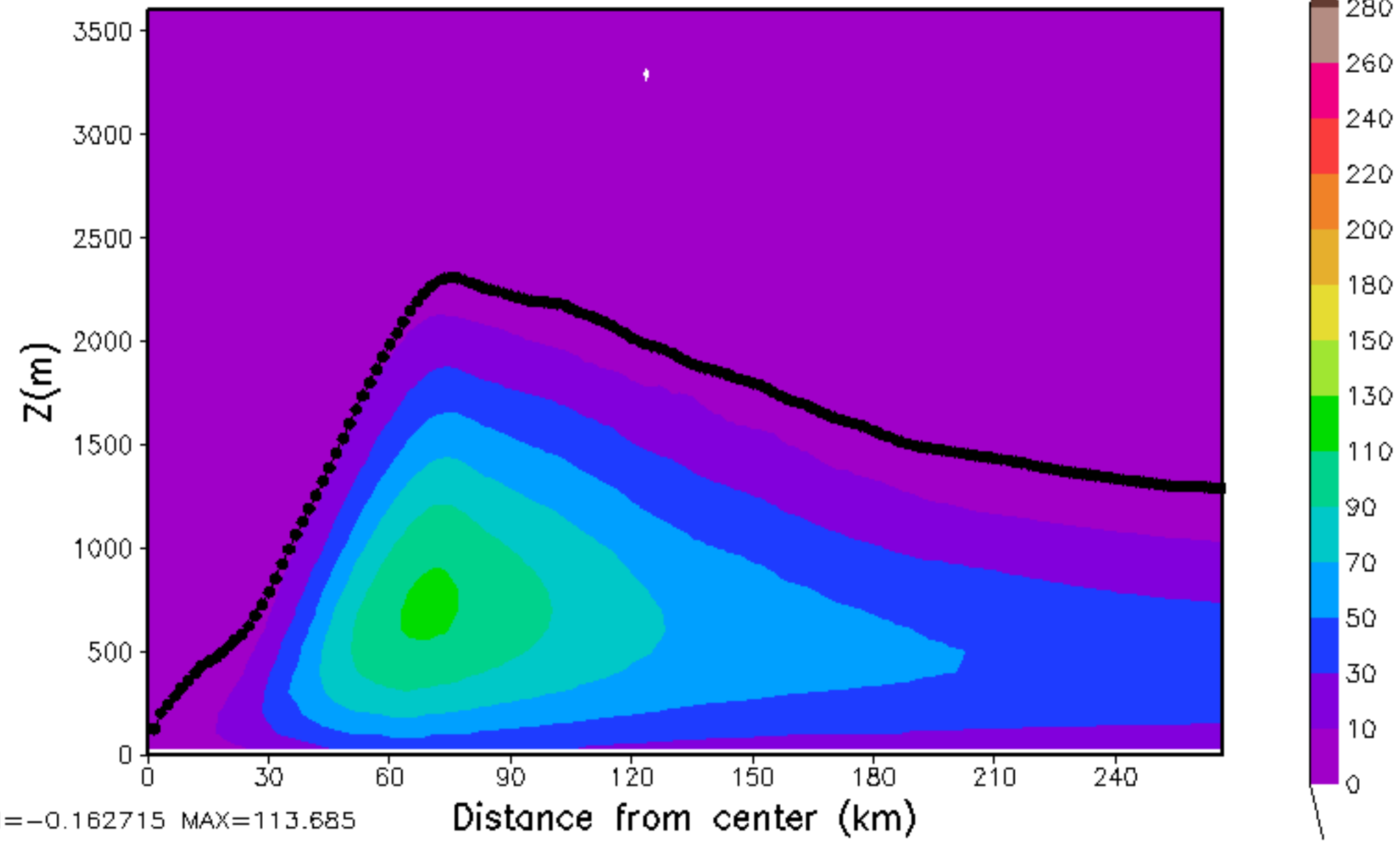
diffusion coefficient $K_h(m^2/s)$, HR210MM00



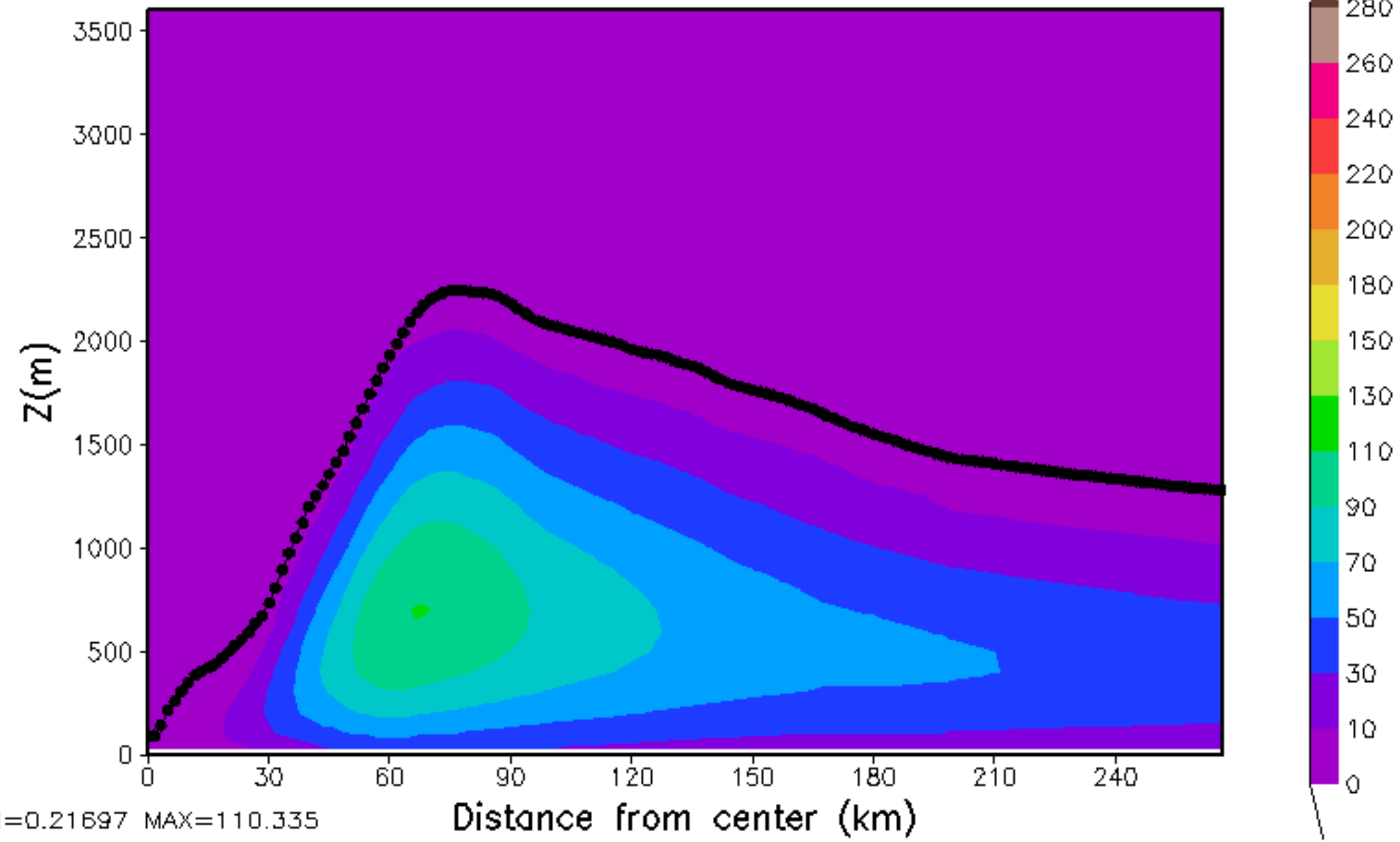
diffusion coefficient $K_h(m^2/s)$, HR213MM00



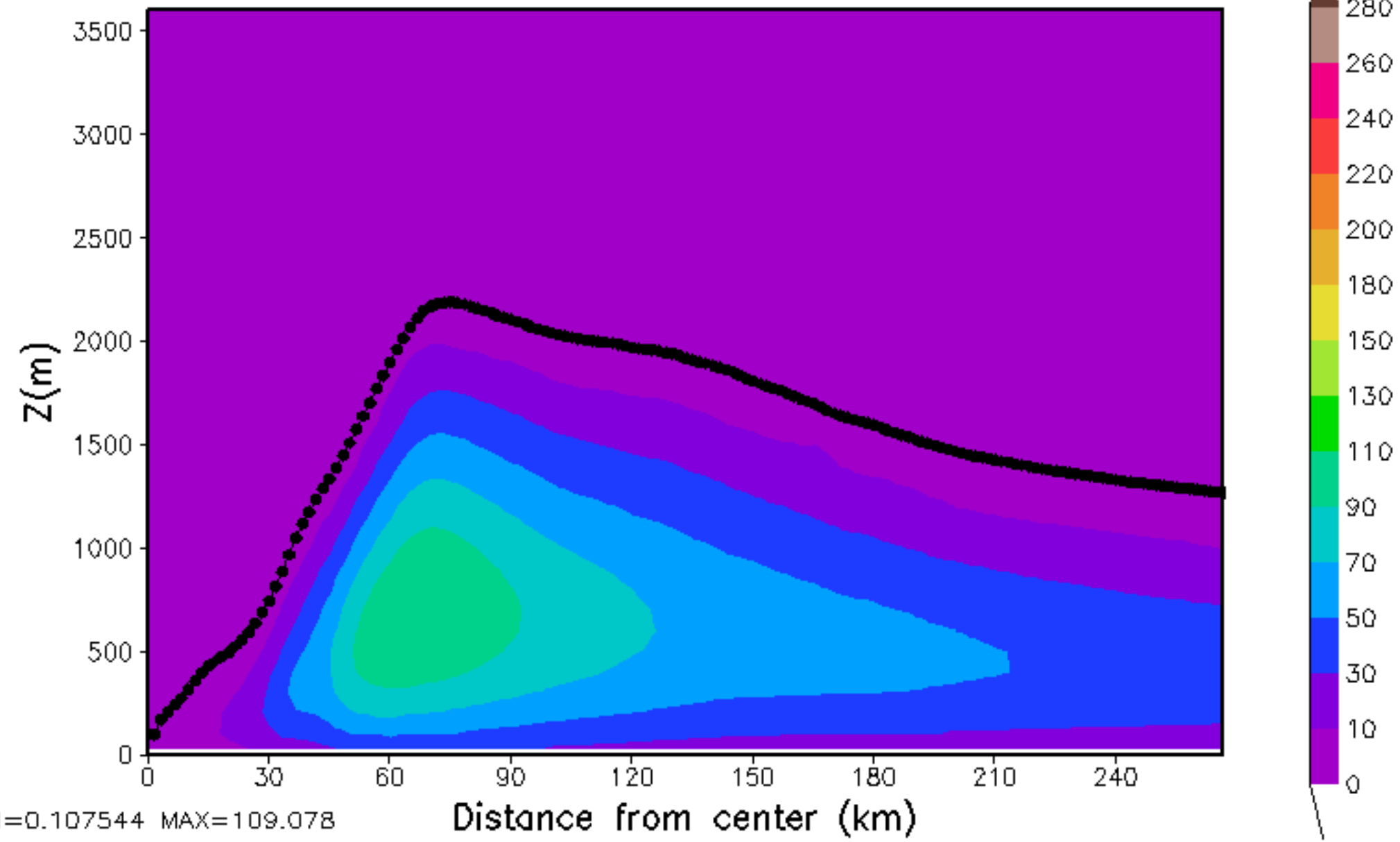
diffusion coefficient $K_h(m^2/s)$, HR216MM00



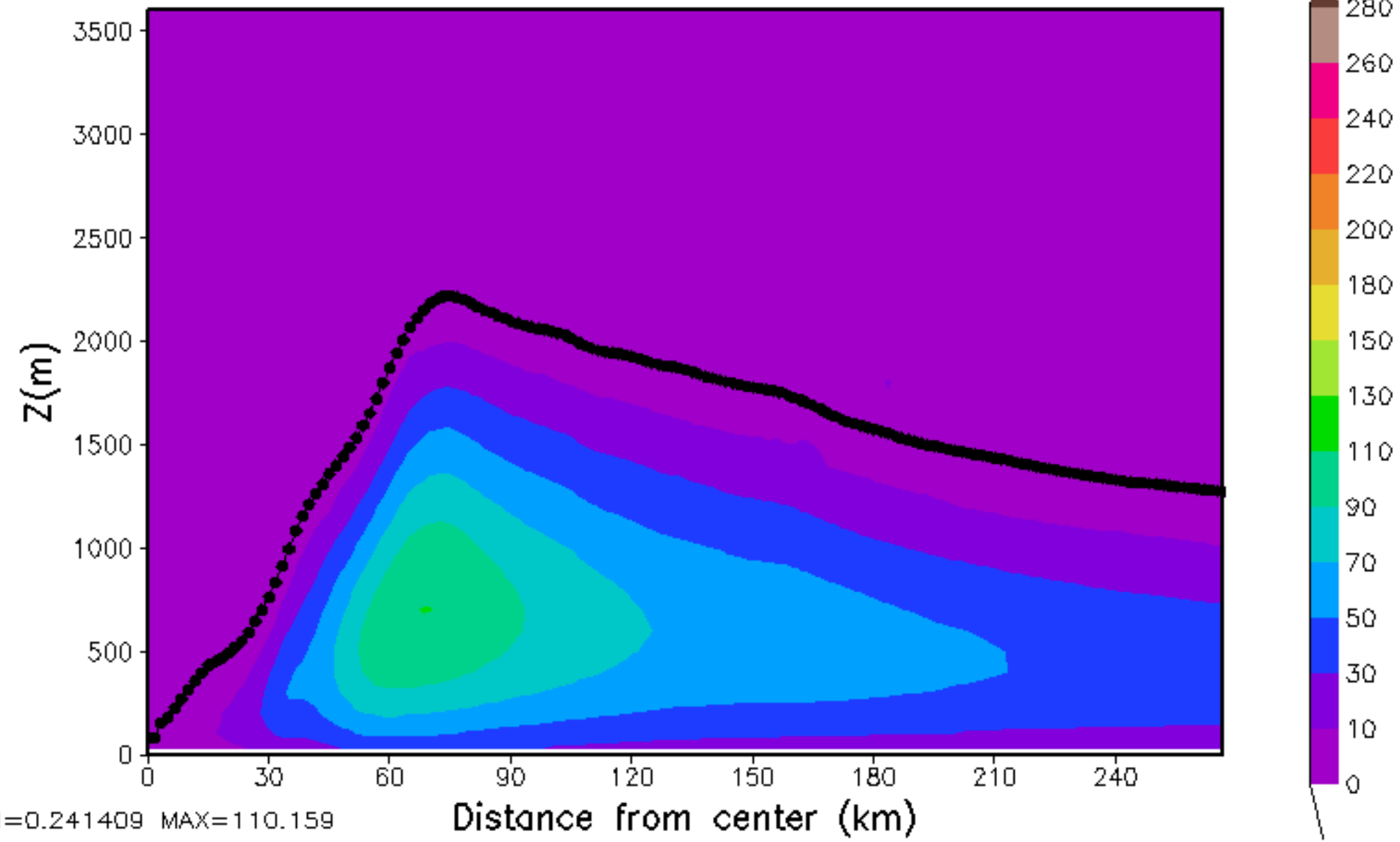
diffusion coefficient $K_h(m^2/s)$, HR219MM00



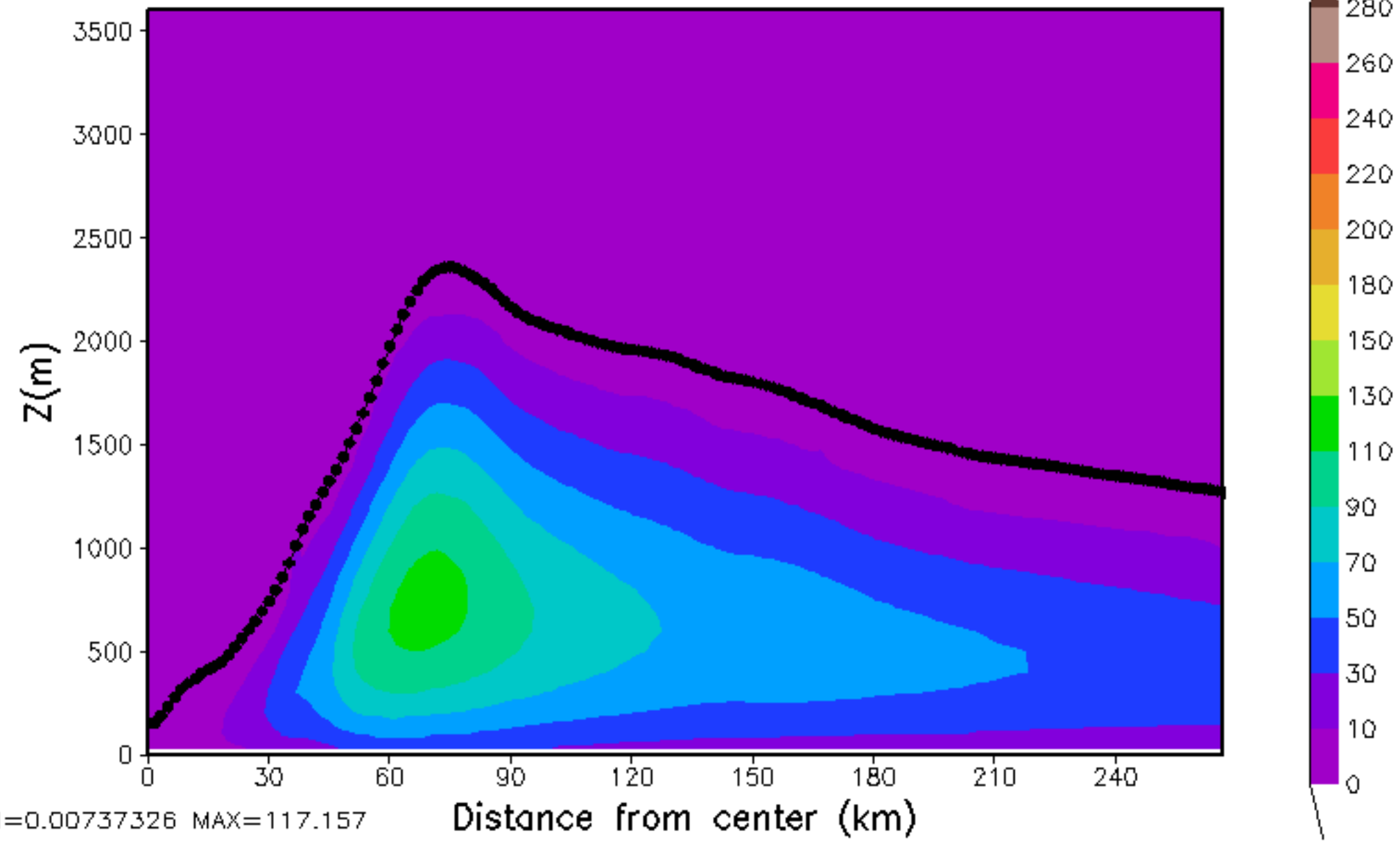
diffusion coefficient $K_h(m^2/s)$, HR222MM00



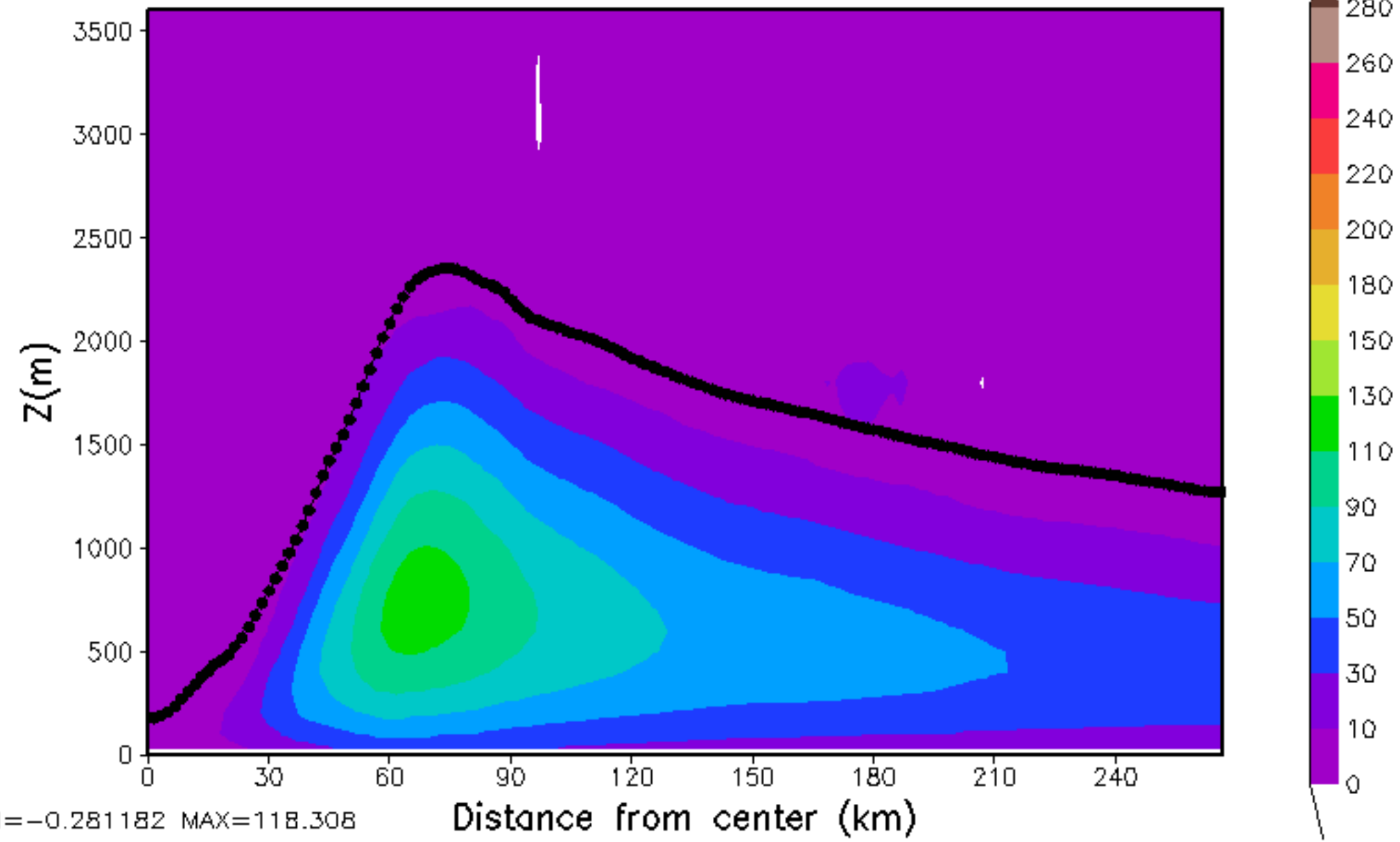
diffusion coefficient $K_h(m^2/s)$, HR225MM00



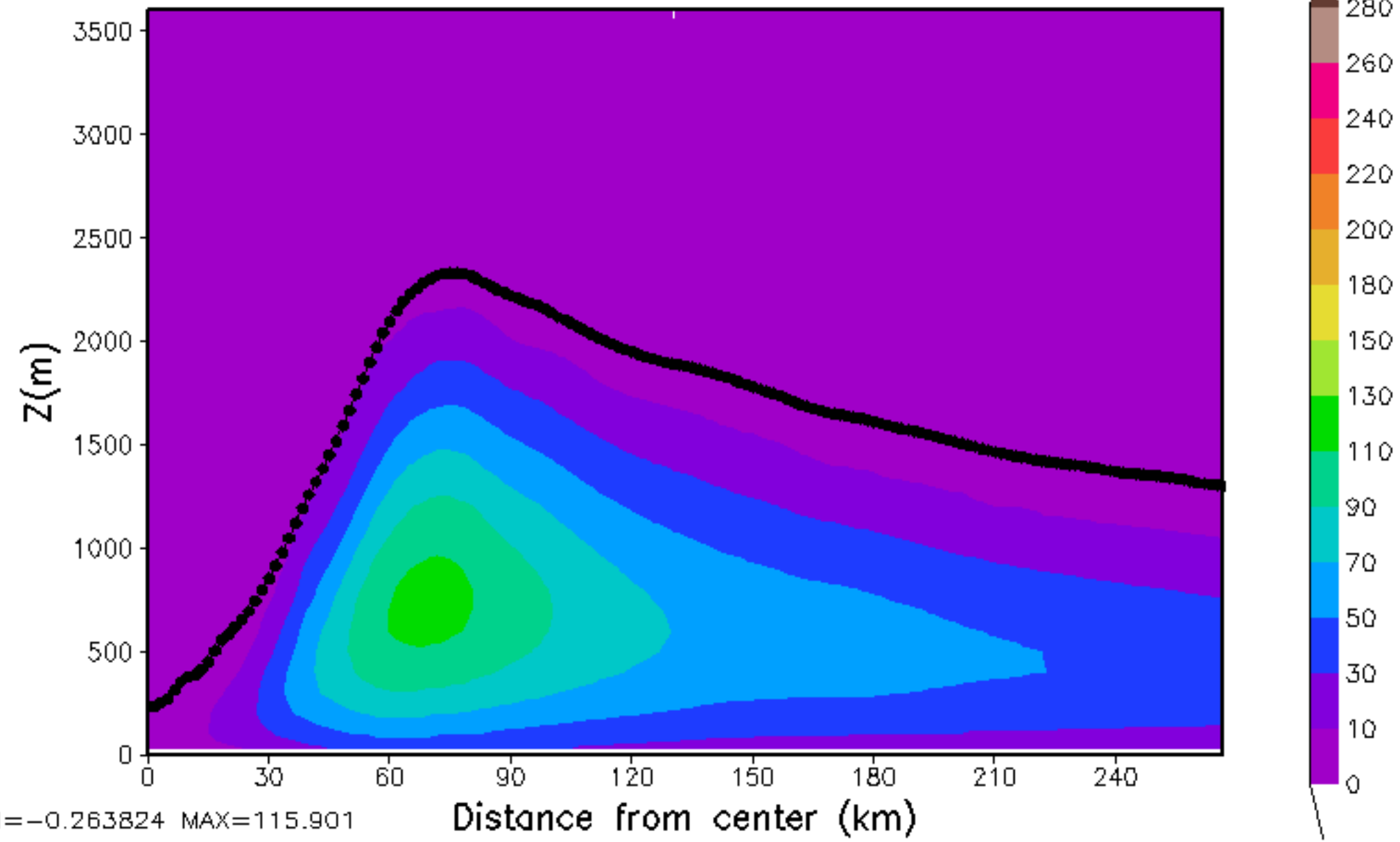
diffusion coefficient $K_h(m^2/s)$, HR228MM00



diffusion coefficient $K_h(m^2/s)$, HR231MM00



diffusion coefficient $K_h(m^2/s)$, HR234MM00



diffusion coefficient $Kh(m^2/s)$, HR237MM00

